



# 33. ULUSAL NÜKLEER TIP KONGRESİ SÖZEL SUNUMLAR

## [SA-001]

**Ga-68 DOTA-FAPİ-4 PET/BT'nin Tümör Görüntülemeye Katkısı; 20 Farklı Kanser Türünde İlk Sonuçlar**

Nurhan Ergül<sup>1</sup>, Burçak Yılmaz<sup>1</sup>, Güldem Olguner Mercanoğlu<sup>2</sup>, Tevfik Fikret Çermik<sup>1</sup>

<sup>1</sup>Sağlık Bilimleri Üniversitesi, İstanbul Eğitim ve Araştırma Hastanesi, Nükleer Tip Kliniği, İstanbul

<sup>2</sup>Sağlık Bilimleri Üniversitesi, Hamidiye Eczacılık Fakültesi, İstanbul

**Amaç:** Tümör dokusu içinde yoğun olarak bulunan kanserle ilişkili fibroblastlar yüksek düzeyde fibroblast aktivasyon proteini (FAP) ekspres ederler ve radyonüklidlerle işaretlenen FAP inhibitörlerinin (FAPİ) kanser tanı ve tedavisinde kullanılabilirliği düşünülmektedir. Bu çalışmada galyum (Ga)-68 FAPİ-4 pozitron emisyon tomografi/bilgisayarlı tomografinin (PET/BT) primer, metastatik ve rekürren kanserlerin görüntülenmesindeki rolü araştırılmıştır.

**Yöntem:** Çalışmaya 20 farklı türde malign hastalığa sahip toplam 37 hasta [12 kadın, 25 erkek, yaş ortalaması 58,5 (31-84)] dahil edildi. F-18 florodeoksiglikoz (FDG) PET/BT veya Ga-68 prostat spesifik membran antijeni (PSMA) PET/BT çekiminden 1-7 gün sonra hastalara Ga-68 DOTA-FAPİ-4 PET/BT görüntüleme yapıldı. Hastalara 7-10 mCi Ga-68 DOTA-FAPİ-4 intravenöz enjeksiyonundan yaklaşık 60 dk sonra tüm vücut görüntüleme yapıldı. Fizyolojik tutulum yerleri dışındaki alanlarda arka plan aktivitesinden daha yoğun tutulum görülen bölgeler patolojik kabul edildi. Bu bölgelerden semikantitatif tutulum değerleri ilgi alanları çizilerek hesaplandı. PET bulguları, histopatolojik, radyolojik ve klinik takip sonuçları ile karşılaştırılarak değerlendirildi.

**Bulgular:** Çalışma grubunda yer alan 37 hastanın 32'si tanı ve/veya evreleme, 5'i yeniden evreleme amacıyla başvurmuştur. Hastalar ait tanılar ve Ga-68 DOTA-FAPİ ile F-18 FDG PET/BT tutulmalarının karşılaştırımları Tablo 1'de verilmiştir. Saptanan 33 solid tümörün 22'sinde (%66,6) Ga-68 FAPİ PET/BT'de primer ve metastatik lezyonlarda yoğun radyofarmasötik tutulum izlendi. Hastaların 11'inde (%42,3) Ga-68 FAPİ PET/BT'de F-18 FDG PET/BT'ye oranla daha yoğun tutulum izlenirken 9 hastada (%34,6) her iki PET/BT'de benzer düzeyde tutulmalar izlendi. Multipl miyeloma tanılı 5 hastada F-18 FDG PET'de kemik iliği tutulumu izlenirken Ga-68 FAPİ tutulumu izlenmedi. Karaciğer metastazı olan 6/8 hastada (%75) ve kemik metastazı bulunan 6/9 hastada (%66,6) Ga-68 FAPİ tutulumu F-18 FDG tutulumundan fazlaydı. Düşük Ga-68 PSMA tutulumu izlenen 5 prostat adenokarsinomu olgularının tümünde mp manyetik rezonansta (MR) tanımlanan ve histopatolojik incelemede tümör saptanan bölgelerde Ga-68 FAPİ PET/BT'de artmış tutulum izlendi. Buna karşılık Ga-68 PSMA PET/BT'de yoğun tutulum görülen 2 hastada ise primer tümör ve metastazlarda çok düşük düzeyde Ga-68 FAPİ tutulumu izlendi.

**Sonuç:** Bu öncü çalışma bulguları solid tümörlerde Ga-68 FAPİ'nin diagnostik süreci katkı sağlayabileceğine yönelik ilk sonuçları bize sunmuştur. Özellikle F-18 FDG PET/BT'nin zayıf tutulum gösterdiği malignitelerde tanı, evreleme ve yeniden evrelemede önemi bulunmaktadır. Ayrıca F-18 FDG'nin yoğun fizyolojik tutulum alanları olan beyin, kalp gibi organlardaki malign lezyonları kolaylıkla gösterebilmektedir. Prostat kanserinde özellikle Ga-68 PSMA PET/BT'de zayıf tutulum saptanan olgularda tanı ve tedavi yönetiminde yararlı olabilir. Ga-68 FAPİ PET/BT'de yoğun tutulum saptanan ve diğer tedavilere yanıt alınamayan metastatik hastalıkta, radyonüklid tedavi amaçlı FAPİ moleküllerinin kullanımının mümkün olabileceği öngörülmektedir.

**Anahtar Kelimeler:** Kanserle ilişkili fibroblast, Ga-68 FAPİ PET/BT, F-18 FDG PET/BT

**Tablo 1. Tümöral lezyonlarda F-18 FDG/Ga-68 FAPİ tutulmalarının karşılaştırması**

F-18 FDG PET'de yoğun tutulum	FDG-FAPİ benzer yoğunlukta	Ga-68 FAPİ PET'de yoğun tutulum
Multipl miyeloma kemik iliği tutulumu (n=5)	Karsinoma eks-pleomorfik adenoma (n=1)	Nöroendokrin karsinoma (n=2)
Mantle hücreli lenfoma (n=1)	Böbrek hücreli tümör (n=3)	Pankreas adenokarsinomu (n=2)
Klasik tip Hodgkin lenfoma (n=1)	Timik karsinom (n=1)	Larenks adenoid kistik karsinom (n=1)
Rekürren malign melanoma (n=1)	Akciğer adenokarsinomu (n=3)	Hepatosellüler karsinoma (n=1)
Rektosigmoid adenokarsinom (n=1)	Mide adenokarsinomu (n=1)	Mide taşı yüzük hücreli karsinomu (n=2)
Mesane adenokarsinomu (n=2)		Over adenokarsinomu, peritonitis karsinomatoza (n=2)
Rekürren differansiyel tiroid karsinomu (n=1)		Enflamatuvvar meme karsinomu (n=1)
Gastrointestinal stromal tümör (n=1)		

FDG: Florodeoksiglikoz, PET: Pozitron emisyon tomografi, FAPİ: Fibroblast aktivasyon proteini inhibitörleri

## [SA-002]

**Tare Uygulanan Primer ve Metastatik Karaciğer Tümörlü Hastalarda F-18 Florotimidin (FLT) PET/BT'nin Prognostik Önemi**

Demet Nak<sup>1</sup>, Nuriye Özlem Küçük<sup>2</sup>, Emre Can Çelebioğlu<sup>2</sup>, Mehmet Sadık Bilgiç<sup>2</sup>, Serhat Hayme<sup>2</sup>, Metin Kemal Kir<sup>2</sup>

<sup>1</sup>Recep Tayyip Erdoğan Üniversitesi Eğitim ve Araştırma Hastanesi, Nükleer Tip Kliniği, Rize

<sup>2</sup>Ankara Üniversitesi Tıp Fakültesi, Nükleer Tıp Anabilim Dalı, Ankara

<sup>3</sup>Ankara Üniversitesi Tıp Fakültesi, Radyoloji Anabilim Dalı, Ankara

<sup>4</sup>Ankara Üniversitesi Tıp Fakültesi, Biyoistatistik Anabilim Dalı, Ankara

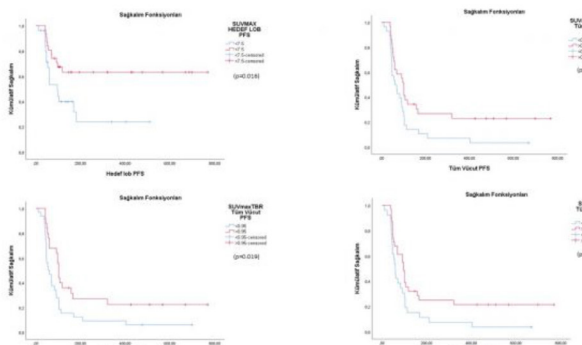
**Amaç:** Bu çalışmada, transarteriyel radyoembolizasyon (TARE) tedavisi uygulanan unresektable primer ve metastatik karaciğer tümörü olan hastalarda tedavi yanıtı ve sağlamıştı öngörmeye F-18 florotimidin (FLT) pozitron emisyon tomografi/bilgisayarlı tomografinin (PET/BT) yerinin araştırılması amaçlanmıştır.

**Yöntem:** Tek merkezli ve prospектив olan bu çalışma için etik kurul onayı alınmıştır. Çalışmaya Aralık 2018-Aralık 2019 tarihleri arasında TARE uygulanmış, tedavi öncesi flor (F)-18 FLT PET/BT'si çekilmiş 63 hasta dahil edilmiştir. Tedavi uygulanan lobda mevcut tek veya en geniş çaplı tümör olarak belirlenen hedef lezyonların F-18 FLT PET/BT'de tutulum paterni ve elde edilen semi kuantitatif değerler ile yaş, cinsiyet, parankimal karaciğer hastalığı, tedavi öyküsü, tedavi sonrası takipte solid tümörlerde PET Cevap Kriterleri'ne (PERCIST) göre metabolik yanıt, solid tümörlerde Yanıt Değerlendirme Kriterleri (RECIST) 1.1 kriterlerine göre morfolojik yanıt ve sağlamış arasındaki ilişki araştırılmıştır.

**Bulgular:** Dahil edilen 63 hastanın, TARE tedavisi uygulanan ve/veya verileri eksik olan 6'sı dışlanarak 57'si istatistiksel analize dahil edilmiştir. 25,3 aylık takipte 45/57 (%79) hasta eks olmuştu. Yaş ve hedef lezon SUV<sub>maks</sub>'si ( $p=0,008$ ) ile SUV<sub>maks</sub>'nin hedef tümör/karaciğer oranı (TLR) arasında anlamlı ilişki saptanmıştır ( $p=0,001$ ). Hepatoselüler kanseri (HSK) ve kolorektal kanserli hastaların hedef lezyonlarının F-18 FLT tutulum paterni, SUV<sub>maks</sub>, SUV<sub>mean</sub>, SUV<sub>peak</sub>, SUV<sub>maks</sub> TLR, SUV<sub>mean</sub> TLR ve SUV<sub>peak</sub> TLR değerleri arasında anlamlı fark izlenmiştir (sırasıyla;  $p=0,006$ ;  $p=0,001$ ,  $p=0,001$ ,  $p=0,000$ ,  $p=0,007$ ,  $p=0,043$  ve  $p=0,000$ ). Kolanjiyosellüler kanser ve HSK'lı hastaların SUV<sub>peak</sub> TLR değerleri arasında anlamlı fark saptanmıştır ( $p=0,029$ ). Daha önce herhangi bir sistemiye tedavi almış olan hastaların hedef lezon SUV<sub>peak</sub> değerleri, almamış olanlardan anlamlı olarak düşük saptanmıştır ( $p=0,032$ ). Parankimal karaciğer hastalığı olan ve olmayan hastaların SUV<sub>peak</sub> değerleri arasında anlamlı fark gözlendiği ( $p=0,047$ ). Tüm vücut için metabolik yanıt değerlendirmede progresif hastalık (PH) ve kısmi yanıt (KY) alınan hastaların hedef lezon SUV<sub>maks</sub> değerleri arasında anlamlı fark gözlenmiştir ( $p=0,047$ ). Tedavi sonrası hedef lob için progresyonzsız sağkalım (PFS) ile hedef kitle SUV<sub>maks</sub>'si arasında anlamlı ilişki izlenmiştir ( $p=0,016$ ). Tüm vücut için PFS ile SUV<sub>peak</sub>, SUV<sub>maks</sub> TLR ve SUV<sub>mean</sub> TLR değerleri arasında anlamlı ilişki saptanmıştır (sırasıyla;  $p=0,06$ ,  $p=0,019$  ve  $p=0,025$ ).

**Sonuç:** Unrezektable primer ve metastatik karaciğer tümörü nedeniyle TARE uygulanan, PH ve KY izlenen hastaların F-18 FLT SUV<sub>maks</sub> değerleri arasında anlamlı fark gözlenmiştir. Hedef lezon SUV<sub>maks</sub> ile hedef lob PFS; SUV<sub>peak</sub>, SUV<sub>maks</sub> TLR ve SUV<sub>mean</sub> TLR değerleri ile tüm vücut için PFS değerleri arasında anlamlı ilişki bulunmuştur. F-18 FLT PET/BT'nin TARE sonrası tedavi yanımı ve прогнозu öngörmeye yardımcı olabileceğinin düşünülmüştür.

**Anahtar Kelimeler:** TARE, karaciğer tümörü, prognostik, F-18 FLT PET/BT



Resim 1. Kaplan-Meier sağkalım eğrileri

### [SA-003]

#### İnterim Kemoterapi Yanıtını Değerlendirmede Ga-68 FAPI-46 PET/BT ve F-18 FDG PET/BT'nin Diagnostik Başarısı: Ön Sonuçlar

Burçak Yılmaz<sup>1</sup>, Güldem Olguner Mercanoğlu<sup>2</sup>, Nilüfer Bulut<sup>3</sup>, Özge Vural Topuz<sup>1</sup>, Sefa Bayram<sup>1</sup>, Kurtuluş Eryılmaz<sup>4</sup>, Davut Çakıcı<sup>4</sup>, Benan Kilbaş<sup>4</sup>

<sup>1</sup>Başakşehir Çam ve Sakura Şehir Hastanesi, Nükleer Tip Kliniği, İstanbul

<sup>2</sup>Sağlık Bilimleri Üniversitesi Eczacılık Fakültesi, Farmakoloji Anabilim Dalı, İstanbul

<sup>3</sup>Başakşehir Çam ve Sakura Şehir Hastanesi, Medikal Onkoloji Kliniği, İstanbul

<sup>4</sup>Moltek Moleküler Teknoloji Araştırma A.Ş., Kocaeli

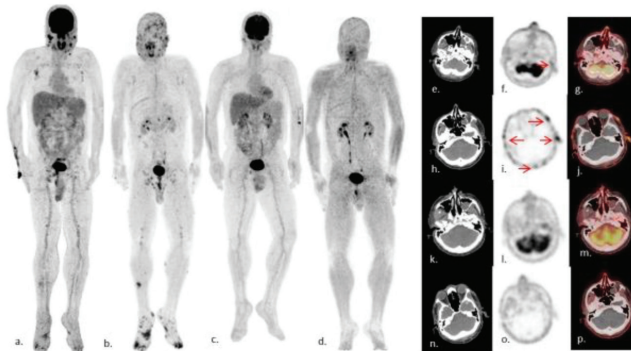
**Amaç:** Pozitron emisyon tomografi/bilgisayarlı tomografi (PET/BT) ile onkolojik görüntülemede yakın zamanda kanser ilişkili fibroblastları hedef alan kinolin bazlı ligandlar ile umut veren sonuçlar elde edildi. Bu çalışmada, kemoterapi uygulanan hastalarda, galyum (Ga)-68 bağlı fibroblast aktive edici protein inhibitörü (FAPI)-46 ile flor (F)-18 bağlı florodeoksiglikoz (FDG) PET/BT görüntüleme sonuçlarının metabolik parametreler eşliğinde diagnostik başarısının karşılaştırılması amaçlandı.

**Yöntem:** Ağustos 2020 - Şubat 2021 tarihleri arasında histopatolojik olarak kanser tanısı almış ve klinikümüzde kemoterapi planlaması öncesinde F-18 FDG PET/BT çekimi (Philips Ingenuity TF) yapılmış 5 hasta prospektif olarak çalışmamıza dahil edildi. Hastalara tedavi öncesinde ayrıca Ga-68 FAPI-46 ile PET/BT görüntüleme yapıldı. Ga-68 FAPI-46 üreticisi (SOFIE ITheranostics Inc. ABD) talimatlarına göre hazırlandı. Üç kür kemoterapi uygulamasından iki hafta sonra röntgen yanıt değerlendirmek üzere hastalara F-18 FDG ve Ga-68 FAPI-46 ile iki ayrı PET/BT görüntüleme yapıldı. Tedavi yanımı değerlendirmede her iki görüntüleme yönteminde hedef lezon ve varsa en belirgin metastatik lezyondaki maksimum, ortalama ve pik standart tutulum değerleri (SUD<sub>maks</sub>, SUD<sub>ort</sub>, SUD<sub>pik</sub>), metabolik tümör volümü, tümör çapı, mevcut lezon sayısı, karaciğer, dalak ve kemik iliği SUD<sub>maks</sub> değerleri hesaplandı ve aralarındaki fark istatistiksel olarak analiz edildi. Tedavi yanımı değerlendirmede Avrupa Kanser Tedavi ve Organizasyon Komitesi kriterleri kullanıldı.

**Bulgular:** Yaş ortalaması  $59,4 \pm 4,3$  yıl (3 E, 2 K) olan hastalara F-18 FDG PET/BT çekimi için 6 saat açık sonrası kan şekeri  $<180$  mg/dL saptanması üzerine 5-6 MBq/kg F-18 FDG IV olarak enjekte edilip ortalama 60 dk. sonra PET/BT çekimi yapıldı. Başka bir gün ortalama  $163,91 \pm 42,92$  MBq Ga-68 FAPI-46 IV yol ile enjekte edilip yaklaşık 20 dakika sonra PET/BT çekimi yapıldı (Resim 1). Ga-68 FAPI-46 bağlanması verimi radyo TLC ile  $>98\%$  idi. Hastaların histopatolojik tanısı, uygulanan kemoterapi protokollerleri ve tedavi yanıtları Tablo 1'de verildi. Tedavi öncesi ve sonrası tüm metabolik PET parametrelerinde görüntüleme modalitelerinde kendi içlerinde istatistiksel olarak anlamlı değişiklik saptanmadı ( $p>0,05$ ). Lezon bazlı analizde Ga-68 FAPI-46 ile belirgin daha yüksek sayıda lezon tespit edildi.

**Sonuç:** Ga-68 FAPI-46, lezon bazlı analizde F-18 FDG'den belirgin daha üstün diagnostik başarı göstermiştir. Ayrıca zemin aktivitenin düşük olması, fizyolojik tutulumların daha az olması sebebi ile hekimlere raporlama sırasında belirgin kolaylık sağlamaktadır. Klinik içi üretimin olması, hastalar için ön hazırlık gerektirmemesi büyük avantajlardır. Tedavi yanımı değerlendirmede başarıları ise sağkalım analizleri ile takip sürecinde netlik kazanacaktır. Çalışma materyali FAPI-46 SOFIE ITheranostic Inc. ve Ga-68 Cl<sub>3</sub> çözeltisi Moltek Sağlık Hizmetleri Üretim ve Pazarlama AŞ'den temin edilmiştir.

**Anahtar Kelimeler:** FAPI-46, FDG, fibroblast, kemoterapi, PET/BT



**Resim 1.** Kaposi sarkom tanılı 56 yaşında erkek hasta. Tedavi öncesi ve tedavi sonrası F-18 FDG PET/BT görüntüleme (a., c., e., f., g., k., l., m.) ile tedavi öncesi ve sonrası Ga-68 FAPi-46 PET/BT görüntüleme (b., d., h., i., j., n., o., p.) bulguları

PET: Pozitron emisyon tomografi, BT: Bilgisayarlı tomografi, FDG: Florodeoksiglikoz, Ga: Galyum, FAPi: Fibroblast aktivasyon proteini inhibitörleri

**Tablo 1. Hasta tanı ve tedavi bilgileri ile tedavi yanıtları**

Hasta no.	Tanı	Kemoterapi protokolü	Ga-68 FAPi-46 tedavi yanıtı (EORTC kriterleri)	F-18 FDG tedavi yanıtı (EORTC kriterleri)
1.	Akciğer karsinomu (Adenokarsinom)	Pemetreksed + Karboplatin	SMY	SMY
2.	Peritoneal mezotelyoma (epiteloid tip)	Pemetreksed + Sisplatin	SMY	PMY
3.	İnvaziv meme karsinomu (duktal karsinom)	Pertuzumab + Trastuzumab + Taxotere + Denosumab	PMY	PMY
4.	Kaposi sarkomu	Lipozomal Dokсорубisin	PMY	PMY
5.	Over karsinomu (düşük gradeli seröz tip)	Gemsitabin + Karboplatin + Bevasizumab	SMY	SMY

Ga: Galyum, FAPi: Fibroblast aktivasyon proteini inhibitörleri, FDG: Florodeoksiglikoz, EORTC: Avrupa Kanser Tedavi ve Organizasyon Komitesi, SMY: Stabil metabolik yanıt, PMY: Parsiyel metabolik yanıt

## [SA-004]

### Serebral ve Serebellar Metastazlı Olgularda Ga-68 PSMA PET/BT Görüntülemenin Yeri ve Önemi

Esra Arslan<sup>1</sup>, Nurhan Ergül<sup>1</sup>, Rahime Şahin<sup>1</sup>, Yeşim Karagöz<sup>2</sup>, Yakup Bozkaya<sup>3</sup>, Tevfik Fikret Çermik<sup>1</sup>

<sup>1</sup>Sağlık Bilimleri Üniversitesi, İstanbul Eğitim ve Araştırma Hastanesi, Nükleer Tıp Kliniği, İstanbul

<sup>2</sup>Sağlık Bilimleri Üniversitesi, İstanbul Eğitim ve Araştırma Hastanesi, Radyoloji Kliniği, İstanbul

<sup>3</sup>Sağlık Bilimleri Üniversitesi, İstanbul Eğitim ve Araştırma Hastanesi, Tıbbi Onkoloji Kliniği, İstanbul

**Amaç:** Bu çalışmada evreleme amacıyla veya lokal beyin metastazı nüks tespitini amacıyla flor (F)-18 florodeoksiglikoz (FDG) pozitron emisyon tomografi/bilgisayarlı tomografi (PET/BT) görüntülemesi için kliniğimize yönlendirilmiş, PET/BT öncesinde veya sonrasında beyin parankiminde metastaz şüphesi/tanısı olan olgularda, metastazın varlığı yanında yaygınlığın galyum (Ga)-68 prostat spesifik membran antijeni (PSMA) PET/BT ile tespit ve değerlendirilmesi amaçlanmıştır.

**Yöntem:** Bu çalışmaya Mart 2020 - Şubat 2021 tarihleri arasında F-18 FDG PET/BT sonrası FDG tutulum düzeyinden bağımsız olarak beyin metastazı tanısı bulunan toplam 17 hasta prospektif olarak dahil edildi. F-18 FDG PET/BT sonrası beyin metastazı tespit edilen olgularda, Ga-68 PSMA PET/BT görüntüleme ile eş zamanlı kontrastlı kraniyal manyetik rezonans görüntüleme (MRG) ile değerlendirilme yapıldı.

**Bulgular:** On yedi (7 K, 10 E, ortalama yaşı: 58,1, yaş aralığı: 24-82) olgunun 6'sı meme Ca, 3'ü akciğer Ca, 3'ü kolon Ca, 1'i pankreas NET, 1'i taşı yüzük hücreli mide Ca, 1'i tiroid Ca, 1'i larenks Ca tanılı iken 1 olgu ise diffüz büyük B hücreli lenfoma tanısına sahipti. 16/17 (%94) olguda bir veya daha fazla metastatik lezyonda Ga-68-PSMA ekspresyonu tespit edildi. Bu 17 olgudan 7'sinde (%41) F-18 FDG PET/BT'de metastatik lezyonlarda uptake izlenmemiştir. Ga-68 PSMA PET/BT öncesinde metazazektoni öyküsü bulunan 3 olguda operasyon lojunda lokal nüks tespiti edilmiştir. Ga-68 PSMA PET/BT görüntülemede tespit edilen metastatik lezyonların çapları ortalama  $\pm$  standart sapma: 1,87 cm  $\pm$ 0,99, aralık: 0,35 cm-4,34 cm ölçülmüştür. PSMA ekspresyonu gösterilen tüm metastatik lezyonlar MR görüntüleme ile doğrulanmıştır.

**Sonuç:** Ga-68 PSMA'nın beyin parankiminde fizyolojik tutulumu bulunmamaktadır. Buna karşılık metastatik odaklarda neovaskülarizasyonu göstermesi nedeniyle, PET/BT'de beyin metastazları yüksek duyarlılıkla tespit edilmiştir ve yapılan kontrastlı kraniyal MRG ile Ga-68-PSMA PET/BT sonuçları arasında tam bir korelasyon gösterilmiştir. Bu çalışma ile gerek yeniden evrelemede gerekse nüks hastalıkta F-18 FDG'nin aksine Ga-68-PSMA PET/BT'nin beyin metastazlarını tespithe kraniyal MRG'ye ek katkılara sağlama potansiyeline sahip olduğu gösterilmiştir. Ayrıca beyin metastazlarının tedavisinde PSMA bağlı radyonüklidler ile radyonüklid tedavi potansiyeli bulunabilecegi düşünülmüştür.

**Anahtar Kelimeler:** Ga-68-PSMA PET/BT, serebral, serebellar, metastaz

## [SA-005]

**Çok Düşük Frekanslı Manyetik Alanların Nazal Mukosilier Klirens Etkisinin Rinosintigrafik Değerlendirilmesi**

Nur Dizdar<sup>1</sup>, Aylin Akbulut<sup>2</sup>, Gökhan Koca<sup>2</sup>, Ayşe Gülnihal Canseven Kurşun<sup>3</sup>, Nihat Yumuşak<sup>4</sup>, Meliha Korkmaz<sup>2</sup>

<sup>1</sup>Sağlık Bilimleri Üniversitesi, GÜlhane Eğitim ve Araştırma Hastanesi, Nükleer Tip Kliniği, Ankara

<sup>2</sup>Sağlık Bilimleri Üniversitesi, Ankara Eğitim ve Araştırma Hastanesi, Nükleer Tip Kliniği, Ankara

<sup>3</sup>Gazi Üniversitesi Tıp Fakültesi, Biyofizik Anabilim Dalı, Ankara

<sup>4</sup>Harran Üniversitesi Veteriner Fakültesi, Veterinerlik Patolojisi Anabilim Dalı, Şanlıurfa

**Amaç:** Nazal mukosilier klirens, solunum sisteminin solunan yabancı maddelere karşı ana savunma mekanizmalarından biridir. Bu mekanizma, günlük yaşamda elektromanyetik kırılığında maruz kalma benzeren Helmholtz bobin kullanarak yaratılan çok düşük frekanslı manyetik alanlardan (ELF B) zarar görebilir. Bu çalışmanın amacı, ELF B'lere maruziyetin nazal mukosilier klirens etkisini rinosintigrafi ile değerlendirmek ve nazal mukoza histopatolojisi üzerine etkilerini araştırmaktır.

**Yöntem:** Otuz beş adet Wistar-Albino türü ratlar manyetik alan şiddetine göre 3 gruba (n=9) ve kontrol grubuna (n=8) ayrıldı. Maruziyet grubundaki ratlar 30 gün boyunca günde 4 saat, haftada birbirini takip eden 5 gün boyunca ve her gün aynı saatte 3 ayrı Helmholtz bobin içerisindeki plastik kafesler 10 G, 15 G ve 20 G şiddetine ELF B'lere maruz bırakıldı. Sonrasında, Tc-99m makroagregatlar ile yapılan rinosintigrafi görüntüleri elde edildi ve burun bölgelerine ilgi alanları çizilerek değerlendirildi (Şekil 1). Radyoaktivitenin wash-out oranları ve nazal mukosilier transport hızı (NMTH) hesaplandı. Histopatolojik olarak burun kıkırdak ve mukoza dokuları ödem, enflamasyon, hiperemi, nekroz, silier kayıp, goblet hücre yoğunluğu ve fibroblast proliferasyonu açısından incelendi. Veriler istatistiksel olarak değerlendirildi.

**Bulgular:** NMTH değerleri kontrol grubunda  $2,17 \pm 0,33$  mm/dk, 10 G grubunda  $1,82 \pm 0,32$  mm/dk, 15 G grubunda  $1,46 \pm 0,34$  mm/dk ve 20 G grubunda  $1,24 \pm 0,29$  mm/dk olarak hesaplandı. 15 G ve 20 G şiddetlerine maruz kalan gruplar kontrol grubuna kıyasla ELF B şiddeti arttıkça NMTH'nin azaldığı gözlandı ( $p < 0,05$ ) (Tablo 1). Ödem, hiperemi, enfiamasyon, silier kayıp ve goblet hücre yoğunluğu açısından kontrol grubu ile 15 G'ye ve 20 G'ye maruz kalan gruplar arasında istatistiksel olarak anlamlı fark tespit edildi ( $p < 0,05$ ) (Tablo 2).

**Sonuç:** Çalışmamızda ELF B'lerin şiddeti arttıkça nazal mukoza hasarının arttığı ve rinosintigrafi ile nazal mukosilier klirensin azlığı gösterilmiştir. Bulgular maruz kalan frekans aralığına ve uygulama süresine bağlı olarak mukosilier fonksiyon üzerine zararlı olabileceğini düşündürmektedir.

**Anahtar Kelimeler:** ELF B, mukosilier klirens, rinosintigrafi, Tc-99m MAA, nazal mukoza



**Şekil 1.** Nazal boşluğa damlatılan Tc-99m MAA mukosilier klirens oranını değerlendirmek için kontrol grubu rat burun bölgesine çizilen ilgi alanı (ROI)

MAA: Makroagregatlar

**Tablo 1. Grupların NMTH değerleri ve analizi**

NMTH (mm/dk)	Kontrol	10 G	15 G	20 G
Ortalama $\pm$ SS	$2,17 \pm 0,33$	$1,82 \pm 0,32^{\ddagger}$	$1,46 \pm 0,34^*$	$1,24 \pm 0,29^{*\ddagger}$
Medyan (%25-75)	2,29 (1,87-2,45)	1,92 (1,56-2,10)	1,39 (1,16-1,77)	1,18 (1,01-1,46)

NMTH: Nazal mukosilier transport hızı, SS: Standart sapma

**Tablo 2. Grupların nazal mukoza'daki histopatolojik parametrelerinin istatistiksel analizi**

	Kontrol	10 G	15 G	20 G
Ödem	0 [0-0]	1 [1-1] <sup>†</sup>	1 [1-2] <sup>*</sup>	2 [2-3] <sup>*†</sup>
Hiperemi	0 [0-0]	1 [0-1] <sup>†</sup>	1 [1-2] <sup>*</sup>	3 [2-3] <sup>*†</sup>
Enflamasyon	0 [0-0]	0 [0-0] <sup>†</sup>	1 [1-1] <sup>*</sup>	2 [2-2] <sup>*†</sup>
Nekroz	0 [0-0]	0 [0-1] <sup>†</sup>	1 [0-1] <sup>§</sup>	2 [2-2] <sup>*†§</sup>
Siliar kayıp	0 [0-0]	0 [0-1] <sup>†</sup>	1 [1-1] <sup>*</sup>	2 [2-2] <sup>*†</sup>
Goblet hücre yoğunluğu	3 [3-3]	3 [2-3] <sup>†</sup>	1 [0-2] <sup>*†</sup>	1 [1-1] <sup>*†</sup>
Fibroblast proliferasyonu	0 [0-0]	0 [0-0] <sup>†</sup>	1 [0-1] <sup>§</sup>	2 [2-2] <sup>*†§</sup>

**[GA-006]****Post-COVID Pulmoner Emboli Riskinin Akciğer Perfüzyon Sintigrafisi ve SPECT/BT ile Değerlendirilmesi**

Kübra Nur Toplutaş, Muhammet Sait Sağer, Azizullah Nazari, Sertaç Asa, Rabia Lebriz Uslu Beşli, Haluk Burçak Sayman, Kerim Sönmezoglu

*İstanbul Üniversitesi-Cerrahpaşa, Cerrahpaşa Tip Fakültesi, Nükleer Tip Anabilim Dalı, İstanbul*

**Amaç:** Koronavirüs hastalığı-2019 (COVID-19) başta solunum sistemi olmak üzere birçok sistemi tutabilen ve trombotik komplikasyonlara sebep olabilecek multisistemik bir hastalıktır. Çalışmamızda COVID-19 hastalığı geçirmeye öyküsü bulunan ve nefes darlığı şikayeti ile tetkik edilen hastalarda, uzun dönemde pulmoner tromboembolizm (PE) olasılığını akciğer perfüzyon tek foton emisyon bilgisayarlı tomografi/bilgisayarlı tomografi (SPECT/BT) sintigrafisi ile değerlendirdik.

**Yöntem:** Kasım 2020 - Şubat 2021 tarihleri arasında, COVID-19 tedavisi tamamlanmış, hastalık sonrasında (10 gün-9 ay) yeni gelişen veya devam eden nefes darlığı şikayetiyle tarafımıza yönlendirilen ve akciğer perfüzyon SPECT/BT görüntülemeleri yapılan 131 hastayı değerlendirdik. Perfüzyon SPECT görüntüleri, BT görüntülerile karşılaştırılarak yorumlandı. Ventilasyon çalışması, önerildiği gibi, pandemi koşulları nedeniyle yapılmadı. Hastaların normal (emboli yok), düşük riskli (1 subsegmenter defekt), orta riskli (2-3 subsegmenter defekt) ve yüksek riskli (segmenter-3< subsegmenter defekt) olarak 4 sinifa ayrıldı. COVID-19 sürecinde hastane yatış öyküsü, BT'de COVID-19 pnömonisine bağlı sebat eden değişiklikler, perfüzyon SPECT/BT görüntülemelerin yapıldığı dönemdeki D-dimer düzeyleri ve sigara kullanımı gibi alt kriterler üzerinden de değerlendirilmeler yapıldı. Hastaların başvurduğu gün nabız ve oksijen saturasyon düzeyleri ölçüldü. PE olasılığı açısından Wells ve Geneva skorları hesaplandı. İstatistiksel olarak 2 grupta analizlerde Mann-Whitney U testi, 2'den fazla grupta analizlerde ise Kruskal-Wallis testi kullanıldı.

**Bulgular:** Hastalarımızın 56'sı (%42,7) erkek, 75'i (%57,3) kadın ve yaş ortalaması  $52 \pm 14$  (18-89) idi. Akciğer perfüzyon sintigrafisinde 131 hastanın 46'sında (%35) PE lehine sintigrafisi bulgusu saptandı. Hastaların 25'i düşük risk, 11'i orta risk ve 10'u yüksek risk grubunda kabul edildi. Cinsiyetler arasında PE riski açısından istatistiksel olarak anlamlı fark saptanmadı. Yaş artışıyla beraber PE riskinde artış izlendi. Hastaların D-dimer yükseliği ile PE riski arasında anlamlı, sigara kullanımı ile sınırlı anlamlı ilişki vardı. Hastaların hastalık sürecinde hastanede yatış öyküsü olması veya Wells-Geneva skorları ile PE riski arasında direkt bir ilişki saptanmadı. COVID-19 hastalığı üzerinden geçen süre ile PE riski arasında anlamlılık bulunmamış olup PE açısından riskli değerlendirilen hastalarda bu süre en erken 10 gün ve en geç 6 aydı. COVID'e sekonder BT bulgusu olanlarla PE riski ilişkilendirilmedi.

**Sonuç:** Çalışmamız COVID-19'un hastalık sonrası uzun dönemde DE PE riskinin devam ettiğini göstermektedir. PE riskinin hastanın yaşı olması ( $p=0,02$ ), D-dimer seviyelerinin yüksekliği ( $p<0,001$ ) ve sigara kullanımı ( $p=0,05$ ) ile ilişkisi istatistiksel olarak anlamlı bulunmuştur. Bu nedenle, COVID-19 sonrası solunum şikayeti olan hastaların düzenli (3 ay aralıklarla) akciğer perfüzyon sintigrafisi (tercihen SPECT/BT ile) yapılarak PE riski açısından değerlendirilmesi ve PE riski tespit edilen hastalarda antikoagülant profilaksisine devam edilmesi uygun olacaktır.

**Anahtar Kelimeler:** COVID-19, pulmoner emboli, tromboembolizm, akciğer perfüzyon sintigrafisi, SPECT/BT

**[GA-007]****Mesane Kanserinde F-18 FDG PET/BT Görüntülemenin Evrelemeye Etkisi**

Nazım Coşkun<sup>1</sup>, Berkay Çağdaş<sup>1</sup>, Ünsal Eroğlu<sup>2</sup>, Yılmaz Aslan<sup>3</sup>, Seyda Türkölmez<sup>4</sup>

<sup>1</sup>Ankara Şehir Hastanesi, Nükleer Tip Kliniği, Ankara

<sup>2</sup>Ankara Şehir Hastanesi, Üroloji Kliniği, Ankara

<sup>3</sup>Sağlık Bilimleri Üniversitesi Tip Fakültesi, Üroloji Anabilim Dalı, İstanbul

<sup>4</sup>Ankara Yıldırım Beyazıt Üniversitesi Tip Fakültesi, Nükleer Tip Anabilim Dalı, Ankara

**Amaç:** Mesane kanserinde evreleme tedavi yaklaşımını belirleyen en önemli faktördür. Klinik pratikte lenf nodu ve uzak metastaz tespiti için çoğunlukla bilgisayarlı tomografi (BT) ve manyetik rezonans görüntüleme (MRG) kullanılmaktadır. Bu modalitelerin lenf nodu tespiti için özgüllüğü yüksek olsa da hassasiyeti düşüktür. Bu çalışmada, mesane kanseri tanılı hastalarda flor (F)-18 florodeoksiglikoz (FDG) pozitron emisyon tomografi (PET)/BT görüntülemenin, yakın tarihi BT ve MRG'ye kıyasla N ve M evrelerini değiştirmeye oranlarının ve hasta yönetimine etkisinin belirlenmesi amaçlanmaktadır.

**Yöntem:** Mesane kanseri nedeniyle takip edilen ve Haziran 2019 - Aralık 2020 tarihleri arasında nükleer tip kliniğinde F-18 FDG PET/BT görüntüleme yapılan 70 hasta retrospektif olarak değerlendirildi. PET/BT sonucuna göre T (tümör), N (nod=lenf nodu) ve M (metastaz) (TNM) evreleme sistemi esas alınarak belirlenen N ve M evreleri kaydedildi. Aynı hastaların PET/BT öncesi veya sonrası maksimum 2 ay içindeki tanışal BT veya MRG ile belirlenen N ve M evreleri kaydedilerek, F-18 FDG PET/BT görüntüleme sonrası evreleri değişen hastalar belirlendi. T evresine göre anlamlı farklılıklar düzeyleri t-testi ile, T evresinin N evresindeki değişim oranına etkisi lojistik regresyon analizi ile değerlendirildi.

**Bulgular:** Hastaların %88'i (n=62) erkek, %12'si (n=8) kadındı. Yaş ortalaması  $68 \pm 9$  yıl idi. F-18 FDG PET/BT, tanışal BT veya MR görüntüleme sonucuna göre belirlenen N ve M evrelerinin dağılımı Tablo 1'de gösterilmektedir. On dokuz hastada (%27,4) PET sonrası N evresinin arttığı, 7 hastada (%10) N evresinin azaldığı, 16 hastada M evresinin arttığı (%22,8), 7 hastada (%10) M evresinin azaldığı görüldü. T evresi T2 veya üzeri olan hastalarda N evresindeki artış oranın anlamlı olarak yüksek olduğu görüldü (Tablo 2). Tek değişkenli lojistik regresyon analizinde, artan T evresine göre PET görüntüleme sonrası N evresindeki artış için rölatif risk 2,33 olarak hesaplandı (olasılık oranı: 2,33, %95 güven aralığı: 1,02-5,28, p=0,042).

**Sonuç:** Güncel sağlık uygulama tebligine göre mesane kanserindeki F-18 FDG PET/BT endikasyonları yeniden evreleme ve tedavi yanıtının değerlendirilmesidir. Bununla birlikte, T evresi T2 ve üzeri olan hastalarda primer evreleme amacıyla da F-18 FDG PET/BT görüntüleme yapıldığında N ve M evrelerinin değiştiği görülmektedir. Sonuç olarak F-18 FDG PET/BT görüntülemenin kasa invaze mesane kanserlerinde tedavi yaklaşımını değiştirebileceği göz önünde bulundurulmalıdır.

**Anahtar Kelimeler:** Mesane kanseri, pozitron emisyon tomografisi, bilgisayarlı tomografi, manyetik rezonans görüntüleme, evreleme

**Tablo 1.**

N Evresi	BT/MR	PET/BT
N0	51	39
N1	2	6
N2	11	11
N3	6	4
M Evresi	BT/MR	PET/BT
M0	51	42
M1a	10	8
M1b	9	20

BT: Bilgisayarlı tomografi, MR: Manyetik rezonans, PET: Pozitron emisyon tomografi

**Tablo 2.**

	T2 altı (n=24)	T2 ve üzeri (n=46)	p
N evresi artan	2 (%8)	17 (%37)	0,011*
N evresi azalan	4 (%17)	3 (%7)	0,18
M evresi artan	4 (%17)	12 (%26)	0,37
M evresi azalan	2 (%8)	5 (%11)	0,74

**[GA-008]****FDG PET/BT'de Saptanan Senkron Malignitelerin Metabolik Karakterizasyonu ve Histopatolojik Tipler ile İlişkisi**

Ülkü Korkmaz, Ezgi Gökdemir, Fatma Selin Soyluoğlu, Gülay Durmuş Altun

Trakya Üniversitesi Tip Fakültesi, Nükleer Tip Anabilim Dalı, Edirne

**Amaç:** Modern kanser yaklaşımlarının kürabilité ve sağkalım oranlarını artırması, senkron ve metakron tümör insidansını da artırmıştır. İkinci tümörlerin metabolik karakteristiği ve birinci tümör ile ilişkisiye net değildir. Bu çalışmada ilk amacımız, florodeoksiglukoz (FDG) pozitron emisyon tomografi/bilgisayarlı tomografinin (PET/BT) kanıtlanmış metabolik karakterizasyon özelliğinden faydalananarak, malignite tanılı hastalarda takipte hangi senkron ve metakron maligniteler açısından dikkatli olunması gereği ve saptanan malignitelerin PET/BT'deki karakteristik özelliklerini saptamaktır. İkincisiye, metabolik parametrelerin, primer ve senkron metakron hastalığa ait histolojik tipler arasında değişimini ve metastazı senkron ve metakron malign hastalıkta ayırmaya gücünü araştırmaktır.

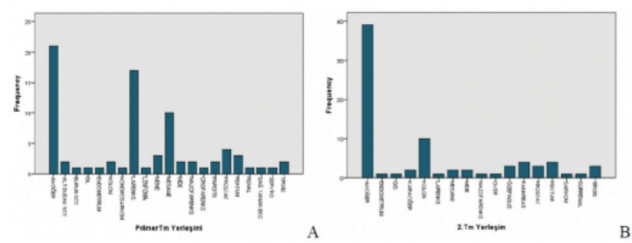
**Yöntem:** Nükleer tip anabilim dalında PET/BT tetkiki yapılmış ve dahil etme kriterlerini karşılayan hastalar çalışma gurubuna kabul edildi. PET/BT görüntüleri arşivden çekilecek metabolik parametreler hesaplandı. Primer, senkron ve metakron malignitelere ait histopatolojik incelemelere hastane sisteminde ulaşılarak kaydedildi.

**Bulgular:** İncelenen 550 hastadan, kriterleri karşılayan 61 E, 18 K olmak üzere 79 hasta çalışmaya dahil edildi. Ortalama yaş 66 idi. PET görüntülerinde 2. tümör tarif edilen primerler arasında ilk sıradı %26,6 lık oranla akciğer Ca vardı. İkinci sıradı %21,5 oranla larenks Ca ve üçüncü sıradı %12,7'lik oranla mesane Ca gelmektedi (Figür 1A). PET'de senkron veya metakron olarak raporlanan lezyonlarda; ilk iki sıradı akciğer [%49,4 ve kolon vardı (%12,7)]. Rektum ve pankreas ise %5,1 oranı ile üçüncü sıradaydı (Figür 1B). Her iki cinste en sık primer tm akciğer (erkeklerde %27,9, kadınlarda %22,2) iken, ikinci sıradı erkeklerde larenks (%26,2), kadınlarda meme (%16,7) gelmektedi. En sık senkron veya metakron tm yerleşimleri ise her iki

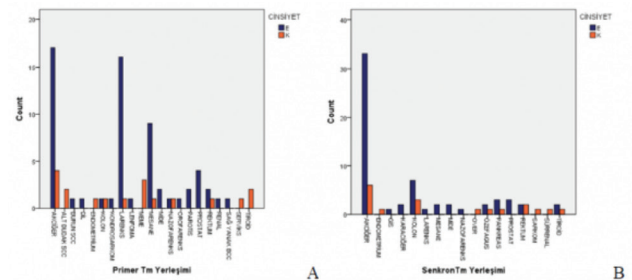
cinsten akciğer ve kolorektal tm'ler idi (Figür 2). Primer tümörlerde ortalama  $SUV_{max} = 11,6$ , metabolik tümör volümü ( $MTV = 17 \text{ cm}^3$ ) ve total lezon glikolizis ( $TLG = 131159,2$  idi. Senkron tümörlerde ortalama  $SUV_{max} = 11,6$ , ort  $MTV = 25,9 \text{ cm}^3$  ve  $TLG = 171112,2$  idi. Senkron lezyonun malign karakterini öngörmede, lezyonun MTV ve TLG değerleri, primer tümörün MTV ve TLG değerinden daha duyarlı idi. Senkron tümörde ait MTV değeri, erkeklerde anlamlı olarak daha yüksekti ( $p = 0,007$ ). Diğer metabolik parametreler açısından cinsiyetler arasında fark saptanmadı. PET/BT incelemesinin senkron malign tümör için pozitif prediktif değeri %91,1 idi. Yedi hasta, senkron tümör odağı bildirilen alanda malign hastalık saptanmadı. Yalancı pozitiflik oluşturan lezyonları tamami kolorektal alandaydı ve hepsi yüksek atipili premalign lezyon idi.

**Sonuç:** PET/BT, %91'lik bir pozitif öngörü gücü ile, senkron tümörü, primer hastalığın metastazından ayırt edebilmektedir. Bu ayrimda, senkron lezyonun MTV ve TLG değerleri,  $SUV_{max}$  değerinden daha kıymetlidir. Özellikle primer akciğer, primer erkek larenks ve primer kadın meme kanserleri değerlendirdiğinde, akciğer ve kolorektal alanda rastlanacak farklı metabolik davranışlı lezyonlar, senkron tümör açısından dikkatle araştırılmalıdır.

**Anahtar Kelimeler:** PET/BT, senkron malignite, metakron malignite



Figür 1. Primer (A) ve senkron (B) tm yerleşimleri



Figür 2. Primer (A) ve senkron (B) tümör yerleşimlerinin cinsiyete göre dağılımı

**[GA-009]****Akciğer Kanseri Tanılı Hastalarda PET/BT'deki Tesadüfi Böbrek Lezyonlarının Histopatolojik ve Radyolojik İncelenmesi**

Büşra Özdemir, Fatma Selin Soyluoğlu, Ülkü Korkmaz, Gülay Durmuş Altun

Trakya Üniversitesi Tip Fakültesi, Nükleer Tip Anabilim Dalı, Edirne

**Amaç:** Florodeoksiglukozun (FDG) fizyolojik tutulum ve atılım yerleri bu bölgelerdeki lezyonların değerlendirilmesini zorlaştırmaktadır. FDG, glukozun 2. karbonundaki OH grubu yerine flor (F)-18 yerleştirilmesiyle oluşan benzersiz fizyolojisi nedeniyle glukozun aksine renal tübülide reabsorbe edilmez ve öncelikle renal ekskresyonu uğrar. Bu durum lezyon kontrastını azaltarak bazı lezyonların görünmesini engelleyebilir.

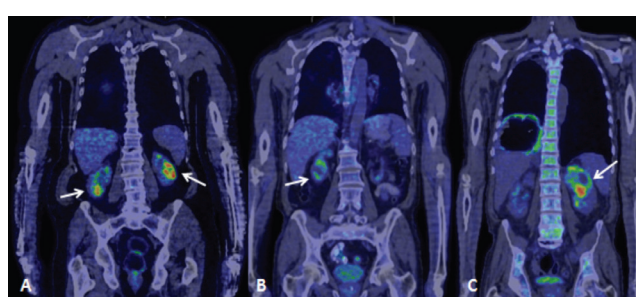
Önceki çalışmalarında bu fizyolojik ekskresyon nedeniyle düşük duyarlılık belirtilmiştir. Üriner sistemde, özellikle böbreklere metastaz yaygın olarak karşımıza çıkmaktadır. Böbrekte FDG tutulumuna neden olabilen en sık patolojiler metastatik lezyonlar olmakla birlikte, böbreğin primer malign hastalıkları, benign patolojiler, enfeksiyonlar artmış FDG tutulumuna neden olabilirler. Bu çalışmada tesadüfi renal kitlelerin görüntüleme paternlerini, pozitron emisyon tomografi/bilsayarlı tomografinin (PET/BT) böbrek lezyonlarında prediksiyon gücünü, yalancı pozitifliği neden olabilecek lezyonları ve bu tutumların hasta yönetimine katkısını retrospektif olarak değerlendirmeyi amaçladık.

**Yöntem:** Kliniğimize 2010-2020 yılları arasında akciğer kanseri tanısı ile evreleme için gelen ve standart PET/BT protokolünü tamamlayan 159 hastanın PET/BT verileri geriye dönük değerlendirildi. PET/BT sonrası böbrek lezyonuna yönelik yapılan ultrasonografi (USG), BT, manyetik rezonans görüntüleme bulguları, böbrek biyopsi ya da nefrektomi verilerine ulaşılabilen 41-90 yaş (ortalama  $66 \pm 9$  y) arası 94 hasta (83 E, 11 K) çalışmaya dahil edildi.

**Bulgular:** Şüpheli böbrek lezyonları hastanın takip histopatolojik verileriley ya da radyolojik görüntüleme sonuçlarıyla kıyaslandığında 52 hastada malign hastalık (metastaz/2. primer), 3 hastada enfeksiyona bağlı FDG tutulumu, 11 hastada kistik böbrek varyasyonuna, 3 hastada kalküle bağlı yalancı pozitiflik saptanırken, 25 hastada böbrekte benign ya da malign patoloji saptanmadı. Lezyon boyutu ortalama  $28 \pm 16$  mm (5-100) olup, 52 hastada lezyon tek odak, 21 hastada multifokal ve 21 hastada diffüz patern göstergesidir. Lezyon sayısı ya da boyutunun malign-benign lezyonlar için ayrıci bir faktör olmadığı saptanmıştır. Regresyon analizinde yalnızca  $SUV_{\text{maks}}$ 'nin benign-malign lezyon ayırımında belirleyici olduğu saptanmıştır ( $p=0,002$ ). Histopatolojik olarak malign lezyonların  $SUV_{\text{maks}}$  değerleri benign lezyonlardan anlamlı olarak yüksek bulunmuştur ( $p=0,03$ ). Benign lezyonlar için ortalama  $SUV_{\text{maks}}$  değeri  $8,52 \pm 3,88$  ve malign lezyonlar için ortalama  $SUV_{\text{maks}}$  değeri  $11,09 \pm 4,70$  hesaplanmıştır. Sınır değer olarak  $\%+95$  güven aralığı değeri olan  $SUV_{\text{maks}}$  9,9 cut-off belirlendiğinde;  $\%72$  sensitivite,  $\%71$  spesifite,  $\%72$  tanışsal doğruluk ile malign-benign lezyonları ayırt edebildiği saptanmıştır.

**Sonuç:** Elde edilen verilere göre, tesadüfi olarak böbrekte saptanın lezyonların benign-malign lezyon ayırmada lezyon şekli, büyülüğu ya da sayısı belirleyici değildir. PET/BT'nin böbrek lezyonlarının saptanmasında anlamlı katkı sağladığı ve kritik değerin üzerinde metabolik aktivite gösteren lezyonların mutlaka ileri değerlendirilmesi gerektiğini göstermiştir.

**Anahtar Kelimeler:** FDG, PET/BT, tesadüfi, böbrek, akciğer kanseri



**Resim 1.** A) Bilateral metastatik lezyonlar, B) nefrektomi sonrası 2. primer RCC tanısı alan hasta, C) sol böbrek üst polde pyelonefrite ait tutulum, antibiyotterapi sonrası hasta takipte stabil izlenmiştir  
RCC: Renal hücreli karsinom

## [GA-010]

### COVID-19 Pandemi Sürecinde F-18 FDG PET/BT Görüntülemede Tesadüfen Saptanan Pulmoner Bulguların Hasta Yönetimine Katkısı

Berkay Çağdaş, Nilüfer Yıldırım, Fatma Arzu Görtan, Merve Atalay

Ankara Şehir Hastanesi, Nükleer Tip Kliniği, Ankara

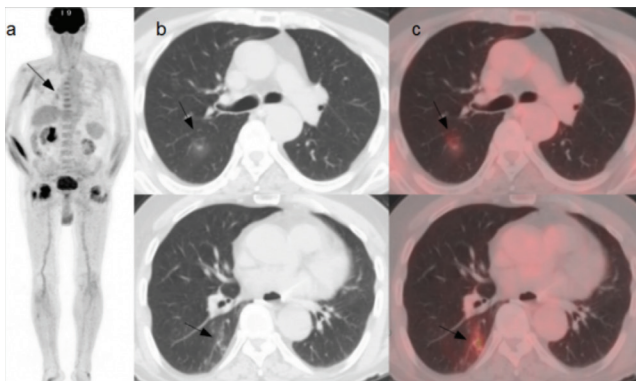
**Amaç:** Akut solunum yolu bulgularıyla seyreden şiddetli akut solunum yolu sendromu koronavirüs-2 (SARS-CoV-2) Koronavirüs hastalığı-2019 (COVID-19) Çin'in Wuhan kentinden başlayarak tüm dünyaya hızla yayılan bir pandemi neden olmuştur. Hastalığın seyi değişken olup altı standart tanı yöntemi olan polimeraz zincir reaksiyonu (PCR) testinin duyarlılığı düşüktür. Toraks bilsayarlı tomografi (BT) bulguları ise hastalığın ciddiyeti açısından çok duyarlıdır. Flor (F)-18 florodeoksiglikoz (FDG) pozitron emisyon tomografi/BT (PET/BT) tetkiki öncelikle onkolojik amaçlı uygulansa da viral pnömoni açısından şüpheli BT bulguları ile enfeksiyona ait metabolik aktivite tesadüfen saptanabilmektedir. Bu araştırmanın amacı pandemi sürecinde onkolojik nedenlerle PET/BT görüntülemesi yapılan hastalarda tesadüfen saptanan solunum sistemi bulgularının tanımlanması ve hasta yönetimine etkisini araştırmaktır.

**Yöntem:** 01.04.2020-31.01.2021 tarihleri arasında kliniğimizde onkolojik amaçlı PET/BT tetkiki yapılan toplam 2.979 hastanın verileri geriye dönük olarak incelendi. Viral pnömoni açısından şüpheli BT bulgusu insidansı, pandemi öncesi 3 aylık dönemde karşılaştırıldı. Pandemi nedeniyle tüm hastalar COVID-19 semptomları açısından sorulup ateş ölçümü yapılmış olup asemptomatik olarak değerlendirilmiştir. Kontrastsız toraks BT kesitlerinde viral pnömoni veya şüphesi ile uyumlu olan toplam 236 hastanın 221'ine (%93,5) F-18 FDG PET/BT tetkiki yapılmıştır. Çocuk hastalar çalışma dışı bırakılarak toplam 215 hasta araştırılmaya dahil edildi. Hastaların geçmiş ve takip bilgilerine hastane veri tabanından ulaşılırak analiz yapıldı.

**Bulgular:** Pandemi sürecinde viral pnömoni açısından şüpheli BT bulgu insidansı %7,9 olup toplam 141 hastada (%65,6) tanımlanan lezyon alanlarında metabolizma artışı saptandı. Hastaların ortalama yaşı 62 (18-87), kadın/erkek oranı ise 0,55 (77/138) olarak hesaplandı. Şüpheli viral pnömoni bulgusu pandemi öncesinde benzer sıklıkta (%8,2) olsa da lezyonlarda hipermetabolizma saptanma oranı ve F-18 FDG düzeyi belirgin olarak düşüktü. Araştırma grubunda hastaların 58'inde ılımlı ( $SUV_{\text{maks}} < 2,5$ ), 83'ünde ise patolojik düzeyde F-18 FDG tutulumu (ortalama  $SUV_{\text{maks}} 4,91$ ; 2,57-13,11) saptandı. Hastaların kalan %34,4'ünde ( $n=74$ ) ise sadece BT bulgusu izlendi. Hastane veri tabanı ve klinisyen notlarına göre 30 hastada geçirilmiş COVID-19 öyküsü vardı. Diğer hastalar tetkik sonrasında COVID-19 açısından değerlendirilmiş, 57 hastaya SARS-CoV-2 PCR ve serum antikor testi yapılmıştı. Bu hastaların sadece 13'ünde PCR pozitif ve 9'unda antikor pozitifliği saptandı. Takipte ciddi semptomlar nedeniyle COVID-19 servisinde yatarak tedavi gören 14 hastanın 13'ünde pulmoner lezyonlarda patolojik hipemetabolizma (Resim 1) mevcuttu ve üç hasta yoğun bakım ünitesinde gördüğü tedavi sırasında kaybedildi.

**Sonuç:** COVID-19 pandemisi sürecinde onkolojik nedenlerle F-18 FDG PET/BT tetkiki yapılan hastalarda tesadüfen saptanan viral pnömoni bulguları hastalığın tanısına katkı sağlamamıştır. Ayrıca pulmoner lezyonların metabolik aktivitesi hastalığın seyi ve tedavi planlamasında prognostik değere sahip olabilir.

**Anahtar Kelimeler:** COVID-19, F-18 FDG, PET/BT



**Resim 1.** Yetmiş üç yaşında erkek hasta, opere kolon Ca (a) kontrastsız BT kesiştilerinde sağ pulmoner atipik viral pnömoni bulgusu (b) ve lezyon alanlarında hipemetabolizma (c).  
BT: Bilgisayarlı tomografi

### [SS-011]

#### İleri Evre Mesane Kanseri Hastaların Takibinde FDG PET/BT ile Volümetrik-metabolik Parametrelerin Prognostik Değeri

Tatiana Bahçeci, Elif Şahin Kütük, Nahide Belgit Talay, Elif Özdemir

Ankara Şehir Hastanesi, Nükleer Tip Kliniği, Ankara

**Amaç:** Bu çalışmada ileri evrede mesane kanseri hastaların kısa dönemde F-18 florodeoksiglukoz (FDG) pozitron emisyon tomografi/bilgisayarlı tomografi (PET/BT) görüntülemeye elde edilen volümetrik-metabolik parametrelerin ve klinik parametrelerin prognostik değerini araştırmak ve genel sağkalım (OS) ve progresyonsuz sağkalım (PFS) üzerine etkilerini belirlemek amaçlandı.

**Yöntem:** Çalışmaya flor (F)-18 FDG PET/BT görüntüleme için kliniğimize refere edilen 50 (47 erkek, 3 kadın) ileri evre mesane kanseri hasta dahil edildi (Tablo 1). PET görüntülerinden elde edilen total lezyon glikolizis (TLG), metabolik tümör volümü (MTV),  $SUV_{\text{maks}}$ ,  $SUV_{\text{mean}}$  parametrelerinin ve yaş, cinsiyet, histopatoloji, lenf nodu metastazı (LN), uzak organ metastazı varlığının OS ve PFS üzerinde etkisini değerlendirmek amacıyla tek değişkenli ve çok değişkenli analizler yapıldı. Kaplan-Meier eğrileri ve alıcı işletim karakteristiği (ROC) eğrileri ile bu parametrelerin prediktif etkisi değerlendirildi.

**Bulgular:** PFS açısından yapılan tek değişkenli analizde MTV ve TLG değerlerinin progresyonsuz sağkalım üzerine etkisi olduğu tespit edildi ( $p<0,05$ ). MTV değeri yüksek olanlarda 2,690 kat daha fazla progresyon görüldü (%95 güven aralığı: 1,405-5,148). Çok değişkenli analizde ise LN varlığının PFS'yi anlamlı ölçüde etkilediği izlendi ( $p<0,05$ ). OS açısından yapılan tek değişkenli analizde LN varlığı, karaciğer metastazı varlığı, MTV ve TLG değişkenlerinin genel sağkalım üzerinde anlamlı etkiye sahip olduğu görüldü ( $p<0,05$ ). Yapılan çok değişkenli analizde TLG, MTV, karaciğer metastazı varlığı, LN varlığının OS'yi etkilediği tespit edildi ( $p<0,05$ ). Takipte ölen ve sağ kalan hastalar karşılaştırıldığında MTV'nin ölen hasta grubunda daha yüksek olduğu görüldü. Diğer parametrelerde anlamlı fark tespit edilmedi (Tablo 2). Buna göre yapılan ROC analizi sonucunda MTV için kesme değer 49,4 olarak ölçüldü.

**Sonuç:** Klinik ve metabolik parametreler değerlendirildiğinde OS ve PFS'yi en kuvvetli belirleyen parametrenin MTV olduğu tespit edilmiştir. İleri evre mesane kanseri hastalarında yapılan PET/BT'de metabolik tümör volümünün mutlaka değerlendirilmesini öneriz.

**Anahtar Kelimeler:** Mesane Ca, F-18 FDG PET/BT, volümetrik-metabolik parametre

**Tablo 1. Klinik-demografik özellikler**

		n (%)
Yaş	<65	19 (38)
	≥65	31 (62)
Cinsiyet	Kadın	3 (6)
	Erkek	47 (94)
Patoloji	İPÜK YD	47 (94)
	İPÜK DD	3 (6)
Lenf nodu metastazı		37 (74)
İliak LN metastazı		29 (58)
İnguinal LN metastazı		6 (12)
Paraortik LN metastazı		23 (46)
Uzak metastaz		38 (76)
AC metastazı		23 (46)
Kemik metastazı		11 (22)
KC metastazı		7 (14)
Diğer uzak metastazlar		14 (28)
LN: Lenf nodu, KC: Karaciğer, AC: Akciğer		

**Tablo 2. MTV, TLG, SUV değerlerinin sağkalıma etkisinin tahmininin ROC analizi**

Ölçüm	Alan	P	%95 GA alt	%95 GA üst
MTV	0,685	0,025*	0,534	0,835
TLG	0,658	0,056	0,507	0,809
$SUV_{\text{maks}}$	0,557	0,491	0,396	0,718
$SUV_{\text{mean}}$	0,526	0,756	0,363	0,688

MTV: Metabolik tümör volümü, TLG: Total lezyon glikolizis, ROC: Alıcı işletim karakteristiği, GA: Güven aralığı

### [SS-012]

#### Meme Kanseri Hastalarda Neoadjuvan Tedavi Sonrası Patolojik Yanıtın Öngörülmesinde F-18 FDG PET/BT'nın Rolü

Melis Oflas<sup>1</sup>, Duygu Has Şimşek<sup>1</sup>, Emine Göknur Işık<sup>1</sup>, Selman Emirkçi<sup>2</sup>, Neslihan Cabioğlu<sup>2</sup>, Mahmut Müslümanoğlu<sup>2</sup>, Semen Önder<sup>3</sup>, Yasemin Şanlı<sup>1</sup>

<sup>1</sup>İstanbul Üniversitesi, İstanbul Tip Fakültesi, Nükleer Tip Anabilim Dalı, İstanbul

<sup>2</sup>İstanbul Üniversitesi, İstanbul Tip Fakültesi, Genel Cerrahi Anabilim Dalı, İstanbul

<sup>3</sup>İstanbul Üniversitesi, İstanbul Tip Fakültesi, Tibbi Patoloji Anabilim Dalı, İstanbul

**Amaç:** Meme kanseri tanısı ile neoadjuvan tedavi uygulanan hastalarda, patolojik yanıtın belirlenmesinde flor (F)-18 florodeoksiglukoz (FDG) pozitron emisyon tomografi/bilgisayarlı tomografinin (PET/BT) prediktif rolü araştırıldı.

**Yöntem:** Haziran 2010-Ağustos 2020 tarihleri arasında meme kanseri nedeniyle neoadjuvan tedavi alan, tedavi öncesi ve sonrasında F-18 FDG PET/BT görüntülemesi bulunan ve tedavi sonrasında opere edilen 85 kadın

hasta retrospektif olarak incelendi. Operasyon sonrası patoloji sonuçlarına ulaşlamayan hastalar çalışmadan çıkarıldı. Hastaların tedavi öncesi ve sonrasında F-18 FDG PET/BT görüntüleri üzerinden yapılan çizimler ile primer tümör (PT) ve metastatik aksiller lenf nodundan (mALN) SUV<sub>maks</sub><sup>1</sup> metabolik tümör volümü (MTV), tümör lezyon glikolizi (TLG) değerleri ve parametrelerdeki değişim ( $\Delta$ ) hesaplandı. Operasyon sonucu patoloji raporlarına göre PT ve mALN tedaviye yanıtları: tedaviye tam yanılı, tedaviye parsiyel yanılı (>30% ve <100 yanıt), tedaviye yetersiz yanılı (<30 yanıt veya stabil/progrese) olmak üzere gruplandırdı. Hastaların F-18 FDG PET/BT kantitatif değerleri ve patolojik yanıtlar arasındaki ilişki SPSS v.24 programı ile Kruskal-Wallis testi ve korelasyon analizi kullanılarak karşılaştırıldı. Tedaviye tam yanılı hastaların belirlenmesinde F-18 FDG PET/BT parametrelerinin rolü alıcı işletim karakteristiği (ROC) analizi ile incelendi. P-değeri <0,05 anlamlı olarak kabul edildi.

**Bulgular:** Çalışmaya toplam 55 hasta dahil edildi (ortalama yaşı: 49,7). Hastaların 4'ü erken evre (%7,3), 35'i lokal ileri evre (%63,6), 16'sı ileri evre (%29,1) meme kanseri idi. Tedavi öncesi F-18 FDG PET/BT görüntülerde 54 hastada mALN saptandı. PT'deki patolojik yanıtlar incelendiğinde 13 hasta (%23,6) tedaviye tam yanılı, 34 hasta (%61,8) tedaviye parsiyel yanılı, 8 hasta (%14,6) tedaviye yetersiz yanılı idi. mALN'deki patolojik yanıtlar incelendiğinde; 11 hasta (%20,3) tedaviye tam yanılı, 29 hasta (%53,7) tedaviye parsiyel yanılı, 14 hasta (%26) tedaviye yetersiz yanılı idi. Spearman korelasyon testinde PT'deki patolojik yanıt ile tedavi sonrası PT SUV<sub>maks</sub>, MTV ve TLG değerleri arasında istatistiksel olarak anlamlı korelasyon izlenirken ( $p=0,510$  ve  $p<0,001$ ;  $p=0,443$  ve  $p=0,001$ ;  $p=0,493$  ve  $p<0,001$ ) tedavi öncesi F-18 FDG PET/BT parametreleri ve  $\Delta$  değerleri ile patolojik yanıt arasında istatistiksel olarak anlamlı korelasyon izlenmedi. Ayrıca mALN'deki patolojik yanıt ile F-18 FDG PET/BT parametreleri arasında istatistiksel olarak anlamlı korelasyon izlenmedi. ROC eğrisi analizinde; tedavi sonrası SUV<sub>maks</sub>, MTV ve TLG değerlerinin sırasıyla; %69 duyarlılık ve %70 özgürlük (SUV<sub>maks</sub> cut-off: 2,145), %76 duyarlılık ve %69 özgürlük (MTV cut-off: 4,83), %69 duyarlılık ve %69 özgürlük (TLG cut-off: 8,465) ile PT patolojik tam yanını öngörebildiği saptandı.

**Sonuç:** Neoadjuvan tedavi almış meme kanserli hastalarda tedavi sonrası çekilen F-18 FDG PET/BT parametrelerinin PT patolojik tam yanıtını orta-yüksek duyarlılık ve özgürlük ile predikte edilebildiği görülmüştür. Ancak mALN patolojik tam yanını belirlemeye F-18 FDG PET/BT parametreleri yetersiz görürmektedir.

**Anahtar Kelimeler:** F-18 FDG PET/BT, meme kanseri, neoadjuvan, patolojik yanıt

### [SS-013]

#### Prostat Adeno Kanserlerinde Dosetaksel Tedavi Yanıtında Volüm Tabanlı PSMA PET/BT ile PSA Yanıt Uyumunun Değerlendirilmesi

Canan Can<sup>1</sup>, Cihan Gündoğan<sup>1</sup>, Özgen Ahmet Yıldırım<sup>2</sup>, Kerem Poyraz<sup>3</sup>, Yunus Güzel<sup>1</sup>, Halil Kömek<sup>1</sup>

<sup>1</sup>Sağlık Bilimleri Üniversitesi, Gazi Yaşargil Eğitim ve Araştırma Hastanesi, Nükleer Tip Kliniği, Diyarbakır

<sup>2</sup>Sağlık Bilimleri Üniversitesi, Gazi Yaşargil Eğitim ve Araştırma Hastanesi, Tıbbi Onkoloji Kliniği, Diyarbakır

<sup>3</sup>Sağlık Bilimleri Üniversitesi, Gazi Yaşargil Eğitim ve Araştırma Hastanesi, Radyasyon Onkolojisi Kliniği, Diyarbakır

**Amaç:** Bu çalışmada amacımız, docataxel tedavisi alan prostat kanserli hastalarda (PKa) biyokimyasal tedavi yanıtını ile galyum (Ga)-68 prostat spesifik membran antijen (PSMA) pozitron emisyon tomografi/bilgisayarlı tomografiden (PET/BT) elde edilen metabolik ve hacim tabanlı tüm vücut parametrelerin tedavi yanıt uyumunu değerlendirmektir.

**Yöntem:** Çalışmamızda Mayıs 2016 ve Aralık 2019 arasında kliniğimizde Ga-68 PSMA PET/BT çekimi yapılan tedavi altında olan tedavi öncesi ve sonrasında ait görüntülemeleri bulunan 67 PKa'lı hasta dahil edildi. Tüm hastaların tedavi öncesi ve sonrası prostat spesifik antijen (PSA) değerleri, tüm vücut metabolik tümör volümü (MTVw), tüm vücut total lezyon PSMA (TLPw), en yüksek SUV<sub>peak</sub> (HSUV<sub>peak</sub>) değerleri ile yüzde PSA değişimi ( $\Delta$ PSA),  $\Delta$ MTV,  $\Delta$ TLP ve  $\Delta$ HSUV<sub>peak</sub> değerleri hesaplandı. PSMA tutan herhangi bir patolojik lezyonun görülmemesi tam yanıt (TY);  $\Delta$ MTV,  $\Delta$ TLP ve  $\Delta$ HSUV<sub>peak</sub> <30 olması parsiyel yanıt (PY),  $\geq$ 30 olması progresif hastalık (PH) ve %0-29 ve %+29 arasında değişmesi stabil hastalık (SH) olarak kabul edildi. Biyokimyasal yanıt için KY: PSA seviyesi 0 ng/mL, PY:  $\Delta$ PSA  $\geq$ 50, PH:  $\Delta$ PSA  $\geq$ 25 ve %49 ile %+24 arasında olması SH olarak değerlendirildi. Tedavi yanıtlarının değerlendirilmesi Cohen's kappa uyum testi ile yapıldı.

**Bulgular:** Çalışmamızda alınan hastalarımızın medyan yaşı 67 (51-88) idi. On iki hasta radikal prostatektomili olup 52 hastada kemik metastazı, 41 hastada lenf nodu ve 2 hastada visseral metastaz saptandı.  $\Delta$ PSA tedavi yanıtına göre 27 hastada PY, 9 SH, 31 PH izlendi.  $\Delta$ MTV tedavi yanıtına göre 31 hastada PY, 10 SH ve 26 PH izlendi.  $\Delta$ TLP 32 hastada PY, 8 SH, 27 PH izlendi. PSA yanımı ile MTVw tedavi yanımı arasında, istatistiksel anlamlı orta derecede uyum bulundu ( $k: 0,489$ ,  $p<0,001$ ). PSA yanımı ile TLPw yanımı birlikte değerlendirildiğinde istatistiksel anlamlı orta derecede uyum bulundu ( $k: 0,655$ ,  $p<0,001$ ).

**Sonuç:** Çalışmamızda docataxel tedavi yanımını değerlendirmede biyokimyasal yanıt ile tüm vücut volümetrik Ga-68 PSMA PET/BT parametreleri olan  $\Delta$ TLP ve  $\Delta$ MTV yanımının istatistiksel anlamlı orta derecede uyum gösterdiği izlenmiştir.

**Anahtar Kelimeler:** Prostat kanseri, PSA, PSMA, tüm vücut metabolik tümör volümü, total lezyon PSMA, docataxel

Tablo 1. PSA ve hacim tabanlı PSMA PET parametrelerinden elde edilen tedavi yanıt uyumunun Kappa testi ile karşılaştırılması

		PY	SD	PH	Total	Cohen's kappa	p
$\Delta$ MTV yanıt						k	
	PY	23	4	4	31		
	SH	2	2	6	10	0,489	>0,001
	PH	2	3	21	26		
	Total	27	9	31	67		
$\Delta$ TLP yanıt	PY	24	3	5	32		
	SH	3	4	1	8		
	PH	0	2	25	27	0,655	<0,001
	Total	27	9	31	67		
$\Delta$ HSUV <sub>peak</sub> yanıt	PY	16	1	5	22		
	SH	6	5	7	18		
	PH	5	3	19	27	0,375	<0,001
	Total	27	9	31	67		

PSA: Prostat spesifik antijen, PSMA: Prostat spesifik membran antijen, PET: Pozitron emisyon tomografi, MTV: Metabolik tümör volümü, PY: Parşiyel yanıt, SH: Stabil hastalık, PH: Progresif hastalık, TLP: Tüm vücut total lezyon

**[SS-014]****Karaciğer Metastazı Bulunan Kolorektal Kanserli Hastalarda Makine Öğrenimi ile Survı Prediksiyonu**

Sertaç Asa, Ali Kibar, Burak İnce, Azizullah Nazari, Fatih Beytur, Rabia Lebriz Uslu Beşli, Muhammet Sait Sağer, Kerim Sönmezoglu

*İstanbul Üniversitesi-Cerrahpaşa, Cerrahpaşa Tip Fakültesi, Nükleer Tip Anabilim Dalı, İstanbul*

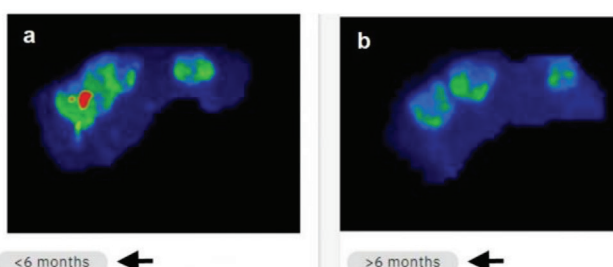
**Amaç:** Florodeoksiglukoz (FDG) pozitron emisyon tomografide (PET) karaciğer metastazı bulunan kolorektal karsinom tanılı hastaların karaciğerden elde edilen görsel tanıma (visual recognition) verileri kullanılarak yapılan görüntü sınıflandırması (image classification) ile survı prediksiyonu arasındaki ilişkinin ortaya konması amaçlandı.

**Yöntem:** Karaciğer metastazı progresyonu nedeni ile eks olduğu bilinen FDG PET/bilgisayarlı tomografi ya da PET/manyetik rezonans çekilmiş toplam 40 hastanın 55 PET görüntüsü retrospektif olarak çalışmaya dahil edildi. Hastaların tüm vücut maksimum yoğunlukta projeksiyon (MIP) imajları iş istasyonu programında (GE AW Volume Share 5, GE MedicalSystems) yarı-otomatik segmentasyon ile işlenip karaciğer MIP görüntülerini elde edildi. Verilerin makine öğrenimi ve sonrasında analizi için IBM Watson programı kullanıldı. Görüntü sınıflandırması için 2 grup (6 aydan kısa ve 6 aydan uzun survisi olanlar) tanımlanmıştır. Eğitim (training) verisini oluşturmak amacıyla toplam 19 hastanın 20 görüntüsü kullanılırken, örneklem için 21 hastanın 35 görüntüsü kullanıldı.

**Bulgular:** Tanımlanan sınıflandırma analizlerine göre örneklem görüntülerinde survisi 6 aydan kısa olarak bilinen 15 görüntünün tamamı doğru tahmin edildi (%100). Survisi 6 aydan uzun olan 20 görüntünün ise 16'sı doğru tahmin edilirken (%80), 4'ünde ise yanlış sınıflandırma yapıldı (Resim 1).

**Sonuç:** Karaciğer metastazı kolorektal kanserde surviyi belirleyen en önemli faktörlerdendir. Günümüzde onkolojik FDG PET görüntüleme, uzak metastaz değerlendirmesinde ve survi tahmininde önemli rol oynamaktadır. Makine öğrenimi ile PET verilerinin değerlendirilmesi survinin doğru tahminini sağlamada umut vaat etmekte olup hastalara uygun tedavi yaklaşımında katkısı olacağı düşünülmektedir.

**Anahtar Kelimeler:** Makine öğrenimi, FDG PET, kolorektal kanser, karaciğer metastazı



**Resim 1.** Kolon kanseri tanısı ile takip edilen erkek hastanın vefatından 4 ay (a) ve 10 ay (b) önce çekilen FDG PET filminin karaciğer MIP görüntülerini. Görüntü sınıflandırmasına göre her iki imaj da doğru tahmin edildi (ok).

*FDG: Florodeoksiglukoz, PET: Pozitron emisyon tomografi, MIP: Maksimum yoğunlukta projeksiyon*

**[SS-015]****Prostat Kanseri Tanılı Olgularda İnsidental Olarak Saptanan Akciğer Lezyonlarında Ga-68 PSMA PET/BT'nin Rolü**

Murat Yılmaz Kiran, Duygu Has Şimşek, Emine Göknur Işık, Serkan Kuyumcu, Zeynep Gözde Özkan, Yasemin Şanlı

*İstanbul Üniversitesi, İstanbul Tip Fakültesi, Nükleer Tip Anabilim Dalı, İstanbul*

**Amaç:** Prostat kanseri (PK) tanısıyla yapılan galyum (Ga)-68 prostat spesifik membran antijen (PSMA) pozitron emisyon tomografi/bilgisayarlı tomografi (PET/BT) görüntülemede insidental olarak saptanan akciğer lezyonlarının tanısında Ga-68 PSMA PET/BT görüntülemenin rolü araştırıldı.

**Yöntem:** Ocak 2015-Temmuz 2020 tarihleri arasında evreleme, yeniden evreleme veya tedavi yanıtının değerlendirilmesi amacıyla kliniğimizde Ga-68 PSMA PET/BT görüntülemesi yapılan ve insidental olarak en az bir adet soliter akciğer lezyonu ( $\geq 8$  mm) saptanan hastalar retrospektif olarak incelendi. Sekonder malignitesi bulunan, klinik muayene bulguları, radyolojik verisi veya takibi eksik olan hastalar çalışmadan çıkarıldı. Lezyonların boyutu, lokalizasyonu, morfolojisi, lezyonların SUV<sub>maks</sub> değerleri ve prostat spesifik antjen (PSA) değerleri kaydedildi. Akciğer lezyonlarının nihai tanısı; histopatolojik verifikasiyon, klinik muayene bulguları, radyolojik bulgular veya takip görüntülemeyle konuldu. Akciğer lezyonlarının tanısı ile SUV<sub>maks</sub> değerleri arasındaki ilişki Mann-Whitney U test ile alıcı işletim karakteristiği (ROC) analizi ile SPSS 24.0 programı kullanılarak değerlendirildi. P-değeri <0,05 anlamlı olarak kabul edildi.

**Bulgular:** Çalışmaya yaş ortalaması  $68,5 \pm 7,7$  (50-82) olan 45 hasta dahil edildi. On üç hasta soliter akciğer lezyonu izlenirken 8 hasta 2-4 adet, 24 hasta  $\geq 5$  akciğer lezyonu saptandı. Otuz bir (%69) hastanın akciğer lezyonları klinik ve radyolojik takip sonrası PK metastazı, 10 hastanın (%22) ise benign olarak kabul edildi. Kalan 4 hasta (%9) yapılan biyopsi sonucu primer akciğer malignitesi saptandı (Tablo 1). Ga-68 PSMA PET/BT görüntülemesi sırasında medyan PSA ve akciğer lezyonlarının SUV<sub>maks</sub> değerleri PK metastazı, primer akciğer malignitesi ve benign akciğer lezyonu saptanan olgularda sırasıyla; 64,9 ng/mL (0,01-971,90) ve 5,40 (0,61-37,96); 5,65 ng/mL (0,64-18) ve 3,18 (0,25-11,20); 5,44 ng/mL (0,22-47,46) ve 1,36 (0,47-3,22) olarak saptandı (Tablo 2). Mann-Whitney U testine göre malign lezyonlarda SUV<sub>maks</sub> değeri anlamlı olarak yüksek iken ( $p=0,001$ ), PK metastazları ve primer akciğer malignitelerinin SUV<sub>maks</sub> değerleri arasında anlamlı farklılık saptanmadı ( $p=0,379$ ). Öte yandan PSA değerleri PK metastazı saptanan olgularda, primer akciğer malignitesi saptanan olgulara kıyasla anlamlı olarak yüksekti ( $p=0,046$ ). ROC analizine göre lezyonların benign/malign ayrımında SUV<sub>maks</sub> değeri için eşik değer 1,6 alındığında duyarlılık %77,4, özgürlük %80 (AUC: 0,829,  $p=0,001$ ) olarak hesaplandı.

**Sonuç:** PK tanılı olgularda Ga-68 PSMA PET/BT'de insidental olarak saptanan akciğer lezyonlarında yüksek SUV<sub>maks</sub> değerlerinin benign/malign lezyon ayrımında yardımcı olabileceği gösterilmiştir. Ancak primer akciğer maligniteleri ve metastaz ayırıcı tanısında SUV<sub>maks</sub> değerleri dışında hastanın klinik muayene bulguları, PSA değerleri ve radyolojik bulguları yol gösterici olmaktadır.

**Anahtar Kelimeler:** Ga-68 PSMA, prostat kanseri, insidental akciğer lezyonu, SUV<sub>maks</sub>

**Tablo 1.** Hasta gruplarında akciğer lezyonlarının bulguları

		Final Tanı		
		Prostat Kanseri	Primer Akciğer Metastazı	Benign Lezyon
BT Bulguları	Düzgün konturlu Spiküler uzunluk	26	2	0
	Lobülasyon	13	3	1
	Kalsifikasiyon Varlığı	14	3	4
	Izole Sağ Akciğer	5	0	8
Lezyon Yeri	Izole Sağ Akciğer	6	1	7
	Izole Sol Akciğer	3	1	0
	Bilateral Akciğer	22	2	3
Lezyon Sayısı	Tek lezyon	7	2	4
	2-4 lezyon	2	1	5
	≥5 Lezyon	22	1	1
Ortalama Boyut	Sağ Akciğer (mm)	17.5	32	11.9
	Sol Akciğer (mm)	10.7	41	10.2

BT: Bilgisayarlı tomografi

**Tablo 2.** Hasta gruplarında medyan PSA, SUV<sub>maks</sub> değerleri ve Gleason skorları

	Prostat kanseri metastazı	Primer akciğer malignitesi	Benign lezyon
Medyan PSA değeri (ng/mL)	64,9	5,65	5,44
Medyan SUV <sub>maks</sub> değeri	5,40	3,18	1,36
Medyan Gleason skoru	8	7	7

PSA: Prostat spesifik antijen

**[SS-016]**

### F-18 FDG PET/BT Volümetrik ve Doku Analizi Verilerinin Kolorektal Kanserlerde Kras Mutasyonunu Öngörmesindeki Rolü

Nazlı Pınar Karahan Şen, Gamze Çapa Kaya

Dokuz Eylül Üniversitesi Tip Fakültesi, Nükleer Tip Anabilim Dalı, İzmir

**Amaç:** Doku analizi medikal görüntülerin temelini oluşturan piksellerin uzasal yerleşiminin değerlendirildiği son zamanlarda tanımlanmış bir araştırma alanıdır. Bu sayede tümöral heterojeniteyi değerlendirebilecek kuantitatif verileri elde etmek mümkün olmaktadır. Bu çalışmamızda flor (F)-18 florodeoksiglikoz (FDG) pozitron emisyon tomografi/bilgisayarlı tomografi (PET/BT) görüntülerinin volümetrik ve doku analizi yöntemi ile elde edilen özellikler doğrultusunda değerlendirilmesinin, kolorektal kanserlerde tedavi seçimiinde rol oynayan ve anti-EGFR tedavilere olumsuz yanıtta sorumlu olan KRAS mutasyonu varlığını öngörebilmesinin rolünü araştırdık.

**Yöntem:** Çalışmamızda 2012-2020 yılları arasında kolorektal kanser tanısı alan ve evreleme amacıyla F-18 FDG PET/BT yapılan 82 hasta dahil edildi. Hastaların görüntüleri LIFEx programında değerlendirildi. Hastalarda primer tümör, bölgelerin lenf nodu metastazı ve uzak metastaz varlığı incelendi. Primer tümörlerine ilgi alanı çizilerek (ROI) doku özellikleri çıkarıldı. Manuel hatanın önüne geçilmesi amacıyla ilgi alanının minimum SUV değeri 2,5 ve üzeri olan tümörlü alana ROI çizildi. Çizilen ROI içerisindeki primer tümörün konvansiyonel SUV değerleri, metabolik verileri [metabolik tümör hacmi (MTV)p ve toplam lezyon glikolizisi (TLG)p] ve doku özellikleri (histogram, shape-based, GLCM, GLRLM, NGLDM, GLZLM) elde edildi. Ayrıca uzak metastaz yapan hastaların primer tümör dışında kalan metastatik lezyonlarının MTV ve TLG (MTVm, TLGm) değerleri de hesaplandı. Daha

sonra primer tümörlü dokudan yapılan KRAS mutasyon analizi sonuçları ile doku özellikleri arasındaki anlamlı ilişki Mann-Whitney U testi ile araştırıldı. P<0,05 anlamlı kabul edildi. Anlamlı bulunan özellikler için alıcı işletim karakteristiği (ROC) analizi yapıldı.

**Bulgular:** Hastaların 45'inde KRAS wild-tip iken 37 hastada mutant olduğu izlendi. Primer tümörün doku özellikleri açısından konvansiyonel SUV<sub>min</sub> değeri dışında anlamlı özellik izlenmedi ( $p=0,034$ ). SUV<sub>min</sub> değeri KRAS mutant hastalarda wild-tip olanlara göre daha yüksek olduğu izlendi. Mutasyon saptanan hastaların %68,9'unda uzak metastaz izlenirken mutasyon izlenmeyen hastalarda bu oran %67,6 idi ( $p>0,05$ ). Lenf nodu metastazı oranı da her iki grupta eşittir (%62,2). Uzak metastaz yapan hastaların primer tümör harici metabolik tümör yükü hesaplandığında TLGm ve MTVm değerlerinin mutant hastalarda wild-tip olanlara göre istatistiksel olarak anlamlı düzeyde yüksek olduğu izlendi (EAA: 0,680, 0,700;  $p=0,021$ ,  $p=0,011$ ).

**Sonuç:** Konvansiyonel, metabolik ve doku analizi özellikleri kullanılarak KRAS mutasyonun incelendiği bu çalışmamızda KRAS mutasyonunu saptamada primer tümöre yönelik doku analizi özelliklerinin fayda sağlamadığı izlenmiştir. KRAS mutant ve wild-tip hastalarda lokal ve uzak metastaz yapma oranları benzer olmakla birlikte, uzak metastaz yapan hastalarda KRAS mutasyonunu öngörme açısından en önemli göstergenin metastatik lezyonların metabolik tümör hacmi olduğu tespit edilmiştir.

**Anahtar Kelimeler:** F-18 FDG PET/BT, doku analizi, kolorektal kanser, KRAS

**[SS-017]**

### Ga-68 PSMA PET/BT'de Prostat Kanserinin Kemik Metastaz Paternleri

Nihat Köylüce, Ümmühan Abdülrezzak, Ahmet Tutuş

Erciyes Üniversitesi Tip Fakültesi, Nükleer Tip Anabilim Dalı, Kayseri

**Amaç:** İleri evre prostat kanserinin (PCa) yaklaşık %80'i kemije metastaz yapar ancak metastaz paternlerinin fizyopatolojisi ve büyümeye mekanizmaları belirsizliğini korumaktadır. Galyum (Ga)-68 prostat spesifik membran antijen (PSMA) pozitron emisyon tomografi/bilgisayarlı tomografi (PET/BT) görüntülemesi yapılan PCa'lı hastalarda kemik metastazlarının morfolojik ve fonksiyonel tümör karakteristikleri ile prostat spesifik antijen (PSA) değerleri arasındaki ilişkiyi incelemek ve bu hastalarda kemik metastazlarındaki Ga-68 PSMA görüntüleme bulgularının tanı değerini ortaya koymaktır.

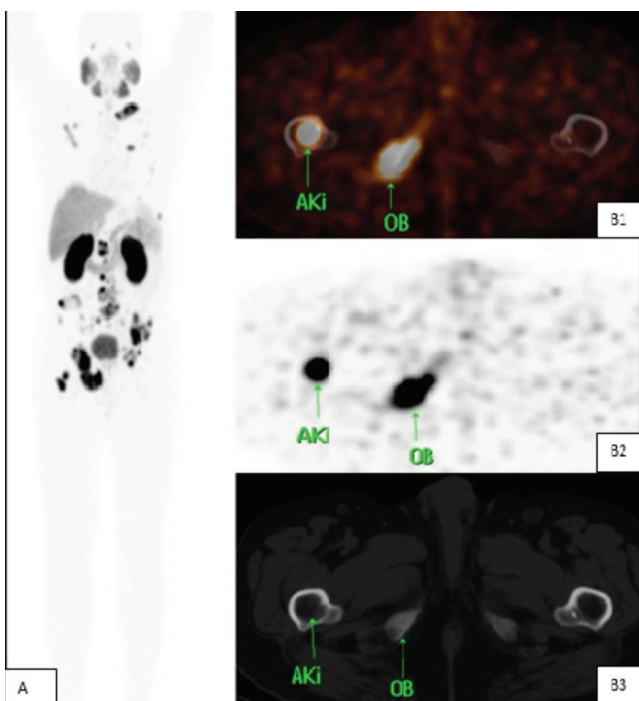
**Yöntem:** Ocak 2014-Şubat 2020 tarihleri arasında bölümümüzde ilk defa başvuran, çekim öncesi tedavi almamış veya lokal tedavi almış, en az bir adet kemik metastazı olan 624 farklı hastanın çekilen Ga-68 PSMA PET/BT verileri retrospektif olarak incelendi. Çalışma kriterlerine uyan toplam 73 hastanın görüntüleri incelenerek, iskelet sistemindeki metastazlar osteoblastik (OB), osteolitik (OL), mikst (MX) ve anatomik karşılığı izlenmeyen (AKİ) olarak sınıflandırıldı. Ayrıca LIFEx v5.0 programı kullanılarak kemik metastazları için eşik SUV<sub>maks</sub> değeri 2,5 olarak ayarlandıktan sonra total ilgi alanı, SUV<sub>maks</sub>'nin en az %40'ını içeren tüm vokselleri içerecek şekilde total lezyon volumü (TLV) ölçülmü yapıldı. Hastaların yaşları, metastatik kemik lezyonu sayıları (OB, OL, MX, AKİ kemik metastazları), PSA değerleri, new Gleason skorları, TLV, total lezyon aktivitesi (TLA: SUV<sub>mean</sub> × TLV), lezyon bazında TLV ve lezyon bazında TLA (lezyon tipi SUV<sub>mean</sub> × lezyonun volumü) arasında IBM SPSS Statistics 25 kullanılarak Spearman korelasyon analizi yapıldı.

**Bulgular:** Yetmiş üç hastada toplam 662 kemik metastazı vardı. Bu metastazlar içerisinde 53 hastada 315 lezyon (%72,6) OB, 22 hastada 41 lezyon (%30,1) OL, 37 hastada 223 lezyon (%50,7) AKİ ve 23 hastada 83 lezyon da (%31,5) MX karakterde idi. PSA düzeyi ile OB, OL ve MX lezyonlarının sayısı, TLV'si ve TLA'sı arasında istatistiksel olarak anlamlı

bir korelasyon bulunmazken, PSA ile AKİ lezyonlarının sayısı ( $\rho=0,326$ ,  $p=0,049$ ), TLV'si ( $\rho=0,384$ ,  $p=0,019$ ) ve TLA'sı ( $\rho=0,434$ ,  $p=0,07$ ) arasında istatistiksel olarak anlamlı bir korelasyon bulundu. Tek başına veya diğer metastaz türleri ile kombine olsun AKİ lezyon bulunan 37 hastanın TLV ve TLA değerleri, AKİ dışı (OB, OL ve/veya MX) lezyon bulunan 36 hastanın değerlerinden istatistikler olarak anlamlı yüksek bulundu ( $p<0,001$ ).

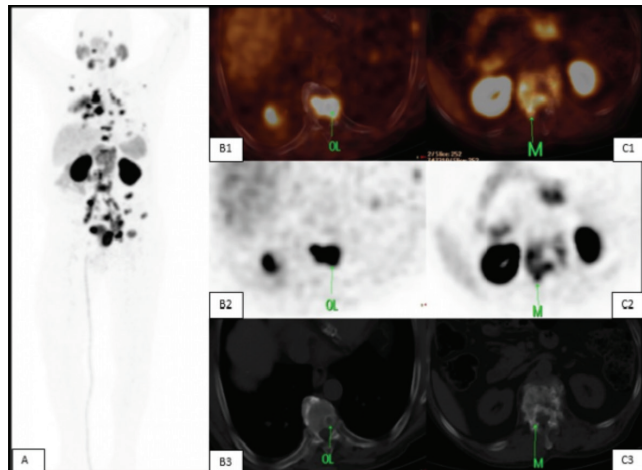
**Sonuç:** Ga-68 PSMA tetkiki ile birlikte PCa hastalarında sadece sklerotik metastaz değil aynı zamanda litik, mikst ve anatomik karşılığı olmayan metastazların da görülebileceği anlaşılmıştır. AKİ metastazlar tümör hücrelerinin henüz kemik iliğinde olduğu erken dönemde bulgusu olduğundan bu lezyonların ağırlıklı bulunduğu hastalarda tümör volümü ve total lezyon PSMA ekspresyon düzeyleri diğer metastaz tiplerine göre anlamlı yüksek bulunmaktadır. PSA düzeyleri ile anatomik karşılığı olmayan lezyon sayısı arasında anlamlı bir pozitif korelasyon bulunması PSA değerlerinin öncelikle erken dönemde kemik metastazlarında tümör yükünü göstermede anlamlı olabileceğini göstermektedir.

**Anahtar Kelimeler:** Ga-68 PSMA, pozitron emisyon tomografisi/bilgisayarlı tomografi, prostat kanseri, kemik metastazı



**Şekil 1.** Altmış dokuz yaşında prostat kanseri teşhisi konulan evreleme amacıyla Ga-68 PSMA PET/BT çalışması yapılan hastanın MIP görüntülerinde (A) yaygın kemik metastazları izleniyor. Aksiyel füzyon ve PET görüntülerde (sırasıyla; B1 ve B2) sağ femur proksimal kesiminde aksiyel BT'de (B3) anatomik karşılığı izlenmeyen (AKİ) ve sağ tuber ischiadicumda aksiyel BT'de (B3) osteoblastik (OB) olarak izlenen metastazlara ait Ga-68 PSMA tutulumu izleniyor

PSMA: Prostat spesifik membran antijen, PET/BT: Pozitron emisyon tomografisi/bilgisayarlı tomografi, MIP: Maksimum yoğunlukta projeksyon



**Şekil 2.** Yetmiş iki yaşında prostat kanseri teşhisi konulan evreleme amacıyla Ga-68 PSMA PET/BT çalışması yapılan hastanın MIP görüntülerinde (A) yaygın kemik metastazları izleniyor. Hastanın torakal 8. vertebra korpusunda aksiyel füzyon ve PET görüntülerde (sırasıyla; B1 ve B2) Ga-68 PSMA tutulumu izleniyor. Aksiyel BT görüntüsünde (B3) ilgili alanda osteolitik lezyon (OL) izleniyor. Aynı hastanın lumbal 1. vertebra korpusunda füzyon ve PET görüntülerde (sırasıyla; C1 ve C2) Ga-68 PSMA tutulumu izleniyor. BT görüntüsünde (C3) ilgili alanda osteolitik ve osteosklerotik alanların birlikte olduğu mikst lezyon (M) izleniyor

PSMA: Prostat spesifik membran antijen, PET/BT: Pozitron emisyon tomografisi/bilgisayarlı tomografi, MIP: Maksimum yoğunlukta projeksyon

**Tablo 1. Hasta karakteristikleri**

Karakteristikler (n)	n (%)
Yaş (n=73), y	67±7,86 (aralık: 51-80)
PSA (ng/ml)	21,65 (aralık: 5-664)
Gleason skor (n=73)	
Grup 1	6 (%8,2)
Grup 2	7 (%9,6)
Grup 3	12 (%16,4)
Grup 4	11 (%15,1)
Grup 5	37 (%50,7)
Total kemik metastazi sayısı (n=73, lezyon N:662)	2±9,6 (aralık: 1-44)
OB metastaz sayısı (n=53, lezyon N:315)	2±7,6 (aralık: 1-31)
OL metastaz sayısı (n=22, lezyon N:41) 1,5±1,0 (aralık: 1-4)	1,5±1,0 (aralık: 1-4)
MX metastaz sayısı (n=23, lezyon N:83)	2±5,6 (aralık: 1-27)
AKİ metastazı sayısı (n=37, lezyon N:223)	3±6,1 (aralık: 1-31)
TTV (n=73)	27,5±235,9 (aralık: 0,45-1157)
TLA (n=73)	144,1±1685 (aralık: 0,42-9805,6)
PSA: Prostat spesifik antijen, OB: Osteoblastik, OL: Osteolitik lezyon, MX: Mikst, AKİ: Anatomik karşılığı izlenmeyen, TLA: Total lezyon aktivitesi	

**[SS-018]****Prostat Kanserlerinde Abira/Enza Tedavi Yanıtında, Wholebody Volumetrik PET/BT ile PSA Yanıtının Değerlendirilmesi**

Canan Can<sup>1</sup>, Cihan Gündoğan<sup>1</sup>, Özgen Ahmet Yıldırım<sup>2</sup>, Kerem Poyraz<sup>3</sup>, Yunus Güzel<sup>1</sup>, Halil Kömek<sup>1</sup>

<sup>1</sup>Sağlık Bilimleri Üniversitesi, Gazi Yaşargil Eğitim ve Araştırma Hastanesi, Nükleer Tıp Kliniği, Diyarbakır

<sup>2</sup>Sağlık Bilimleri Üniversitesi, Gazi Yaşargil Eğitim ve Araştırma Hastanesi, Tıbbi Onkoloji Kliniği, Diyarbakır

<sup>3</sup>Sağlık Bilimleri Üniversitesi, Gazi Yaşargil Eğitim ve Araştırma Hastanesi, Radyasyon Onkolojisi Kliniği, Diyarbakır

**Amaç:** Bu çalışmadaki amacımız, abirateron/enzalutamide tedavisi alan prostat kanserli hastalarda (PCa) biyokimyasal yanıt ile galyum (Ga)-68 prostat spesifik membran antijeni (PSMA) pozitron emisyon tomografi/bilgisayarlı tomografiden (PET/BT) elde edilen metabolik ve hacim tabanlı tüm vücut parametrelerinin tedavi yanıt uyumunu değerlendirmektir.

**Yöntem:** Çalışmamızına Mayıs 2016 ve Aralık 2019 arasında kliniğimizde Ga-68-PSMA PET/BT çekimi yapılan, abirateron veya enzalutamide tedavisi öncesi ve sonrasında ait görüntülemeleri bulunan 84 PCa'lı hasta dahil edildi. Tüm hastaların tedavi öncesi ve sonrası prostat spesifik antijen (PSA) değerleri, tüm vücut metabolik tümör volümü (MTVw), tüm vücut total lezyon PSMA (TLPw), en yüksek SUV<sub>peak</sub> (HSUV<sub>peak</sub>) değerleri ile yüzde PSA değişimi ( $\Delta$ PSA), yüzde MTV değişimi ( $\Delta$ MTV),  $\Delta$ TLP ve  $\Delta$ HSUV<sub>peak</sub> değerleri hesaplandı. PSMA tutan herhangi bir patolojik lezyonun görülmemesi tam yanıt (TY);  $\Delta$ MTV,  $\Delta$ TLP ve  $\Delta$ HSUV<sub>peak</sub> <%30 olmasa parsiyel yanıt (PY), ≥%30 olması progresif hastalık (PH) ve %0-29 and %0+29 arasında değişmesi stabil hastalık (SH) olarak kabul edildi. Biyokimyasal yanıt için TY: PSA seviyesi 0 ng/mL, PY:  $\Delta$ PSA <%50, PH:  $\Delta$ PSA ≥%25 ve %0-49 ile %0+24 arasında olması SH olarak değerlendirildi. Tedavi yanıtlarının değerlendirilmesi Cohen's kappa uyum testi ile yapıldı.

**Bulgular:** Çalışmamızına alınan hastalarımızın medyan yaşı 73 (54-88) idi. On hasta radikal prostatektomili olup 84 hastada kemik metastazı, 45 hastada lenf nodu ve 6 hastada visseral metastaz saptandı.  $\Delta$ PSA tedavi yanıtına göre 25 hastada PY, 19 SH, 40 PH izlendi.  $\Delta$ MTV tedavi yanıtına göre 3 hastada TY, 23 hastada PY, 21 SH ve 37 PH izlendi.  $\Delta$ TLP 3 hastada TY, 26 hastada PY, 17 SH, 38 PH izlendi. PSA yanıtı ile MTVw tedavi yanıtını arasında, istatistikî anlamlı orta derecede uyum bulundu ( $k$ : 0,416,  $p$ <0,001). PSA yanıtı ile TLPw yanıtı birlikte değerlendirildiğinde istatistikî anlamlı orta derecede uyum bulundu ( $k$ : 0,448,  $p$ <0,001).

**Sonuç:** Çalışmamızda abirateron/enzalutamide tedavi yanıtını değerlendirmede biyokimyasal yanıt ile tüm vücut volumetrik Ga-68-PSMA PET/BT parametreleri olan  $\Delta$ TLP ve  $\Delta$ MTV yanımının istatistikî anlamlı orta derecede uyum gösterdiği izlenmiştir.

**Anahtar Kelimeler:** Prostat kanseri, PSA, PSMA, wholebody MTV, total lezyon PSMA, abirateron/enzalutamide

**Tablo 1. PSA ve hacim tabanlı PSMA PET parametrelerinden elde edilen tedavi yanıt uyumunun kappa testi ile karşılaştırılması**

				ΔPSA yanıt	Total	Cohen's kappa	
		PY	SH	PH		k	p
ΔTLP yanıt	TY	2	0	1	3	0,448	<0,001
	PY	18	7	1	26		
	SH	3	6	8	17		
	PH	2	6	30	38		
Total		25	19	40	84		
ΔMTV yanıt	TY	2	0	1	3	0,416	<0,001
	PY	15	7	1	23		
	SH	6	7	8	21		
	PH	2	5	30	37		
Total		25	19	40	84		
ΔH <sub>peak</sub> yanıt	TY	2	0	1	3	0,366	<0,001
	PY	14	6	7	27		
	SH	8	10	8	26		
	PH	1	3	24	28		
Total		25	19	40	84		

PSA: Prostat spesifik antijen, PSMA: Prostat spesifik membran antijeni PET: Pozitron emisyon tomografi, PY: Parsiyel yanıt, SH: Stabil hastalık, PH: Progresif hastalık, TLP: Tüm vücut total lezyon, TY: Tam yanıt, MTV: Metabolik tümör volümü

**[SS-019]****Mesane Kanseri Yeniden Evreleme Sürecinde Zorlu Diürez Eşliğinde Geç Dönem FDG PET/BT Görüntülemenin Tanısal Değeri**

Sibel Göksel<sup>1</sup>, Ogün Bülbül<sup>1</sup>, Hüseyin Eren<sup>2</sup>

<sup>1</sup>Recep Tayyip Erdoğan Üniversitesi Tıp Fakültesi, Nükleer Tıp Anabilim Dalı, Rize

<sup>2</sup>Recep Tayyip Erdoğan Üniversitesi Tıp Fakültesi, Uroloji Anabilim Dalı, Rize

**Amaç:** Pozitron emisyon tomografi/bilgisayarlı tomografi (PET/BT) görüntülemeye mesanede fluorodeoksiglukozun (FDG) üriner sistem yolu ile atılımı nedeni ile, yoğun fizyolojik FDG tutulumu izlenir. İv furosemid ve oral hidrasyon ile sağlanan zorlu diürez eşliğinde alınan geç pelvik PET/BT görüntüleme, mesane kanserlerinde evreleme/yeniden evrelemede primer lezyonun kalitatif-kantitatif değerlendirimesinde oldukça başarılıdır. Çalışmamızın amacı, mesane kanseri hastalarında, iv diüretik ve oral hidrasyon sonrası alınan geç pelvik PET/BT görüntülerinin yeniden evreleme sürecine katkısını değerlendirmektir.

**Yöntem:** Çalışmada mesane kanseri tanısı olan ve yeniden evreleme endikasyonu ile PET/BT çekimi yapılan toplam 33 hasta (%81,8 erkek, ortalama yaşı: 69,1±8,9) retrospektif olarak değerlendirildi. Hastaların %78,8'inde transüretral rezeksiyon (TUR), %21,2'sinde total sistektomi + üriner diversiyon öyküsü mevcuttu. TUR uygulanan hastaların hepsi standart PET/BT çekiminden hemen sonra iv furosemid ve oral hidrasyon uygulanıp, FDG enjeksiyonu sonrası 120. dk'de geç pelvik PET/BT görüntüleme yapılmıştır. Tüm hastaların 60. dk'de alınan standart görüntüleme ve 120. dk'de alınan geç pelvik görüntülemeleri

değerlendirilmiş ve rezidü/nüks mesane lezyonu, lenf nodu/uzak metastazı olanlar not edilmiştir.

**Bulgular:** Hastaların %90,9'u üreteral karsinom (ÜK), %9,1'i nöroendokrin karsinom (NEK) tanısına sahipti. Sadece 3 (%9,1) hastanın standart PET/BT görüntülemesinde mesane lezyonu kalitatif olarak değerlendirilebilirken, alınan geç pelvik PET/BT'de toplam 23 (%69,7) hastanın rezidü/nüks mesane lezyonu kalitatif/kantitatif olarak değerlendirilebildi. Total sistektomi öyküsü olan hastalarda geç pelvik görüntüleme yapılmamakla birlikte, 60. dk'de alınan onkolojik PET/BT görüntülemeye bu hastaların lenf nodu/uzak metastaz varlığı değerlendirildi. Geç dönem görüntülerde mesane duvarında rezidü/nüks lezyon saptanan 23 hastanın 21'inin (%91,3) patolojisi ÜK iken, 2 (%8,7) hasta NEK tanısına sahipti. Mesane lezyonlarının geç dönemde SUV<sub>max</sub> değerlerine bakıldığından, hasta sayısı az olduğundan istatistiksel bir karşılaştırma yapılmaması da; NEK (ortalama SUV<sub>max</sub>:39,4) tanısına sahip hastaların mesane lezyonlarının ort SUV<sub>max</sub> değeri, ÜK (ortalama SUV<sub>max</sub>:17,7) olana göre belirgin yüksek saptandı. Erken ve geç görüntülemeye mesane lezyonu izlenmeyen bir hastanın geç dönem görüntülerinde pelvik metastatik lenf nodu saptandı. Uzak metastaz bulgularının her iki görüntülemeye benzer patern gösterdiği izlendi. En sık uzak organ metastazının akciğer (%24,2) ve 2. sıklıkta kemik (%15,2) olduğu görüldü.

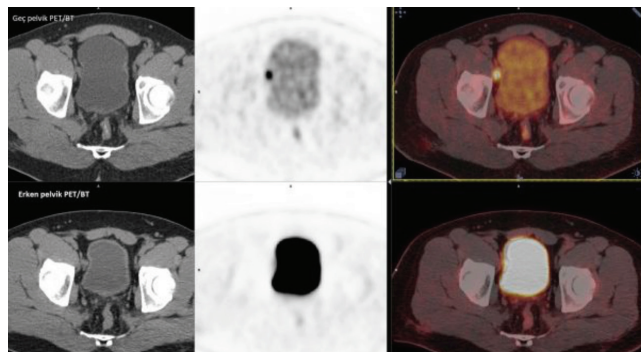
**Sonuç:** Mesane kanserinde, iv diüretik ve oral hidrasyon sonrası alınan geç pelvik PET/BT görüntüleme, evreleme/yeniden evrelemeye tanıya dramatik katkı sağlar. Hastaların klinik seyrinde en doğru seçeneğin belirlenmesinde yol göstericidir.

**Anahtar Kelimeler:** FDG PET/BT, geç görüntüleme, hidrasyon, iv diüretik, mesane kanseri

Tablo 1. Öncesi ve tedavisi sonrası PET/BT bulguları

Hasta	Cinsiyet	Histopatolojik	Operasyon	Mesane Dösem		PLNM	UM	Mesane lezyon Sıkılık (geç dösem)		Geç PET/BT Tümör Sıkılık/lersev Sıkılık (geç dösem)		UM	UM lokalizasyonu
				Erken	Gec			Tümör	Uzak	Uzak	Uzak		
1	Erkek	ÜK	TUR	-	+	+	+	-	15,5	1,5	-	+	Akciğer
2	Erkek	ÜK	TUR	-	-	-	-	+	21,7	1,3	-	-	-
3	Kadın	ÜK	TUR	-	-	-	-	+	11,5	0,9	-	-	-
4	Erkek	ÜK	TUR	-	-	-	-	+	12,9	1,1	-	-	-
5	Erkek	ÜK	TUR	-	-	-	-	+	14,5	1,2	+	+	Akciğer, metastatik mesenterik kükürt lenf nodu
6	Erkek	ÜK	TUR	-	-	-	-	-	34,2	4,1	-	-	-
7	Erkek	ÜK	TUR	-	-	-	-	+	25,1	3,9	+	+	Kervik
8	Erkek	ÜK	TUR	-	-	-	-	+	24,9	3,4	+	+	Kervik
9	Erkek	ÜK	TUR	-	-	-	-	+	-	-	-	-	-
10	Kadın	ÜK	TUR	-	-	-	-	+	5,7	1,7	+	+	-
11	Kadın	ÜK	TUR	-	-	-	-	+	6,9	1,3	-	-	-
12	Erkek	ÜK	TUR	-	-	-	-	+	5,3	1,1	+	+	-
13	Erkek	ÜK	TUR	-	-	-	-	+	27,3	4,1	+	+	Kervik
14	Erkek	ÜK	TUR	-	-	-	-	+	7,3	1,6	-	-	-
15	Erkek	ÜK	TUR	-	-	-	-	+	11,7	2,8	-	-	-
16	Erkek	ÜK	TUR	-	-	-	-	+	19,1	3,9	+	+	Kervik
17	Erkek	ÜK	TUR	-	-	-	-	+	20,3	4,5	+	+	Prostat
18	Erkek	ÜK	TUR	-	-	-	-	-	-	-	-	-	-
19	Erkek	ÜK	TUR	-	-	-	-	+	12,6	3,5	-	-	-
20	Kadın	ÜK	TUR	-	-	-	-	+	22,8	3,1	+	+	Akciğer, kervik metastatik lenf nod
21	Erkek	ÜK	TUR	+	-	-	-	+	28,7	3,9	-	-	-
22	Erkek	ÜK	TUR	+	-	-	-	+	21,9	3,2	+	+	Akciğer, kervik
23	Erkek	ÜK	TUR	+	-	-	-	+	26,9	3,2	+	+	Akciğer
24	Erkek	NEK	TUR	-	+	-	-	+	31,2	3,2	+	+	Akciğer, metastatik ingozial lenf nod, prostat
25	Erkek	NEK	TUR	-	-	-	-	+	47,6	4,9	-	-	-
26	Erkek	NEK	TUR	-	+	-	-	+	-	-	+	+	Akciğer, kervik, kervik
27	Erkek	ÜK	TS	None	-	None	None	None	None	None	-	-	-
28	Erkek	ÜK	TS	None	-	None	None	None	None	None	-	-	-
29	Kadın	ÜK	TS	None	-	None	None	None	None	None	-	-	-
30	Erkek	ÜK	TS	None	-	None	None	None	None	None	-	-	-
31	Kadın	ÜK	TS	None	-	None	None	None	None	None	-	-	-
32	Erkek	ÜK	TS	None	-	None	None	None	None	None	+	+	Akciğer

Resim 1. Hastaların iv diüretik ve oral hidrasyon öncesi ve sonrası PET/BT bulguları  
PET/BT: Pozitron emisyon tomografi/bilgisayarlı tomografi



Resim 2. Erken PET/BT görüntülerinde mesane yüksek FDG uptake'sı nedeniyle pelvik lenf nodu metastazı seçilemeye, geç pelvik PET/BT görüntülerinde sağ perivezikal lenf nodu metastazı saptanan hastaya ait erken-geç pelvik PET/BT görüntüler

PET/BT: Pozitron emisyon tomografi/bilgisayarlı tomografi, FDG: Flurodeoksiglukoz

## [SS-020]

### Baş-boyun Kanserli Hastalarda Tedavi Yanıtı Değerlendirmede FDG PET/BT ve MR Görüntüleme

Müge Nur Engin<sup>1</sup>, Funda Aydin<sup>1</sup>, Eda Tezel<sup>2</sup>, Ayça Arçay ÖzTÜRK<sup>1</sup>, Ceyda Nur Dündar Çağlayan<sup>1</sup>, Kamil Karaali<sup>2</sup>, Ali Murat Tatlı<sup>3</sup>, Mine Genç Özay<sup>4</sup>

<sup>1</sup>Akdeniz Üniversitesi Tıp Fakültesi, Nükleer Tıp Anabilim Dalı, Antalya

<sup>2</sup>Akdeniz Üniversitesi Tıp Fakültesi, Radyoloji Anabilim Dalı, Antalya

<sup>3</sup>Akdeniz Üniversitesi Tıp Fakültesi, Tıbbi Onkoloji Bilim Dalı, Antalya

<sup>4</sup>Akdeniz Üniversitesi Tıp Fakültesi, Radyasyon Onkolojisi Anabilim Dalı, Antalya

**Amaç:** Baş boyun tümörleri, kansere bağlı ölümlerin %5,3'üne sebep olmaktadır. Primer tümörün tedavisinde cerrahi, kemoterapi ve radyoterapinin kombini edildiği yaklaşım tercih edilmekte olup farklı tedavi modalitelerine bağlı primer tümör alanında gelişen anatomi değişiklikler ve artefaktlar nedeniyle tedavi yanıtını değerlendirmek için tercih edilecek yöntemin seçimi de zorlaşmaktadır. Bu çalışmada baş-boyun kanserli hastalarda primer tümörün tedavi yanıtını değerlendirmede florodeoksiglukoz (FDG) pozitron emisyon tomografi/bilgisayarlı tomografi (PET/BT) ve manyetik rezonsans görüntülemenin (MRG) duyarlılık ve özgünlüklerini ortaya koymak ve PET ile MRG parameterlerini karşılaştırmak amaçlandı.

**Yöntem:** Kasım 2015-Mart 2020 tarihleri arasında baş boyun tümörü nedeniyle evreleme ve tedavi yanıt değerlendirme amaçlı Akdeniz Üniversitesi Tıp Fakültesi Nükleer Tıp ve Radyoloji bölümlerine başvuran 37 hastaya (10 K, 27 E) ait FDG PET/BT ve MR görüntüleri retrospektif olarak değerlendirildi. Her iki görüntüleme için yapılan vizuel ve kantitatif değerlendirme ile tedavi yanıt; tam yanıt, kısmi yanıt, stabil hastalık ve progresyon olarak sınıflandırıldı. Evreleme ve tedavi sonrası çekilen FDG PET/BT görüntüleri üzerinden primer tümöre ait SUV<sub>max</sub>, SUV<sub>mean</sub>, metabolik tümör volumü (MTV) ve total lezyon glikolikoz (TLG); MRG'ler üzerinden ise ADC<sub>mean</sub> değerleri hesaplandı. İstatistiksel analizler IBM SPSS Statistics versiyon 23 programı ile yapıldı. Tedavi sonrası alınan görüntülerin korelasyonu, bulunan hastalarda patoloji ile diğerlerinde ise klinik ve radyolojik takip bulguları ile gerçekleştirildi.

**Bulgular:** Çalışmaya dahil edilen 37 hastadan 15'i (%40) nazofarenks, 10'ı (%27) oral kavite, 7'si (%18) orofarenks, 3'ü (%8) hipofarenks, 2'si (%5) ise larenks karsinomu tanıydı. Otuz yedi hastanın 30'unda (%81) tedavide kemoterapi ve radyoterapi kombinasyonu, 3 (%8) hastada radyoterapi, 4 (%11) hastada ise kemoterapi protokolü uygulanmıştı ve 14 (%37) hastada

primer tümör cerrahi olarak çıkartılmıştı. Tedavi yanıt görüntülemesi sonrası patolojik korelasyon 13 hastada mevcuttu. Tedavi sonrası çekilen FDG PET/BT ve MRG'leri arasındaki süre ortalama 24 (0-95) gündü. MRG'de difüzyon sekansının artefaktı olması veya belirgin kitle seçilememesi nedeniyle 30 hastanın tedavi öncesi ve 10 hastanın tedavi sonrası  $ADC_{mean}$  değerleri çalışmaya dahil edildi. FDG PET/BT ve MR için duyarlılık sırasıyla; %100 ve %97, özgüllük ise %94 ve %97 olarak hesaplandı. Evreleme görüntülerinde MTV ve  $ADC_{mean}$  değerleri arasında orta düzeyde ( $p=0,031$ ), tedavi sonrası ise güçlü negatif korelasyon bulundu ( $p=0,042$ ). Evreleme görüntüleme parametrelerinden  $SUV_{max}$  değerinin tedavi sonrası progresyon görülen grupta, tam yanıt veren gruba göre anlamlı ölçüde yüksek olduğu saptandı ( $p=0,033$ ).

**Sonuç:** Baş boyun kanserli hastalarda tedavi yanıtını değerlendirmede hem FDG PET/BT hem de MRG duyarlı ve özgül olmakla birlikte bu alanda sıkılıkla görülen artefaktlar nedeniyle MRG'nin yorumlanması zorlaştığı, bu anlamda FDG PET/BT'nin güvenle tercih edilebilir bir yöntem olduğu sonucuna varılmıştır.

**Anahtar Kelimeler:** FDG PET/BT, baş boyun tümörleri, MRG

### [SS-021]

#### Beyin Tümörlerinde F-18 FDG PET/MR Görüntülerinden Elde Edilen Sayısal Parametrelerin Tümör Heterojenitesi ile İlişkisi

Kerim Seker<sup>1</sup>, Emrah Çeltikçi<sup>2</sup>, Uğuray Aydos<sup>1</sup>, Mehmet Arda İnan<sup>3</sup>, Ümit Özgür Akdemir<sup>1</sup>, Lütfiye Özlem Atay<sup>1</sup>

<sup>1</sup>Gazi Üniversitesi Tip Fakültesi, Nükleer Tip Anabilim Dalı, Ankara

<sup>2</sup>Gazi Üniversitesi Tip Fakültesi, Beyin ve Sinir Cerrahisi Anabilim Dalı, Ankara

<sup>3</sup>Gazi Üniversitesi Tip Fakültesi, Tıbbi Patoloji Anabilim Dalı, Ankara

**Amaç:** Bu çalışmada beyin tümörlerinde tümörün metabolik aktivitesinin, hücresel yoğunluğunun ve perfüzyonunun histopatoloji bulguları ile ilişkisinin değerlendirilmesi amaçlanmıştır.

**Yöntem:** Primer veya rekürren beyin tümörü bulunan, 2019-2021 yılları arasında beyin F-18 florodeoksiglikoz (FDG) pozitron emisyon tomografi (PET)/manyetik rezonans (MR) görüntülemesi yapılmış 11 hastadan (ortalama yaş:  $51,5 \pm 18$ ; 7 erkek, 4 kadın) elde edilen toplam 25 biyopsi verisi ve görüntüleme parametreleri retrospektif olarak değerlendirildi. Kantitatif analizde, beyin tümöründen alınan biyopsi odaklarının karşılık geldiği tümör içi lezyonların maksimum standartize tutulum değerleri ( $SUV_{max}$ ), sentrum semiovale düzeyinde kontralateral gri (GC) ve beyaz cevherden (BC) ölçülen  $SUV_{max}$  ve ortalama SUV değerine ( $SUV_{avg}$ ) oranlanarak normalize SUV değerleri ( $SUV_{avg}$ , lezyon/GC  $SUV_{max}$ ;  $SUV_{avg}$ : lezyon/GC  $SUV_{avg}$ ;  $SUV_1$ : lezyon/BC  $SUV_{max}$ ;  $SUV_2$ : lezyon/BC  $SUV_{avg}$ ;  $SUV_3$ : lezyon/BC  $SUV_{max}$ ;  $SUV_4$ : lezyon/BC  $SUV_{avg}$ ) elde edildi. Aynı seanstan alınan MR görüntülerinden lezyonlara ait minimum [apparent diffusion coefficient (ADC),  $b=1,000$ ] değerleri hesaplandı. Ayrıca arteriyel spin labeling görüntüleri bulunan hastalarda normalize perfüzyon indeksi hesaplandı (lezyon ilgi alanı değeri/ipsilateral serebellar ilgi alanı değeri). Beyin tümörlerinden stereotaksik ve nöro-navigasyon teknikleriyle alınan biyopsi sonuçları kaydedildi. Lezyonlar grade 4 tümörler ve diğer tümörler (grade 1-3) olarak iki gruba ayrıldı. İstatistiksel analizler SPSS 23.0 versiyonunda yapıldı.

**Bulgular:** İki hastada 4, bir hastada 3, altı hastada 2, iki hastada ise 1 biyopsi odağı değerlendirildi. İki odakta nekroz ve granülasyon dokusu saptanırken, 5 odakta grade 2, 8 odakta grade 3, 10 odakta ise grade 4 tümör saptandı. Histopatolojik tümör dereceleri arasında  $SUV_{max}$ , normalize SUV değerleri ve  $ADC_{min}$  değerleri yönünden anlamlı farklılık bulundu (Tablo 1). Grade 4 tümör odakları ve diğer tümör odakları karşılaştırıldığında ise, sadece  $SUV_{max}$  ve normalize SUV değerlerinde gruplar arasında anlamlı farklılık

saptandı (Tablo 2). Korelasyon analizinde, SUV değerleri ile  $ADC_{min}$  değerleri arasında orta-yüksek derecede anlamlı negatif korelasyon saptandı [ $R: (-0,73) \text{--} (-0,65)$ ;  $p < 0,001$ ]. Perfüzyon indeks değerlerinin ise sadece  $ADC_{min}$  değerleri ile yüksek derecede anlamlı negatif korelasyon gösterdiği bulundu [ $R: (-0,82)$ ;  $p = 0,023$ ]. Alıcı işletim karakteristiği analizinde grade 4 tümör ayrimında optimum eşik değerleri  $SUV_{max}$ ,  $SUV_1$ ,  $SUV_2$ ,  $SUV_3$  ve  $SUV_4$  için sırasıyla; 9,5, 0,62, 0,84, 2,99 ve 3,79 olarak hesaplandı.

**Sonuç:** Nöroşirürji uzmanları tarafından yapılan glial tümör cerrahileri esnasında alınan biyopsiler tümör içerisinde gelişigüzel odaklardan alınmaktadır. F-18 FDG PET/MR görüntülemesi yapılarak ameliyat öncesi biyopsi örneklerinin belirlendiği çalışmamız göstermiştir ki; F-18 FDG PET/MR görüntüleme yüksek dereceli glial tümör odaklarını belirlemeye oldukça başarılıdır.

**Anahtar Kelimeler:** FDG PET/MR, beyin tümörü, glial tümör, tümör heterojenitesi

**Tablo 1. Kantitatif görüntüleme parametreleri ve histopatolojik tümör grupları arası ilişki**

	Grade 2 tümörler	Grade 3 tümörler	Grade 4 tümörler	P (Kruskal Wallis)
$SUV_{max}$	4.1 (2.3-5.4)	9.8 (3.5-20.3)	12.7 (5.7-24.5)	0.007
$SUV_1$	0.29 (0.2-0.46)	0.72 (0.23-1.6)	1.11 (0.4-2.8)	0.012
$SUV_2$	0.36 (0.29-0.67)	0.91 (0.28-1.93)	1.46 (0.5-3.7)	0.011
$SUV_3$	1.04 (0.75-1.74)	3.12 (1.12-4.9)	3.54 (1.71-9.04)	0.005
$SUV_4$	1.48 (0.88-2.05)	3.85 (1.4-5.7)	4.37 (2.34-11.9)	0.004
$ADC_{min}$ ( $\times 10^{-3}$ mm $^2$ /s)	1.44 (1.19-9.64)	0.87 (0.64-1.12)	0.85 (0.46-1.29)	0.007
Perfüzyon indeksi	0.64 (0.55-0.72)	2.19 (0.7-2.88)	0.67 (0.66-0.68)	0.204

**Tablo 2. Kantitatif görüntüleme parametreleri ve grade 4/diğer tümörler grupları arası ilişki**

	Diğer tümörler	Grade 4 tümörler	P (Mann Whitney U)
$SUV_{max}$	5.44 (2.3-20.3)	12.7 (5.7-24.5)	0.026
$SUV_1$	0.46 (0.2-1.55)	1.11 (0.4-2.82)	0.022
$SUV_2$	0.67 (0.28-1.93)	1.46 (0.5-3.7)	0.016
$SUV_3$	1.91 (0.75-4.9)	3.54 (1.71-9.04)	0.022
$SUV_4$	2.15 (0.88-5.65)	4.37 (2.34-11.9)	0.009
$ADC_{min}$ ( $\times 10^{-3}$ mm $^2$ /s)	1.05 (0.64-9.64)	0.85 (0.46-1.29)	0.137
Perfüzyon indeksi	0.72 (0.55-2.88)	0.67 (0.66-0.68)	0.245

### [SS-022]

#### COVID-19'un F-18 FDG PET/BT Metabolik Parametreleri Üzerine Etkisi

Özge Vural Topuz, Ayşegül Aksu, Burçak Yılmaz

Sağlık Bilimleri Üniversitesi, Başakşehir Çam ve Sakura Şehir Hastanesi, Nükleer Tip Kliniği, İstanbul

**Amaç:** Çalışmamızda, Koronavirüs hastalığı-2019 (COVID-19) enfeksiyonun F-18 florodeoksiglikoz (FDG) pozitron emisyon tomografi/bilgisayarlı tomografi (PET/BT) metabolik parametreleri üzerine etkisi araştırılmıştır.

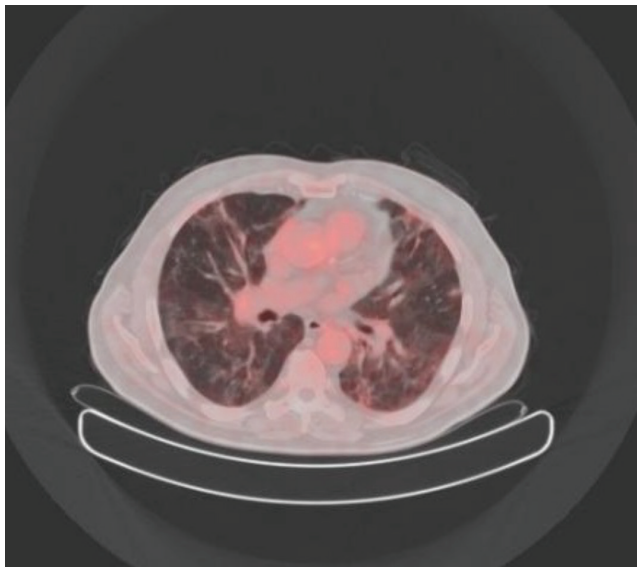
**Yöntem:** Temmuz 2020-Ocak 2021 tarihleri arasında klinikimizde FDG PET/BT çekilen hastalar retrospektif olarak tarandı. FDG PET/BT öncesinde ve en fazla 15 gün sonrasında gerçek zamanlı-polimeraz zinciri reaksiyonu (rt-PCR) testi pozitif olan ve/veya toraks BT ile COVID-19 tanısı alanlar pozitif grup (PG), çekim öncesi ve sonrası 15 günlük periyotta rt-PCR testi negatif olanlar kontrol grubu (KG) kabul edildi. PG kendi içerisinde ayrıca iki alt gruba da ayrıldı: Çekimden 15 gün önce/sonra periyodunda pozitifleşenler PG1; çekimden 30 gün önceinde veya sonrasında 15 gün içerisinde pozitif tanı alanlar PG2 olarak tanımlandı. Hastaların nazofarenks, orofarenks, mediastinal vasküler (MV), mediastinal lenf nodları (MLN), karaciğer (KC),

dalak, deltoid kas (DK), psoas kası, gluteal kas (GK), paraspinal kaslar, humerus ve femur diyaфизi proksimalları, sakrum solu sakroiliak eklem (SIE) komşuğundan SUD<sub>maks</sub> değerleri ölçüldü. Metastatik LN'leri olanlar ile; KG'de akciğer ve baş-boyun maligniteleri olanlar çalışma dışı bırakıldı. Erkeklerde testis bölgesinde ölçümler alındı.

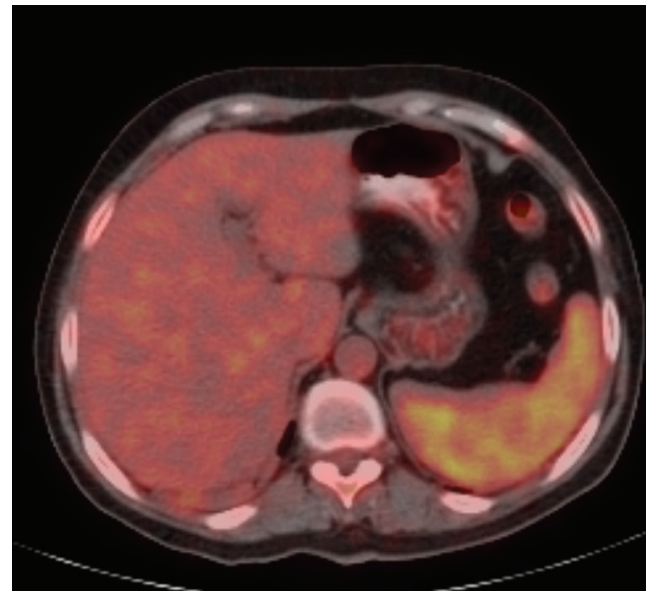
**Bulgular:** Yaş ortalaması  $55 \pm 17$  (2-93) yıl olan 95'i (%49,5) kadın toplam 192 hasta çalışmaya dahil edildi. Doksan (%46,9) hasta PG'de; 102 hasta KG'de idi. COVID-19 tanısı ile FDG PET/BT çekimi arasında ortalama  $59 \pm 76$  (-15-396) gün bulunuyordu. PG'de nazofarenks, MV, MLN, GK, paraspinal kas SUD<sub>maks</sub> değerleri KG'ye göre istatistiksel olarak anlamlı düzeyde yüksek bulundu (sırasıyla;  $p=0,009, 0,012, <0,001, 0,046$  ve  $0,008$ ) (Tablo 1). PG1'de ( $n=23$ ) DK, MV, MLN, KC, dalak, GK, paraspinal, SIE ve femur SUD<sub>maks</sub> değerleri KG'ye göre daha yüksek düzeydeydi (sırasıyla;  $p=0,015, 0,002, <0,001, 0,011, 0,012, <0,001, 0,001, 0,015$  ve  $0,049$ ). PG2'de ( $n=33$ ) ise MV, MLN ve GK SUD<sub>maks</sub> değerleri KG'ye göre daha yüksek idi (sırasıyla;  $p=0,017, <0,001$  ve  $0,006$ ). Testis SUD<sub>maks</sub>'de COVID-19 öyküsü olan ve olmayan hastalar arasında anlamlı fark saptanmadı ( $p=0,752$ ). PG'de 47 hastada (%52,2) akciğer BT görüntülerinde buzlu cam dansitesi izlenmemektedir. Akciğer tutulumu olan ve olmayan PG hastaları arasında MLN, dalak ve SIE SUD<sub>maks</sub> değerlerinde anlamlı farklılık elde edildi (sırasıyla;  $p=0,008, 0,017$  ve  $0,040$ ).

**Sonuç:** Özellikle erken dönemde COVID-19 tanısı almış hastalarda, klinik semptomların da yaygın olarak bulgu verdiği pek çok doku ve organa kontrol grubuna göre belirgin düzeyde yüksek metabolik aktivite bulunması, geç dönemde yine PG'de tanımlanan bazı alanlarda metabolik aktivitenin daha düşük düzeyde izlenmesi hastalığın tanıtımını ve tedaviye yanıt sürecinde FDG PET/BT parametrelerinin de kullanılabileceğini düşündürmektedir. Hastalığın прогнозunu belirleyen en önemli faktörlerden biri olan akciğer tutulumu ile eş zamanlı olarak dalak gibi bazı doku ve organlarda daha yüksek metabolik aktivite görülmesinin prognostik değerinin prospektif çalışmalar ile araştırılması önemlidir.

**Anahtar Kelimeler:** FDG PET/BT, COVID-19, SUD<sub>maks</sub>



**Resim 1.** Pozitif gruptaki bir hastanın FDG PET/BT görüntülerinde akciğerdeki dansite artışı  
FDG: Florodeoksiglukoz, PET/BT: Pozitron emisyon tomografi/bilgisayarlı tomografi



**Resim 2.** Pozitif grup 1'deki bir hastanın FDG PET/BT görüntülerinde dalakta izlenen artmış FDG tutulumu

FDG: Florodeoksiglukoz, PET/BT: Pozitron emisyon tomografi/bilgisayarlı tomografi

**Tablo 1. Pozitif gruplar (PG; PG1; PG2) ile kontrol grubu arasındaki SUD<sub>maks</sub> değerlerinin istatistiksel analizi**

SUD <sub>maks</sub>	PG/KG (90/102) (p:)	PG1/KG (23/102) (p:)	PG2/KG (33/102) (p:)
Nazofarenks	0,009	0,230	0,129
Orofarenks	0,309	0,536	0,616
Deltoid kası	0,167	0,015	0,264
Mediastinal vasküler	0,012	0,002	0,017
Mediasten lenf nodu	<0,001	<0,001	<0,001
Karaciğer	0,161	0,011	0,078
Dalak	0,817	0,034	0,115
Psoas kası	0,503	0,283	0,761
Gluteal kas planları	0,046	<0,001	0,006
Femoral kas planları	0,466	0,454	0,505
Paraspinal kas	0,008	0,001	0,060
Humerus diyaфизi proksimalı	0,523	0,444	0,637
Sakrum solu sakroiliak eklem komşuğu	0,200	0,015	0,060
Femur diyaфизi proksimalı	0,236	0,049	0,224

PG: Pozitif grup, KG: Kontrol grup

## [SS-023]

**Rezektabl Pankreas Kanserinde Metabolik PET/BT Parametrelerinin Prognoz ile Sağkalım Analizine Katkısı**

Özgül Ekmekcioğlu<sup>1</sup>, Muharrem Battal<sup>2</sup>, Özgür Bostancı<sup>2</sup>,  
Banu Yılmaz Özgüven<sup>3</sup>

<sup>1</sup>Sağlık Bilimleri Üniversitesi, İstanbul Şişli Hamidiye Etfal Eğitim ve Araştırma Hastanesi, Nükleer Tip Kliniği, İstanbul

<sup>2</sup>Sağlık Bilimleri Üniversitesi, İstanbul Şişli Hamidiye Etfal Eğitim ve Araştırma Hastanesi, Hepatobilier Cerrahi Kliniği, İstanbul

<sup>3</sup>Sağlık Bilimleri Üniversitesi, İstanbul Şişli Hamidiye Etfal Eğitim ve Araştırma Hastanesi, Patoloji Kliniği, İstanbul

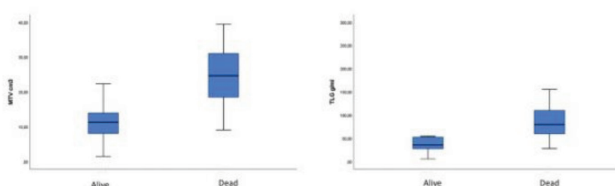
**Amaç:** Pankreas adenokarsinom hastalarında evre ve opere edilebilir olması prognosu etkileyen faktörlerdir. Florodeoksiglikoz (FDG) pozitron emisyon tomografi/bilgisayarlı tomografi (PET/BT) pankreas kanseri evrelemesinde başarılı bir görüntüleme yöntemi olarak kullanılmaktadır. Metabolik parametreler olan  $SUV_{\text{maks}}$ , metabolik tümör volümü ve total lezon glikoliz değeri PET/BT görüntülemesinde hastalıkın prognozu hakkında bilgi veren ölçümlerdir. Çalışmamızda evreleme amaçlı FDG PET/BT görüntülemesi yapılan pankreas adenokarsinom hastalarından opere edilebilen grupta, prognos ve sağkalım ile PET/BT parametrelerini karşılaştırmayı amaçladık.

**Yöntem:** 2015-2020 tarihleri arasında birimimize başvuran pankreas adenokarsinom tanılı FDG PET/BT görüntülemesi yapılan hastalar retrospektif olarak incelendi. Uzak metastazı olanlar ve tedavi alan hastalar gruptan çıkarıldı. Opere edilen hastalardan 39 olgunun demografik bilgileri, PET/BT sonrası sağkalım süreleri, klinik ve post-op patoloji içeren diğer bilgileri incelendi. FDG PET/BT görüntülerinden primer tümöre ait metabolik tümör volümü,  $SUV_{\text{maks}}$  ve total lezon glikoliz değerleri hesaplandı.

**Bulgular:** Yirmi dört kadın ve 15 erkek hastaya ait yaş ortalaması  $66,62 \pm 9,60$  olarak hesaplandı. Primer tümör ortalama  $SUV_{\text{maks}}$ , metabolik tümör volümü (MTV) %40 ve total lezon glikoliz (TLG) değerleri sırasıyla  $6,28 \pm 2,33$ ,  $19,33 \pm 9,77$  ve  $66,56 \pm 45,99$  olarak hesaplandı. Hastalık tanısı alındıktan sonra hesaplanan ortalama sağkalım süresi  $18,97 \pm 11,47$  (2-55) ay olarak bulundu. MTV ve TLG değerleri çalışma sırasında ölen hasta grubunda anlamlı olarak yüksek izlendi.  $SUV_{\text{maks}}$  değerinin mortaliteye istatistiksel olarak anlamlı bir etkisi bulunduğu saptandı. Ayrıca çalışma grubumuzdaki hastalarda patoloji bulgularından elde edilen tümör grade ve perinöral invazyon bulguları ile sağkalımı arasında anlamlı ilişki izlendi.

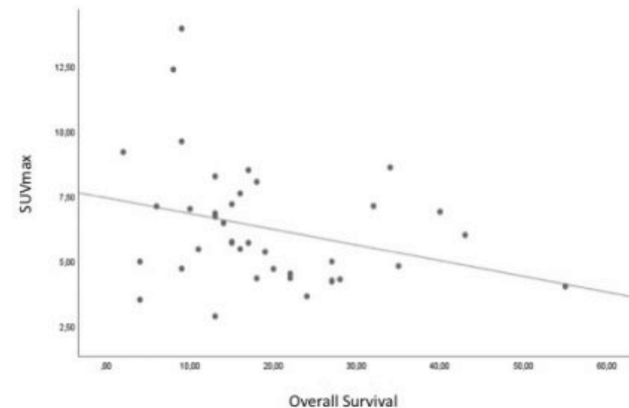
**Sonuç:** FDG PET/BT görüntülemesinde hesaplanan metabolik tümör parametreleri pankreas kanseri evrelemesinde hastalıkın prognosunu ve sağkalımı öngörmeye anlamlı katkıda bulunmaktadır.

**Anahtar Kelimeler:**  $SUV_{\text{maks}}$ , pankreas kanseri, MTV, TLG



**Resim 1.** MTV ve TLG

MTV: Metabolik tümör volümü, TLG: Total lezon glikoliz



**Resim 2.**  $SUV_{\text{maks}}$

## [SS-024]

**TVT'si Negatif Papiller Tiroid Kanserli Hastalarda Tümör Belirteçleri ile F-18 FDG PET/BT İlişkisi**

Mustafa Erol

Konya Şehir Hastanesi, Nükleer Tip Kliniği, Konya

**Amaç:** Düşük doz radyoaktif iyot-131 (RAI) tüm vücut tarama sintigrafisi (TVT) negatif olan papiller tiroid karsinom (PTK) tanılı hastalarda, nüks odağını saptamada F-18 florodeoksiglikoz (FDG) pozitron emisyon tomografi/bilgisayarlı tomografi (PET/BT) ile serum tiroglobulin (Tg) ve Tg antikor (Tg Ab) değerleri arasındaki ilişki araştırıldı.

**Yöntem:** 01.01.2008-31.12.2019 tarihleri arasında total veya totale yakın tiroidektomi sonrası yüksek doz RAI (100-200 mCi) ile tedavi edilen PTK tanılı 40 hastanın tedavi sonrası 6 ay-5 yıl arası takiplerde tiroid stimule edici hormon (TSH) uyarımı altında yapılan TVT'si negatif olan ve F-18 FDG PET/BT çekilen hastaların verileri retrospektif olarak incelendi. F-18 FDG PET/BT görüntülemeye saptanan tüm lezonlara histopatolojik inceleme yapıldı. Tarama dönemindeki TSH uyarımı altında ölçülen serum Tg değerleri 2 ng/ml'den yüksek olanlar ile serum Tg Ab değerleri 20 IU/ml'den yüksek olanlar biyokimyasal olarak pozitif kabul edildi. Hastalar serum Tg pozitif olanlar, serum Tg Ab pozitif olanlar ve her ikisi de negatif olmak üzere 3 gruba ayrıldı. Her gruptaki hastalar F-18 FDG PET/BT bulgularının pozitif veya negatif olmasına göre karşılaştırıldı.

**Bulgular:** Çalışmaya 30'u kadın, 10'u erkek; ortalama yaşı  $49,4 \pm 21,7$  olan toplam 40 hasta dahil edildi. F-18 FDG PET/BT taramada 21 hastada pozitif bulgu saptanırken, 19 hasta herhangi bir bulguya rastlanmadı. F-18 FDG PET/BT'de pozitif bulgu saptanın 21 hastanın 16'sında histopatolojik olarak PTK metastazı bulunurken, 5 hasta malignite saptanmadı. F-18 FDG PET/BT'de pozitif bulgu izlenmeye 19 hastanın 11'inde boyun ultrasonografide şüpheli lezon saptanmış olup bu lezonlarda histopatolojik olarak malignite saptanmadı. F-18 FDG PET/BT negatif olan 8 hastada ise diğer görüntüleme yöntemleriyle ve serum Tg ile Tg Ab düzeyleri takibinde metastaz düşündürücük bulgu izlenmedi. Kırk hastanın 19'unda serum Tg seviyesi ile 13'ünde Tg Ab seviyesi pozitif olmasına rağmen, 8 hastada hem serum Tg seviyeleri hem de Tg Ab seviyeleri negatif olarak izlendi. Serum Tg düzeyleri pozitif olan 19 hastanın 13'ünde F-18 FDG PET/BT'de pozitif bulgu izlenirken 6 hasta herhangi bir bulguya rastlanmadı. Serum Tg Ab düzeyleri pozitif olan 13 hastanın 6'sında F-18 FDG PET/BT'de pozitif bulgu izlenirken 7 hasta herhangi bir bulguya rastlanmadı. Serum Tg düzeyleri

ve serum Tg Ab düzeyleri her ikisi de negatif olan 8 hastanın 2'sinde F-18 FDG PET/BT'de pozitif bulgu izlenirken 6 hastada herhangi bir bulguya rastlanmadı. Yapılan alıcı işletim karakteristiği analizinde Tg pozitif grup içerisinde PET pozitifliğini saptamadaki Tg kesim değeri; %84,6 duyarlılık ve %83,3 özgürlük ile 3,18 ng/mL olarak bulundu.

**Sonuç:** Çalışmanın sonuçlarına göre düşük doz RAI-131 TVT sonuçları negatif, Tg veya Tg Ab düzeyleri yüksek olan, diğer görüntüleme sonuçları şüpheli veya belirsiz olan PTK'lı hastalarda hastalığın nüksünü tanımlamada F-18 FDG PET/BT yararlı bir görüntüleme yöntemidir.

**Anahtar Kelimeler:** Papiller tiroid kanseri, flor-18 flurodeoksiglukoz, tiroglobulin, tiroglobulin antikoru

### [SS-025]

#### F-18 FDG PET/BT'de Medulla Spinaliste İnsidental Olarak Tespit Edilen Artmış FDG Tutulumlarının Karakterizasyonu

Özlem Şahin<sup>1</sup>, Mustafa Serdengeçti<sup>2</sup>

<sup>1</sup>Necmettin Erbakan Üniversitesi Meram Tıp Fakültesi, Nükleer Tıp Anabilim Dalı, Konya

<sup>2</sup>Aksaray Üniversitesi Tıp Fakültesi, Nükleer Tıp Anabilim Dalı, Aksaray

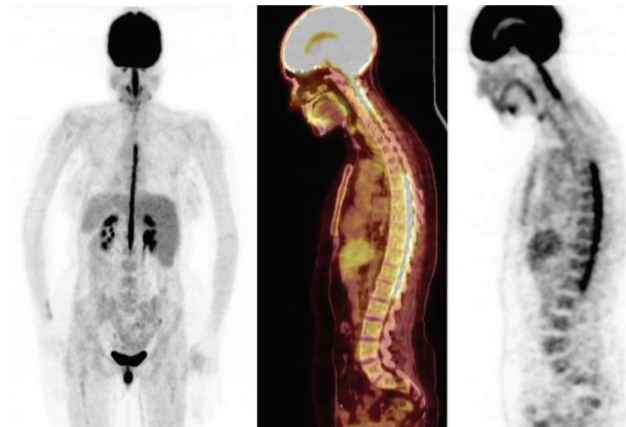
**Amaç:** F-18 florodeoksiglukoz (FDG) pozitron emisyon tomografisi/bilgisayarlı tomografide (PET/BT) spinal kanal içerisinde izlenen insidental artmış FDG tutulumları yeterince araştırılmamıştır. Primer veya metastatik tümörlere sekonder veya fizyolojik olduğu gösterilen insidental tutulumların tamamına yakını olgu sunumu düzeyindedir. Spinal kordda insidental olarak saptanan fokal artmış FDG tutulumlarını araştıran sadece bir çalışma mevcut olup %0,3 insidans bildirilmiştir. Çalışmamızda spinal kanal içerisinde izlenen ve patolojik olabileceğiinden şüphelenilen artmış FDG tutulumlarının klinik sonuçlarını araştırdık.

**Yöntem:** Ocak 2011 ile Ocak 2021 tarihleri arasında bölümümüzde F-18 FDG PET/BT çekilmiş olan hastaların raporları taranarak spinal kanalda artmış FDG tutulumu saptanın ve tetkiki önerilen hastalar seçildi. Hasta görüntüleri taranarak primer veya metastatik kitlelerin spinal kanala invazyonu olarak gelişmiş tutumlar hariç tutuldu. Hastaların PET/BT'nin ardından yapılan tetkikleri incelenerek manyetik rezonans (MR) ve histopatolojik inceleme sonuçları ve takip PET/BT görüntüleri değerlendirildi. Klinik sonuçlara göre FDG tutulumları malign ve benign olarak sınıflandırılarak iki grup arasında demografik özellikler, SUV<sub>maks</sub> tutulumları ve lezyon/background (karaciğer, mediasten kan havuzu, C4, T7 seviye spinal kanal) SUV<sub>maks</sub> oranları karşılaştırılarak istatistiksel olarak fark olup olmadığı araştırıldı.

**Bulgular:** On yılda; FDG PET/BT çekimi yapılmış 11.748 hastanın 24'ünde (%0,2) spinal kanalda karaciğerin üzerinde artmış FDG tutulumu saptandı. Hastaların 14'ü kadın, 10'u erkekti. Hastaların tamamına PET/BT'den sonra MR görüntüleme yapılmıştı. Sekiz hastanın takip PET/BT'leri vardı. İki hasta opere edilerek histopatolojik tanı konulmuştu (1 psammomatöz meningo, 1 schwannom). Radyolojik, histopatolojik ve klinik takip neticesinde 9 hastada izlenen 10 FDG tutulum alanı fizyolojik, 1 hastada sinovyal faset kistine bağlı enfiamasyon, 6 hastada intradural ekstramedüller primer benign tm (schwannom ve meningo), 4 hastada (1 NHL, 3 medullablastoma) leptomeningeal metastaz, 5 hastada (3 akciğer Ca, 1 prostat nöroendokrin tm, 1 serviks Ca) 9 alanda nodüler metastaz olarak saptandı. Nodüler metastaz olan 5 hastanın 1'inde tek odakta intramedüller, 1'inde tek odakta, ikisinde üçer odakta intradural ekstramedüller metastaz vardı. Bir hastanın MR görüntülerine ulaşamadığından intramedüller/ekstramedüller ayrimı yapılamadı. Metastatik hastaların SUV<sub>maks</sub> değerleri; SUV<sub>maks</sub>/karaciğer ve SUV<sub>maks</sub>/mediastinal kan havuzu, SUV<sub>maks</sub>/C4, SUV<sub>maks</sub>/T7 oranları metastaz saptanmayan hastalardan anlamlı derecede yükseltti ( $p<0,001$ ).

**Sonuç:** Spinal kanalda fizyolojik bulguların yanı sıra primer-metastatik tümörlere veya enflamatuar patolojlere bağlı artmış FDG tutulumları olabilir. Spinal kanaldaki tutulum spinal kord kaynaklı olabileceği gibi ekstramedüller intradural veya leptomeningeal patolojlere bağlı da gelişmiş olabilir.

**Anahtar Kelimeler:** Spinal kord, medulla spinalis, FDG, leptomeningeal metastaz



Resim 1. Medulloblastom, leptomeningeal metastaz

Tablo 1. Spinal kanal içerisinde patolojik artmış FDG tutulumu olan hastaların özellikleri

Primer	Lokalizasyon	SUV <sub>maks</sub>	Tanı
Tiroid Ca	L4-5	8,19	Sinovyal faset kisti
Meme Ca	T11-12	4,86	Meningiom
Malign mezenkimal tm	L3-4	3,64	Ekstramedüller primer benign tm
Meme Ca	L2	3,75	Schwannom
Malign melanom	C2	6,71	Ekstramedüller primer benign tm
Akciğer Ca	T5	5,00	Ekstramedüller primer benign tm
NHL	T11-L5	14,04	Leptomeningeal metastaz
Medullablastomm	C1-L1	6,61	Leptomeningeal metastaz
Medullablastom	C1-S1	4,93	Leptomeningeal metastaz
Medullablastom	C1-S1	13,29	Leptomeningeal metastaz
Akciğer Ca	T11-12	6,91	İntramedüller metastaz
Prostat NET	L1	12,52	İntradural metastaz
Akciğer Ca	T12-L1, L2, L3	5,98-13,35	Ekstramedüller metastaz
Akciğer Ca	T4, T12, L3	5,01-9,64	Ekstramedüller metastaz
Serviks Ca	L3	5,26	Ekstramedüller metastaz

## [SS-027]

### Transarteriyel Radyoembolizasyonda Tedavi Öncesi F-18 FDG PET/BT Tekstür Özellikleri ile Tedavi Yanıtı Arasındaki İlişki

Elif Özdemir<sup>1,2</sup>, Nazım Coşkun<sup>1</sup>, Alptuğ Özer Yüksel<sup>1</sup>, Murat Canyiğit<sup>3,4</sup>

<sup>1</sup>Ankara Şehir Hastanesi, Nükleer Tip Kliniği, Ankara

<sup>2</sup>Ankara Yıldırım Beyazıt Üniversitesi Tip Fakültesi, Nükleer Tip Anabilim Dalı, Ankara

<sup>3</sup>Ankara Şehir Hastanesi, Radyoloji Kliniği, Ankara

<sup>4</sup>Ankara Yıldırım Beyazıt Üniversitesi Tip Fakültesi, Radyoloji Anabilim Dalı, Ankara

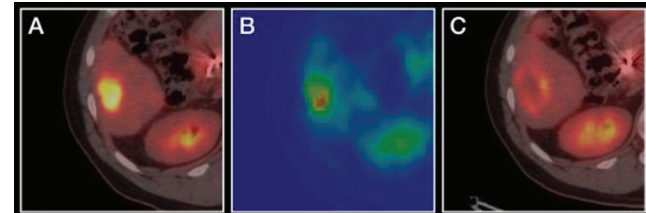
**Amaç:** Bu çalışmada primer veya metastatik karaciğer lezyonlarına yönelik <sup>90</sup>Y mikroküre ile transarteriyel radyoembolizasyon (TARE) tedavisi uygulanan hastalarda, tedavi öncesi F-18 florodeoksiglikoz (FDG) pozitron emisyon tomografi/bilgisayarlı tomografi (PET/BT) görüntülerinden elde edilen tekstür özelliklerini ile tedaviye yanıt arasındaki ilişkini düzeyinin araştırılması amaçlanmaktadır.

**Yöntem:** Nisan 2018-Eylül 2020 tarihleri arasında TARE uygulanan 14 hastaya ait 25 karaciğer lezyonu manuel yöntemle segmente edildi. LIFEEx v6.3 yazılımı kullanılarak lezyonlara ait PET ve BT kesitlerinden birinci sıra, ikinci sıra ve üçüncü sıra teknik özellikleri hesaplandı. Lezyonların tedaviye yanıt düzeyi, tedavi sonrası 2. ayda yapılan F-18 FDG PET/BT görüntülemesinde PERCIST ve mRECIST kriterlerine göre belirlendi. Parsiyel ve tam yanıt görülen lezyonlar tedaviye yanıt grubunda, stabil kalan ve progresyon gösteren lezyonlar tedaviye yanntsızlık grubunda incelendi. Tedavi grupları arasındaki farklılıklar t-testi ile, tedavi yanıtının bağımsız prediktörleri lojistik regresyon modeli ile değerlendirildi.

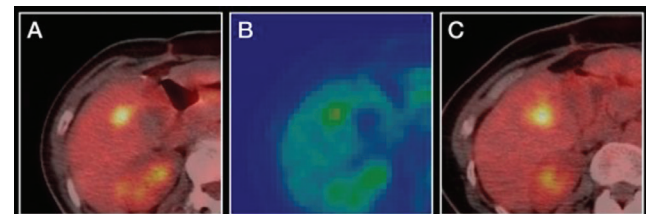
**Bulgular:** Çalışmaya dahil edilen 14 hastada TARE uygulanan 25 karaciğer lezyonu mevcuttu. Hastaların 9'u erkek, 5'i kadındı. Yaş ortalaması  $57 \pm 17$  yıl idi. Tedavi öncesi PET görüntüleme ile TARE tedavisi arasındaki ortalama süre  $32 \pm 19$  gün, TARE tedavisi ile yanıt değerlendirmeye yönelik PET/BT görüntüleme arasındaki ortalama süre  $75 \pm 31$  gündü. PERCIST kriterlerine göre 13 lezyonun tedaviye yanıt verdiği, 11 lezyonun tedaviye yanntsız olduğu, mRECIST kriterlerine göre 5 lezyonun tedaviye yanıt verdiği, 20 lezyonun yanntsız olduğu görüldü (Tablo 1). Değerlendirmeye alınan SUV temelli ölçümelerin tamamı ve metabolik heterojenite belirteci olan 30 teknik parametresinden 27'si, tedaviye yanıt vermeyen lezyonlarda anlamlı olarak daha düşüktü (Tablo 2). Kurtosis [güven aralığı (GA): 10,7, p=0,018] ve entropi (GA: 0,3, p=0,037) özelliklerinin uygulanan dozdan ve primer tanadan bağımsız olarak tedavi yanıt ile ilişkili olduğu görüldü.

**Sonuç:** TARE uygulanan hastalarda tedavi öncesi F-18 FDG PET/BT görüntülerinden elde edilen teknik özellikler, tedavi yanıtını öngörme amacıyla kullanılabilecek potansiyel biyobelirteçler konumundadır. Bulguların çok merkezli geniş kohort çalışmaları ile doğrulanması gerekmektedir.

**Anahtar Kelimeler:** Transarteriyel radyoembolizasyon, radiomics, teknik analizi, tedavi yanıtı



**Resim 1.** Tedaviye parsiyel yanıt veren, yüksek metabolik heterojeniteli izlenen lezyon örneği.  $SUV_{\text{maks}}: 14,76$ , entropi: 8,01, kurtosis: 1,83 (A) Tedavi öncesi füzyon görüntüüsü (B) Tekstür görüntüüsü (C) Tedavi sonrası füzyon görüntüüsü



**Resim 2.** Tedaviye yanıt vermeyen, düşük metabolik heterojeniteli izlenen lezyon örneği.  $SUV_{\text{maks}}: 7,34$ , entropi: 5,75, kurtosis: 5,78 (A) Tedavi öncesi füzyon görüntüüsü (B) Tekstür görüntüüsü (C) Tedavi sonrası füzyon görüntüüsü

**Tablo 1. PERCIST ve mRECIST kriterlerine göre tedavi yanıtlarının dağılımı**

	PERCIST	mRECIST
Tedaviye yanaklı	13	5
- Tam yanıt	7	2
- Parsiyel yanıt	6	3
Tedaviye yanntsız	11	20
- Stabil	9	14
- Progresyon	2	6

## [SS-028]

### Medüller Tiroid Kanserinde F-18 FDG PET/BT ve Ga-68-DOTATE PET/BT'deki Volümetrik Parametrelerin Değerlendirilmesi

Seyfullah Karadoğan<sup>1</sup>, Emine Göknur İşik<sup>1</sup>, Duygu Has Şimşek<sup>1</sup>, Nail Paksoy<sup>2</sup>, Zeynep Gözde Özkan<sup>1</sup>, Yasemin Şanlı<sup>1</sup>

<sup>1</sup>Istanbul Üniversitesi, İstanbul Tip Fakültesi, Nükleer Tip Anabilim Dalı, İstanbul

<sup>2</sup>Istanbul Üniversitesi Onkoloji Enstitüsü, Medikal Onkoloji Bölümü, İstanbul,

**Amaç:** Bu çalışmada medüller tiroid kanseri (MTK) tanılı hastalarda F-18 florodeoksiglikoz (FDG) pozitron emisyon tomografi/bilgisayarlı tomografi (PET/BT) ve Ga-68 DOTATE-PET/BT görüntülemelerdeki volümetrik parametreler ile tümör belirteçleri arasındaki ilişkiye ve tanışal performanslarını karşılaştırmayı amaçladık.

**Yöntem:** MTK tanılı, kalsitonin (Ctn) ve CEA yüksekliği olan ve bu nedenle yeniden evreleme amaçlı F-18 FDG PET/BT ve Ga-68 DOTATE-PET/BT görüntülemesi yapılan hastalar retrospektif olarak incelendi. F-18 FDG PET/BT ve Ga-68 DOTATE-PET/BT çalışmalarında sırası ile nüks/metastatik lezyonlarının metabolik tümör volüm/somatostatin reseptör içeren-tümör volümü (MTV/SSTR-TV), total lezyon glikolizis/total somatostatin reseptörü

(TLG/TL-SSTR) ve  $SUV_{maks}$  değerleri semikantitatif olarak hesaplanıp tümör belirteçleri ile ilişkisi değerlendirildi (SPSS versiyon 22.0).

**Bulgular:** Çalışmaya 13'ü (%53,2) erkek 12'i (%48,8) kadın 25 hasta dahil edildi. Yaş ortalaması 49 (aralık: 12-76) idi. Hastaların ortalama (ort.) CEA düzeyi 76,4 ng/mL (2,4-871), ort. Ctn düzeyi 3,449 pg/mL (4,4-43.850) bulundu. F-18 FDG PET/BT ve Ga-68-DOTATE PET/BT'de sırasıyla; 17 ve 16 hastada patolojik aktivite tutulumu saptanırken, 4 hastada klinik nüks düşünülmekle birlikte (ort. Ctn: 272,1 ve CEA: 7,76) her iki görüntülemede de patolojik tutulum saptanmadı. On dört hastada her iki çalışma da pozitif iken 3 hastada sadece F-18 FDG PET/BT'de (ort. Ctn: 2701,3 ve CEA: 156,67); 2 hastada sadece Ga-68 DOTATE-PET/BT'de (ort. Ctn: 819 ve CEA: 21,11) pozitif bulgu saptandı. Tümör belirteçleri ile MTV/SSTR-TV, TLG/TL-SSTR ve  $SUV_{maks}$  arasında korelasyon saptanmadı. F-18 FDG PET/BT ve Ga-68 DOTATE-PET/BT-çalışmalarında, MTV/SSTR-TV, TLG/TL-SSTR ve  $SUV_{maks}$  değerleri birbirini korele etti (p=0,000). F-18 FDG PET/BT'de 5 hastada lokal nüks, 11 hastada lenf nodu metastazı ve 8 hastada uzak metastaz saptandı. Bu hastalarda ort. MTV: 20,5 cc ort. TLG: 105,5 olarak ölçüldü. Ga-68 DOTATE-PET/BT'de ise 7 hastada lokal nüks, 12 hastada lenf nodu, 9 hastada uzak metastaz saptandı. Ort. SSTR-TV: 35,1 cc, ort. TL-SSTR: 202,6 cc olarak ölçüldü. Ort.  $SUV_{maks}$  sırası ile F-18 FDG PET/BT ve Ga-68 DOTATE-PET/BT'de 6,1 ve 11,6 olarak bulundu. F-18 FDG PET/BT'de uzak metastaz gösteren hastalardan biri süurrenal metastazı ve diğeri ise karaciğer metastazı idi. Ga-68 DOTATE-PET/BT'de bu alanlarda somatostatin reseptör pozitifliği saptanmadı.

**Sonuç:** MTK tanılı hastalarda her iki görüntülemenin kantitatif değerleri birbirleri ile korele izlenmeye olup tek başına F-18 FDG PET/BT pozitif olan hastalarda tümör belirteçlerinin daha yüksek olduğu dikkat çekti. F-18 FDG PET/BT ve Ga-68 DOTATE-PET/BT görüntülemelerde volümümetrik parametreler ile tümör belirteçleri arasında korelasyon saptanmadı. Hastaların bir kısmında sadece F-18 FDG PET/BT'nin bir kısmında ise sadece Ga-68 DOTATE-PET/BT'nin pozitif olduğu düşünüldüğünde tanısal yaklaşım için iki görüntülemenin de yapılması uygun olacağının düşünülmektedir.

**Anahtar Kelimeler:** Medüller tiroid kanseri, F-18 FDG PET/BT, Ga-68 DOTATE-PET/BT, kalsitonin, CEA, MTV

## [SS-029]

### Baş-boyun Kanserinde PET/BT $SUV_{maks}$ Değeri ile Tedavi Sonrası $SUV_{maks}$ Düşüş Miktarının Prognostik Değeri Karşılaştırması

Fadime Demir<sup>1</sup>, Gülbahar Güler Avcı<sup>2</sup>

<sup>1</sup>Tokat Gaziosmanpaşa Üniversitesi Tıp Fakültesi, Nükleer Tıp Anabilim Dalı, Tokat

<sup>2</sup>Tokat Gaziosmanpaşa Üniversitesi Tıp Fakültesi, Radyasyon Onkolojisi Anabilim Dalı, Tokat

**Amaç:** Çalışmada amacımız baş-boyun kanseri hastalarda F-18 florodeoksiglikoz (FDG)-pozitron emisyon tomografi/bilgisayarlı tomografide (PET/BT) tedavi öncesi  $SUV_{maks}$  değerleri ile tedavi sonrası  $SUV_{maks}$  değerindeki düşüş yüzdesinin prediktif ve prognostik değerini karşılaştırmaktır.

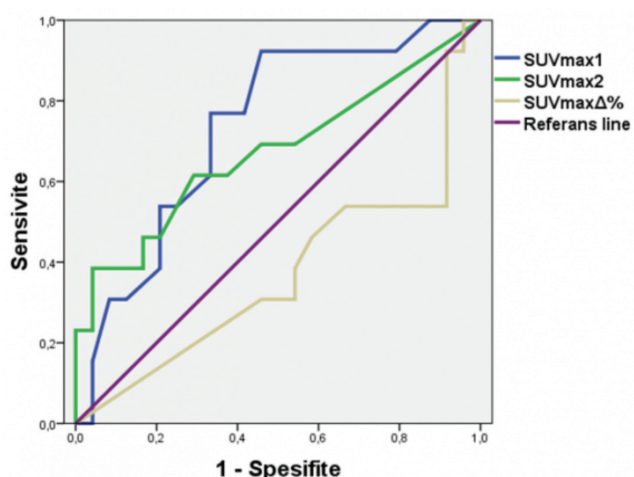
**Yöntem:** Çalışmaya önce evreleme daha sonra ise radyoterapi tedavisinin (es zamanlı kemoterapi uygulanan veya uygulanmayan) yanıtını değerlendirmek için F-18 FDG-PET/BT görüntülemesi yapılmış 37 skuamöz hücreli baş-boyun kanseri hastası dahil edildi. PET/BT aksiyal görüntülerinde yarı otomatik olarak baş-boyun bölgesindeki tümör dokusunu içerecek şekilde ilgi alanı (VOI) çizildi. VOI'dan tedavi öncesi  $SUV_{maks}^1$ , tedavi sonrası  $SUV_{maks}^2$  değerleri ölçüldü.  $SUV_{maks\Delta\%} = [(SUV_{maks}^1 - SUV_{maks}^2)/SUV_{maks}^1] \times 100$  formülü ile hesaplandı. PET/CT  $SUV_{maks}$  parametrelerinin ölüm açısından prediktif değerini belirlemek için receiver operator characteristic analizi kullanılarak eğri altında kalan alan (AUC) ve cut-off değerler hesaplandı.

Yaş, cinsiyet, histopatolojik parametreler ile PET parametrelerinin, genel sağkalma etkisini değerlendirmek için univariate Cox regresyonu analizi kullanıldı.

**Bulgular:** Çalışmaya dahil edilen hastaların 29'u erkek, 8'i kadın idi. Yaş ortalaması  $57,9 \pm 14,8$  idi. En sık görülen lokalizasyon nazofarinks, en sık görülen histopatolojik alt tipi keratinize SCC oldu. Hastaların tümüne RT uygulanırken, eş zamanlı KT 31 hastaya uygulanmıştı. Uygulanan RT dozu 66-70 Gy arasında idi. Takip süresi medyan 32 (6-70) ay idi. Takip süresi boyunca hastaların 13'ünde ölüm görüldürken, 24'ü hala hayatı idi. Hastaların tedavi öncesi tümör  $SUV_{maks}$  ortalaması  $15,6 \pm 8$ , tedavi sonrası tümör  $SUV_{maks}$  ortalaması  $3,5 \pm 4,4$  idi. Tedavi sonrası F-18 FDG PET/BT yanıtı; 22 hastada parsiyel iken, 15 hastada tam yanıt ve 1 hastada stabildi.  $SUV_{maks1}$  değeri ölüm açısından prediktif bir parametre olarak bulunuyor. Cut-off değeri 15 olarak alındığında; AUC: %73,4; sensitivite: %77 ve spesifite %67 idi ( $p=0,02$ ).  $SUV_{maks\Delta\%}$  ve  $SUV_{maks2}$  değerinin ise anlamlı prediktif değeri yoktu ( $p=0,417, 0,086$ ) (Figür 1). Genel sağkalma etki eden faktörler incelediğinde univariate analizde; tümör lokasyonu,  $SUV_{maks1}$  ve  $SUV_{maks2}$  değeri prognostik faktörler olarak bulundu. Yaş, cinsiyet, T evre, N evre, histoloji, eş zamanlı KT verilip verilmemesi ve tedavi sonrası  $SUV_{maks\Delta\%}$  düzeyinin ise anlamlı prognostik değeri yoktu (Tablo 1).

**Sonuç:** Çalışmamızın sonuçlarına göre; skuamoz hücreli baş-boyun kanseri hastalarının tanı anındaki tümör  $SUV_{maks}$  değeri hastalığın прогноз hakkında tedavi sonrası tümördeki metabolik yanıt miktarına göre daha değerli bilgi vermekteydi.

**Anahtar Kelimeler:** Baş-boyun kanseri, F-18 FDG-PET/BT,  $SUV_{maks}$



**Figür 1.**  $SUV_{maks1}$ ,  $SUV_{maks2}$  and  $SUV_{maks\Delta\%}$  değerlerinin ölüm açısından prediktif değerinin ROC eğrisi analizi

ROC: Alıcı İşletim Karakteristiği

**Tablo 1. Genel sağkalım açısından Cox regresyon analiz sonuçları**

Parametreler	Wald	HR	%95 GA	p
Cinsiyet	1,932	1,031	0,988-1,076	0,165
Yaş	0,40	1,168	0,256-5,331	0,841
T evre	-	-	-	0,106
N evre	-	-	-	0,762
Lokasyon	-	-	-	0,001*
Dil	8,983	-	-	0,062
Hipofarinks	6,362	0,026	0,002-0,442	0,012*
Larinks	7,574	0,014	0,001-0,290	0,006*
Nazofarinks	3,883	0,051	0,003-0,984	0,049*
Oral kavite	2,287	0,078	0,003-2,124	0,130
Histoloji	-	-	-	0,325
Eş zamanlı kemoterapi	-	-	-	0,584
SUV <sub>maks1</sub>	3,942	1,065	1,001-1,132	0,047*
SUV <sub>maks2</sub>	8,411	1,197	1,060-1,351	0,004*
SUV <sub>maksΔ%</sub>	1,422	0,989	0,972-1,007	0,233

GA: Güven aralığı

**[SS-030]****Osteosarkom ve Ewing Sarkom Hastalarında Neoadjuvan Kemoterapiye Histolojik Yanıtın Öngörüsü Olarak F-18 FDG PET/BT ve MRG**

Zeynep Güл Kiprak<sup>1</sup>, Funda Aydin<sup>1</sup>, Ayça Arçay Öztürk<sup>1</sup>, Ayşe Keven<sup>2</sup>, Enis Bilek<sup>2</sup>, Müge Nur Engin<sup>1</sup>, Ceyda Nur Dündar Çağlayan<sup>1</sup>, Ayşe Nur Akinel<sup>3</sup>, Elif Güler<sup>3</sup>

<sup>1</sup>Akdeniz Üniversitesi Hastanesi, Nükleer Tip Kliniği, Antalya<sup>2</sup>Akdeniz Üniversitesi Hastanesi, Radyoloji Kliniği, Antalya<sup>3</sup>Akdeniz Üniversitesi Hastanesi, Çocuk Sağlığı ve Hastalıkları Kliniği, Çocuk Hematoloji ve Onkoloji Bölümü, Antalya

**Amaç:** Osteosarkom ve Ewing sarkomu tanılı hastalarda preoperatif neoadjuvan kemoterapi yanıtını değerlendirmede patoloji bulguları temel alınarak F-18 florodeoksiglikoz (FDG) pozitron emisyon tomografi/bilgisayarlı tomografi (PET/BT) ve manyetik rezonsans görüntüleme (MRG) bulgularının karşılaştırılmasıdır.

**Yöntem:** Hastanemiz PET/BT ünitesine osteosarkom ve Ewing sarkomu tanıları ile 2016-2020 yılları arasında başvuran 86 hastanın PET/BT, MRG ve patoloji sonuçları retrospektif olarak incelendi. Evreleme ve neoadjuvan kemoterapi sonrası tedaviye yanıt PET/BT ve MRG tetkikleri ile patoloji sonuçları olan 16 hasta çalışmaya dahil edildi. Hastaların evreleme ve tedaviye yanıt PET/BT ve MRG'lerinde izlenen primer kitle-rezidü tümör alanlarının boyutları ile evreleme PET/BT'de izlenen primer tümör SUV<sub>maks</sub> değerleri ölçüldü.

**Bulgular:** Neoadjuvan kemoterapi sonrası tedaviye yanıtını değerlendirmede patolojik tanı altın standart olarak kabul edildi. PET/BT'nin tedavi yanıtını değerlendirmede duyarlılığı %33,3, özgüllüğü %100 saptandı. MRG'nin tedavi yanıtını değerlendirmede duyarlılığı %28,5, özgüllüğü %100 saptandı. Evreleme ve tedaviye yanıt PET/BT ve MRG'lerinde izlenen primer kitle-rezidü tümör alanlarının boyutları karşılaştırıldığında; PET/BT ve MRG'de ölçülen değerler birbirleri ile kuvvetli olarak korele bulundu. Tedaviye tam

yanıtlı ve rezidüsü bulunan hastaların evreleme PET/BT çalışmalarında ölçülen SUV<sub>maks</sub> değerleri karşılaştırıldığında; tedaviye tam yanıtlı hastaların ortalama SUV<sub>maks</sub> değerleri 8,9 iken, rezidüsü bulunan hastalarda ortalama SUV<sub>maks</sub>: 15,1 saptandı ve bu iki değer arasında anlamlı farklılık bulunmadı. Hastaların evreleme ve tedavi sonrası PET/BT tetkiki arasında geçen ortalama süre 3,6 ay, MRG tetkikleri arasında geçen ortalama süre ise 3,7 ay idi. Ek olarak hastaların PET/BT tetkiklerinde 3 hastada akciğerde multipl metastaz ile uyumlu nodüler lezyonlar, 3 hastada bölgesel metastatik lenf nodları, 2 hastada ek kemik metastazı, 1 hastada kemik iliği metastazı saptandı. İki hastada ise akciğerde milimetrik metastaz şüpheli nodüler lezyonlar mevcuttu.

**Sonuç:** Osteosarkom ve Ewing sarkomunda neoadjuvan kemoterapi sonrası tedavi yanıtını değerlendirmede PET/BT ve MRG'nin duyarlılıklarını düşük fakat özgüllükleri yüksek saptanmıştır. Primer tümör-rezidü tümör boyutlarının saptanmasında PET/BT ve MRG birbirleriyle güçlü korelasyon göstermektedir. Neoadjuvan kemoterapi sonrası tedaviye tam yanıt veren hastalar ile vermenen hastaların evreleme PET/BT'lerinde ölçülen primer tümör SUV<sub>maks</sub> değerleri arasında anlamlı fark bulunmamıştır. PET/BT çalışması; tüm vücut değerlendirme sağladığı için ek metastatik odakların saptanmasına olanak sağlamaktadır.

**Anahtar Kelimeler:** Osteosarkom, Ewing sarkom, F-18 FDG PET/BT, MRG, malign kemik tümörleri

**[SS-031]****Prostat Kanseri Hastalarında Ga-68 PSMA PET/BT Tekstür Özellikleri ile Histopatolojik Parametrelerin İlişkisi**

Fatma Arzu Görtan, Nazım Coşkun, Nedim Cüneyt Murat Gülaldi

Ankara Atatürk Şehir Hastanesi, Nükleer Tip Kliniği, Ankara

**Amaç:** Son yıllarda onkolojik görüntüleme üzerine yapılan çalışmalar, görüntülenen tümör dokusunun heterojenitesi ile tümör davranışının arasında ilişki olduğunu ortaya koymustur. Tümör dokusunun heterojenitesinin belirlenmesinde temel olarak görüntünün tekstür özelliklerinden faydalananmaktadır. Çalışmamızın amacı; Ga-68 Prostat Spesifik Membrain Antijen (PSMA) pozitron emisyon tomografi/bilgisayarlı tomografi (PET/BT) görüntüleme yapılan prostat adenokarsinomu tanılı hastalarda histopatolojik olarak belirlenen Gleason skoru ve PET görüntülerinden elde edilen SUV<sub>maks</sub> değerleri ile PET ve BT görüntülerinin tekstür özellikleri arasındaki ilişkiyi değerlendirmektir.

**Yöntem:** Histopatolojik olarak prostat adenokarsinomu tanısı almış ve klinikimize Ga-68 PSMA PET/BT görüntüleme yapılmak üzere yönlendirilmiş, görüntüleme öncesi herhangi bir tedavi uygulanmamış olan 29 hasta retrospektif olarak değerlendirildi. Prostat adenokarsinomu olduğu bilinen lezyonlara ait SUV temelli parametreler PET görüntülerinden; histogram, şekil ve tekstür özellikleri ise PET ve karşılık gelen BT görüntülerinden medikal görüntüleme analiz yazılımı kullanılarak hesaplandı. Parametreler arasındaki istatistiksel ilişkisinin belirlenmesinde; Pearson ve Spearman korelasyon analizleri kullanıldı.

**Bulgular:** SUV<sub>maks</sub> değerleri ( $r=0,452$ ,  $p=0,016$ ), PET görüntülerinden elde edilen GLRLM LRHGE ( $r=0,410$ ,  $p=0,030$ ) ve GLZLM LZHGE ( $r=0,482$ ,  $p=0,009$ ) parametreleri ile Gleason skorları arasında orta düzeyde korelasyon saptandı. BT görüntülerinden elde edilen GLCM Contrast ( $r=0,401$ ,  $p=0,034$ ), GLCM dissimilarity ( $r=0,473$ ,  $p=0,011$ ) GLRLM GLNU ( $r=0,430$ ,  $p=0,022$ ), GLRLM RLNU ( $r=0,529$ ,  $p=0,004$ ), GLZLM GLNU ( $r=0,457$ ,  $p=0,014$ ), GLZLM ZLNU ( $r=0,545$ ,  $p=0,003$ ), GLCM homogeneity ( $r=0,428$ ,  $p=0,023$ ), GLCM energy ( $r=-0,473$ ,  $p=0,011$ ) ve NGGLDM coarseness ( $r=-0,490$ ,  $p=0,008$ ) parametreleri ile SUV<sub>maks</sub> değerleri arasında orta düzeyde korelasyon saptandı. BT görüntülerinin ortalama HU ( $p<0,001$ ), histogram Skewness

( $p=0,001$ ), histogram entropy ( $p<0,001$ ), histogram energy ( $p=0,001$ ), GLCM homogeneity ( $p=0,014$ ), GLCM energy ( $p=0,020$ ), GLCM correlation ( $p<0,001$ ), GLCM entropy ( $p=0,001$ ), GLCM dissimilarity ( $p=0,009$ ), GLRLM SRE ( $p=0,022$ ), GLRLM LRE ( $p=0,050$ ), GLRLM LGRE ( $p=0,001$ ), GLRLM HGRE ( $p=0,001$ ), GLRLM SRLGE ( $p=0,001$ ) ve GLRLM SRHGE ( $p=0,010$ ) parametreleri, yüksek ve düşük düzeyde PSMA tutulumu gösteren alanlarda anlamlı düzeyde farklılık göstermektedir.

**Sonuç:** Çalışmadan elde ettigimiz sonuçlara göre, literatür bilgisini destekler şekilde yüksek  $SUV_{\text{maks}}$  değerleri ile yüksek Gleason skoru ilişkili bulunmuştur. Ayrıca, PET görüntülerinden elde edilen GLRLM LRHGE ve GLZLM LZHGE parametreleri ile yüksek Gleason skoru arasında ilişki saptanmıştır. BT görüntülerinden elde edilen tekstür parametrelerinde, karşılık geldiği PET görüntülerinden  $SUV_{\text{maks}}$  düzeyi düşük olan alanlarla yüksek olan alanlar arasında anlamlı fark saptanmış olup BT tekstür özelliklerinin PSA düzeyi yüksek olan hastalarda biyopsi lokalizasyonunun belirlenmesi açısından yol gösterici olabileceği sonucuna varılmıştır.

**Anahtar Kelimeler:** Radiomics, Ga-68 PSMA PET/BT, tekstür özellikler

## [SS-032]

### Meme Kanseri Evreleme PET/BT'de Tümör/Lenf Nodu SUV Değerleri ve İmmünohistokimyasal Özelliklerin Metastaz ile İlişkisi

Hüseyin Emre Tosun, Bedriye Büşra Demirel, Gülin Uçmak

Dr. Abdurrahman Yurtaslan Ankara Onkoloji Eğitim ve Araştırma Hastanesi, Nükleer Tip Kliniği, Ankara

**Amaç:** Çalışmamızda meme kanseri evrelemesinde immünohistokimyasal (İHK) veriler, tümör ve aksiler lenf nodu pozitron emisyon tomografi (PET) parametrelerinin uzak metastaz varlığı ile ilişkisini araştırmak amaçlanmıştır.

**Yöntem:** Çalışmaya kliniğimize meme kanseri tanısı ile evreleme amaçlı PET/bilgisayarlı tomografi (BT) incelemesi için refere edilen 85 kadın hasta dahil edildi. Hastaların yaş ve İHK verileri [hormon reseptörü (HR), her2 durumu, ki-67 indeksi ve subtipleri] kaydedildi. PET/BT'de primer tümör  $SUV_{\text{maks}}$  ( $T_{\text{maks}}$ ), aksiler lenf nodu  $SUV_{\text{maks}}$  ( $N_{\text{maks}}$ ) ve tümör=lenf nodu  $SUV_{\text{maks}}$  oranları ( $T/N$ ) hesaplandı. Hastalar PET/BT bulgularına göre metastatik ve non-metastatik olarak iki gruba ayrıldı. Gruplar arasında yaş, İHK ve SUV değerleri açısından farklılık, bağımsız gruplar arasında t-testi kullanılarak istatistiksel analiz yapıldı.

**Bulgular:** Hastaların yaş ortalaması  $52 \pm 13,8$  (aralık 25-79) idi. %69'u HR+, her2- ( $n=58$ ), %12'si HR+, her2+ ( $n=10$ ), %10'u izole her2+ ( $n=9$ ), %9'u triple negatif ( $n=8$ ) şeklinde 4 subtipde izlendi. PET/BT bulgularına göre hastalar %45'i metastatik ( $n=39$ ), %55'i non-metastatik ( $n=46$ ) olmak üzere iki grupta izlendi. İki grup arasında HR, her2 durumu, ki-67 indeksi, subtipleri,  $T_{\text{maks}}$  ve  $N_{\text{maks}}$  ortalamaları açısından istatistiksel olarak anlamlı fark izlenmemektedir.  $T/N$  değerleri arasında istatistiksel olarak anlamlı fark bulundu ( $p<0,01$ , Tablo 1). Metastatik grupta  $T/N$  ortalaması 2,1 iken, non-metastatik grupta bu oran 4,9 olarak hesaplandı.

**Sonuç:** Meme kanserinde tedavi planı, hastalık прогнозu açısından evrelemenin doğru şekilde yapılması önem arz etmektedir. Çalışmamızda  $T/N$  oranının iki grup arasında,  $T_{\text{maks}}$  ve  $N_{\text{maks}}$  değerlerinden bağımsız olarak farklılık göstermesi, primer lezyon ile aksiller lenf nodu metastazının yakın  $SUV_{\text{maks}}$  değerlerinde olmasının agresif tümör davranışının dolayısıyla metastatik hastalık ihtimalinin bir göstergesi olarak daha anlamlı olabileceğini düşündürdü. Bu durumun, uzak metastaz saptanamayan hasta grubunda gözden kaçan veya olası mikrometastatik hastalık göstergesi açısından belirleyici olabileceği düşünülmüştür.

**Anahtar Kelimeler:** Meme kanseri, PET/BT, metastaz

**Tablo 1.** Elde edilen verilerin gruplara göre ortalamaları ve p değerleri

	Metastatik (n=39)	Non-metastatik (n=46)	p
Yaş (yıl)	49,6	54,0	>0,05
Ki-67 (yüzde)	37,0	46,3	>0,05
$T_{\text{maks}}$ (g/mL)	9,1	9,7	>0,05
$N_{\text{maks}}$ (g/mL)	6,8	4,8	>0,05
T/N	2,1	4,9	<0,01

## [SS-033]

### Serviks Kanserlerinde Primer Tümörün PET/MR ile Ölçülen $SUV_{\text{maks}}$ ve ADC Değeri ile Lenf Nodu Metastazı Arasındaki İlişki

Fuat Aghazadə, Rabia Lebriz Uslu Beşli, Muhammet Sait Sağer, Kerim Sönmezoglu

İstanbul Üniversitesi-Cerrahpaşa, Cerrahpaşa Tıp Fakültesi, Nükleer Tip Anabilim Dalı, İstanbul

**Amaç:** Bu çalışmada, serviks kanserli hastalarda primer evreleme amaçlı yapılan pozitron emisyon tomografisi/manyetik rezonans (PET/MR) tetkikinde primer tümörün maksimum standart uptake ( $SUV_{\text{maks}}$ ) değeri ile aşırı difüzyon katısayısı (ADC) arasındaki ilişki ve bu değerlerle lenf nodu metastazı arasında ilişkinin saptanması amaçlandı.

**Yöntem:** Ağustos 2017-Kasım 2020 tarihleri arasında biyopsi ile serviks kanseri tanısı almış ve tedavi öncesi evreleme amaçlı F-18 florodeoksiglikoz (FDG) PET/MR tetkiki yapılmış 37 hasta çalışmaya dahil edildi. Primer tümörün  $SUV_{\text{maks}}$ , ADC değerleri ve lenf nodu metastazının olup olmadığı her hasta için kaydedildi. Literatürdeki bilgiye istinaden zemin aktiviteden ayırt edilebilen FDG tutulumu izlenen, morfolojik olarak malign olduğu düşünülen lenf nodları metastaz olarak kabul edildi.  $SUV_{\text{maks}}$  değerinin ADC değeri ile korelasyonu ve bu değerlerin lenf nodu metastazı arasındaki ilişkisi araştırıldı. İstatistiksel analiz SPSS V 27.3.7 programı ile yapıldı.  $SUV_{\text{maks}}$  ve ADC değerleri arasındaki korelasyon lineer regresyon analizi ile değerlendirildi.  $SUV_{\text{maks}}$  ve ADC değerleri ile lenf nodu metastazı varlığı arasındaki ilişki ise logistik regresyon analizi ile değerlendirildi.

**Bulgular:** Hastaların ortanca yaşı 50 (28-69) idi. Primer tümörün ortalaması  $SUV_{\text{maks}}$  değeri  $18,1 \pm 6,4$  ( $6,5-32,0$ ), ortalaması ADC değeri  $0,94 \times 10^{-3} \pm 0,24 \times 10^{-3}$   $\text{mm}^2/\text{san}$  ( $0,63-1,57 \times 10^{-3}$   $\text{mm}^2/\text{san}$ ) arası idi.  $SUV_{\text{maks}}$  değerinin güven aralığı %95: 15,9-20,3 arası, ADC değerinin güven aralığı %95: 0,85-1,02  $\times 10^{-3}$   $\text{mm}^2/\text{san}$  olarak hesaplandı.  $SUV_{\text{maks}}$  ve ADC değerleri arasındaki negatif korelasyon saptanmış olup istatistiksel olarak anlamlıdır ( $p<0,01$ ).  $SUV_{\text{maks}}$  ve ADC değerleri ile lenf nodu metastazı varlığı arasında ise anlamlı bir ilişki saptanmamıştır ( $p=0,129$ ;  $p=0,125$ ).

**Sonuç:** Serviks kanseri tanılı hastalarda primer evreleme amaçlı tüm vücut veya lezyona yönelik yapılan F-18 FDG PET/MR çalışmasında primer tümörün  $SUV_{\text{maks}}$  değeri arttıkça ADC değeri azalmaktadır.  $SUV_{\text{maks}}$  ve ADC değerleri lenf nodu metastazı açısından bilgi vermemektedir.

**Anahtar Kelimeler:** Serviks kanseri, PET/MR,  $SUV_{\text{maks}}$ , aşırı difüzyon katısayısı, lenf nodu metastazı

**[SS-034]**

### **Peritoneal Metastazlı Over Ca Hastalarında F-18 FDG-PET/BT Bulguları ve Kantitatif Parametreleri ile CA-125 Karşılaştırılması**

Ceyda Nur Dündar Çağlayan<sup>1</sup>, Funda Aydin<sup>1</sup>, Müge Nur Engin<sup>1</sup>,  
Ayça Arçay Öztürk<sup>1</sup>, Zeynep Gülb Kiprak<sup>1</sup>, Sema Sezgin Göksu<sup>2</sup>, Adil Boz<sup>1</sup>

<sup>1</sup>Akdeniz Üniversitesi Hastanesi, Nükleer Tip Anabilim Dalı, Antalya

<sup>2</sup>Akdeniz Üniversitesi Hastanesi, Tibbi Onkoloji Anabilim Dalı, Antalya

**Amaç:** Jinekolojik maligniteler arasında over kanseri dünyada 3. sırada ülkemizde ise 2. sırada görülmektedir. Hematojen yayılım nadirdir, hastaların yaklaşık %89'unda tümör hücreleri özellikle peritoneal metastaz yaptılarından, ileri aşamada teşhis edilir ve bu nedenle kötü прогнозludur. Peritoneal yayılım over kapsül penetrasyonu ile komşu organlar ve pelvik peritoneal direkt invazyon ile başlar ve yayılarak ilerler. Ca-125, düşük sensitivite ve spesifite ile over karsinomunda tedavi yanıt ve rekürens takibinde tümör marker olarak sıkılıkla kullanılır. Peritoneal karsinomatosis saptamada bilgisayarlı tomografi (BT), manyetik rezonans görüntüleme, ve F-18 florodeoksiglikoz (FDG) pozitron emisyon tomografi (PET)/BT'yi karşılaştırılan bir çalışmada PET/BT sensitivitesi %95 ve spesifitesi %96 olarak saptanmıştır. FDG-PET/BT'de peritoneal tutulumu olan over karsinomlu hastalarda PET/BT kantitatif parametreleri ile Ca-125 değerleri arasındaki ilişkinin araştırılmasıdır.

**Yöntem:** Akdeniz Üniversitesi Hastanesi, Nükleer Tip Anabilim Dalı'nda 01.2019-01.2021 tarihleri arasında çekilen peritoneal tutulumu olan over karsinom tanılı 30 hastaya (histolojik alt tip; 25 seröz karsinom, 1 endometroid karsinom, 4 bilişmeyen) ait F-18 FDG PET/BT görüntüleri retrospektif incelendi. F-18 FDG PET/BT bulguları histopatolojik bulgular veya radyolojik/klinik takipleri ile korele edildi. Peritoneal tutulum paternleri asit, peritoneal kalınlaşma, implant ve kitlesel lezyon olacak şekilde; peritoneal metastaz yaygınlığı ise 1-4 olacak şekilde vizuel gruplandırıldı. Peritoneal tutulum paternleri, Ca-125 düzeyleri ve lezyonların SUV<sub>maks</sub> değerlerini karşılaştırmak için SPSS Statistics 23 programı kullanıldı.

**Bulgular:** Çalışmaya dahil edilen 30 hastanın ortalama yaşı 58,8 (38-77) idi. Beş hastanın Ca-125 değerleri normal sınırlarda, 25 hastada yükseltti ( $>35 \text{ U/ml}$ ). Peritoneal lezyonların ortalama SUV<sub>maks</sub> değeri 15,4 ( $\pm 8,35$ ) ölçüldü. Korelasyon 9 hastada histopatoloji, 21 hastada ise klinik ve radyolojik takipler ile yapıldı. Yirmi iki hastada nodüler implant, 15 hastada peritoneal bulanıklık/kalınlaşma, 13 hastada peritoneal kitle, 9 hastada ise asit izlendi. Yirmi bir hastada birden fazla tutulum paterni vardı. Yapılan istatistiksel analizlerde yalnızca kitlesel lezyonlar ( $>1 \text{ cm}$ ) ile SUV<sub>maks</sub> değeri arasında anlamlı ilişki saptandı ( $p=0,01$ ) ve ortalama SUV<sub>maks</sub> değeri 21,16 ( $\pm 8,46$ ) olarak ölçüldü. Ca-125 düzeyi ile farklı peritoneal tutulum paternleri arasında anlamlı ilişki görülmemi (p>0,05). Peritoneal metastazlı hastaların %83,3'tünde (25/30) Ca-125 yükseliği olmakla birlikte lezyonların SUV<sub>maks</sub> değerleri ile Ca-125 düzeyleri arasında anlamlı ilişki saptanmadı ( $p=0,48$ ). Hastaların peritoneal yaygınlığı görsel olarak değerlendirildiğinde yaygınlık ile SUV<sub>maks</sub> arasında anlamlı ilişki bulundu ( $p=0,03$ ).

**Sonuç:** Çalışmamızda, peritoneal metastazı olan over Ca hastalarında Ca-125 yükseliği sıkılıkla karşılaşılan bir belirteç olmakla birlikte hastalık yaygınlığını ve tutulum paternlerini öngörmeye ek katkı sağlamadığı görülmüştür. Yaygın metastaz ve peritoneal kitlesel lezyonu olan hastalarda SUV<sub>maks</sub> değeri anlamlı olarak yüksek bulunmuştur.

**Anahtar Kelimeler:** Over Ca, peritoneal karsinomatosis, F-18 FDG PET/BT, Ca-125

**[SS-035]**

### **Ga-68 PSMA ve F-18 FDG PET/BT ile Görüntülenmiş Triple Negatif Meme Kanserinde PSMA, Claudin 1, 4, 7 Rezeptörlerinin Varlığı**

Esra Arslan<sup>1</sup>, Nurhan Ergül<sup>1</sup>, Ediz Beyhan<sup>1</sup>, Özge Erol<sup>1</sup>, Merve Cin<sup>2</sup>,  
Semiha Battal Havare<sup>2</sup>, Fadime Didem Can Trabulus<sup>3</sup>, Özlem Mermut<sup>4</sup>,  
Sinem Akbaş<sup>5</sup>, Tevfik Fikret Çermik<sup>1</sup>

<sup>1</sup>Sağlık Bilimleri Üniversitesi, İstanbul Eğitim ve Araştırma Hastanesi, Nükleer Tip Kliniği, İstanbul

<sup>2</sup>Sağlık Bilimleri Üniversitesi, İstanbul Eğitim ve Araştırma Hastanesi, Patoloji Kliniği, İstanbul

<sup>3</sup>Sağlık Bilimleri Üniversitesi, İstanbul Eğitim ve Araştırma Hastanesi, Genel Cerrahi Kliniği, İstanbul

<sup>4</sup>Sağlık Bilimleri Üniversitesi, İstanbul Eğitim ve Araştırma Hastanesi, Radyasyon Onkolojisi Kliniği, İstanbul

<sup>5</sup>Koç Üniversitesi Hastanesi, Medikal Onkoloji Kliniği, İstanbul

**Amaç:** Hormon negatif [triple negatif (TN)] meme kanserinde dokuda prostat spesifik membran antijen (PSMA), Claudin 1, Claudin 4 ve Claudin 7 rezeptörlerinin varlığı bilinmemektedir. Bu prospektif çalışmada TN meme kanseri nedeni ile takipli olgularda Ga-68 PSMA pozitron emisyon tomografi/bilgisayarlı tomografi (PET/BT) görüntülemede primer malign meme tümöründen ve metastatik odaklarda PSMA ekspresyonunu yanı sıra, ayrıca primer tümör dokusunda PSMA, Claudin 1, Claudin 4 ve Claudin 7 rezeptörlerinin varlığını, tanışal ve prognostik önemini araştırmayı amaçladık.

**Yöntem:** Çalışmaya Ocak 2020-Aralık 2020 tarihleri arasında TN meme kanseri tanısı ile Ga-68-PSMA PET/BT ve F-18 florodeoksiglikoz (FDG) PET/BT görüntülemesi yapılan 42 kadın yaş ortalaması  $49,85 \pm 10,35$  (yaş aralığı: 26-72) hasta prospektif olarak dahil edildi. Kırk iki olgunun 29'unda PSMA ve Claudin 1, Claudin 4 ve Claudin 7 rezeptörlerinin varlığı İmmünohistokimyasal olarak primer meme tümöründe skorlandı.

**Bulgular:** Yirmi sekiz evreleme, 14 takipte nüks değerlendirme amaçlı görüntüleme yapıldı. 6/42 olguda primer lezyon operasyona bağlı mevcut değildi. Ga-68 PSMA PET/BT'de 34/36 (%94) primer lezyon PSMA pozitif, 2/36 (%6) lezyon PSMA negatif idi. Axiller LN metastazı 24/42 olguda FDG pozitif tespit edildi. Bu 24 olgunun 22'sinde (%92) PSMA pozitif, 2'sinde (%8) PSMA negatif olarak gözlandı. Toplam 23 uzak organ metastazı ve 1 uzak nodal metastaz varlığı mevcut idi. Ga-68 PSMA PET/BT ile görüntülemede 3 olguda multiorgan metastazı izlenirken 10 karaciğer metastazı [6/10 (%60) PSMA pozitif, 4/10 (%40) PSMA negatif], 6 kemik metastazı [5/6 (%83) PSMA pozitif, 1/6 (%17) PSMA negatif], 4 akciğer metastazı [2/4 (%50) PSMA pozitif, 2/4 (%50) PSMA negatif], 3 beyin metastazı [3/3 (%100) PSMA pozitif olup F-18 FDG PET rezolüsyon sınırlılığı nedeni ile saptanamayan lezyonları da saptadı], 1 uzak nodal metastaz [1/1 (%100) PSMA pozitif] mevcuttu. İmmünohistokimyasal olarak yapılan incelemede 25/29 dokuda (%86) Claudin 1 pozitif, 25/29 (%86) Claudin 2 pozitif, 13/29 (%45) Claudin 7 pozitif, 14/29 (%48) PSMA pozitif olarak boyandı. Ga-68-PSMA SUV<sub>maks</sub> sonuçları ile PSMA reseptör skorlaması arasında pozitif yönde yüksek korelasyon saptanmıştır.

**Sonuç:** Primer tümöral lezyonun tespitinde Ga-68-PSMA PET/BT sonuçları tatmin edicidir. Ayrıca TN meme kanserli olgularda beyin metastazlarını saptamada Ga-68 PSMA PET/BT'nin F-18 FDG PET/BT'ye üstün olduğu gözlenmiştir. Buna karşılık, diğer metastatik alanlarda ise F-18 FDG uptake'i ve tanışal duyarlılığı daha yüksektir. Ek olarak, PSMA ekspresyonun tespitinin teranostik değeri nedeniyle TN tip meme kanserli metastatik olgularda yüksek tümöral uptake varlığı durumunda radyonüklid tedavi uygulaması için Ga-68-PSMA'nın potansiyel bir rolü olabileceğini düşündürmektedir.

**Anahtar Kelimeler:** Triple negatif, meme kanseri, Ga-68-PSMA PET/BT, F-18 FDG PET/BT, Claudin 1, Claudin 4, Claudin 7

<b>Tablo 1. Claudin 1, 4, 7 ve PSMA reseptör skorlaması ile primer meme tümöründe F-18 FDG uptake arasındaki korelasyon</b>	
Claudin 1 skoru-FDG SUV <sub>maks</sub>	r=-0,3
Claudin 4 skoru-FDG SUV <sub>maks</sub>	r=0,008
Claudin 7 skoru-FDG SUV <sub>maks</sub>	r=-0,12
PSMA skoru-FDG SUV <sub>maks</sub>	r=0,19
FDG: Florodeoksiglikoz, PSMA: Prostat spesifik membran antijen	

<b>Tablo 2. Claudin 1, 4, 7 ve PSMA reseptör skorlaması ile primer meme tümöründe PSMA uptake arasındaki korelasyon</b>	
Claudin 1 skoru-PSMA SUV <sub>maks</sub>	r=0,04
Claudin 4 skoru-PSMA SUV <sub>maks</sub>	r=0,05
Claudin 7 skoru-PSMA SUV <sub>maks</sub>	r=0,2
PSMA skoru-PSMA SUV <sub>maks</sub>	r=0,7
PSMA: Prostat spesifik membran antijen	

### [SS-036]

#### Radyoaktif İyot-dirençli Tiroid Kanserli Hastalarda Ga-68 PSMA PET/BT Bulguları

Göksel Alçın, Özge Erol, Ediz Beyhan, Rahime Şahin, Tevfik Fikret Çermik

Sağlık Bilimleri Üniversitesi, İstanbul Eğitim ve Araştırma Hastanesi, Nükleer Tip Kliniği, İstanbul

**Amaç:** Diferansiyel tiroid karsinomu (DTK) en yaygın tiroid kanseri türündür. Cerrahi, radyoaktif iyot (RAI) ve tiroid uyarıcı hormon (TSH) supresyonu çoğu hastada tedavi için yeterli olmakla birlikte nüks gelişen hastaların %5-15'i RAI'ya dirençli hale gelir ve bu hasta grubunda tedavi seçenekleri sınırlıdır. Cerrahi ve/veya eksternal radyoterapi gibi lokal tedavi yöntemleri uygulanabilece de bu tedaviler metastatik tümör yayılımını önlemek için yeterli değildir. Konvansiyonel kemoterapötiklerin başarı göstermediği bu hastalarda tirozin kinaz inhibitörleri (TKI) ile hedefe yönelik tedaviler ve/veya Lu-177 DOTA-peptidler ile PRRT gibi sistemik tedavi stratejileri alternatif tedavi yöntemleridir. Prostat kanseri için geliştirilen Ga-68 PSMA pozitron emisyon tomografisi/bilgisayarlı tomografi (PET/BT), tiroid karsinomu dahil bazı malignitelerde umut vadeden alternatif bir görüntüleme yöntemidir. Bu çalışmanın amacı, tiroglobulin (TG) veya anti-tiroglobulin (anti-TG) yükseklüğine rağmen radyoaktif iyotlarla görüntülemeyen ve dolayısıyla RAI'ya dirençli DTK'lı hastalarda Ga-68 PSMA PET/BT görüntülemeyi analiz etmek ve bu hastalarda teranostik tedavi potansiyelini değerlendirmektir.

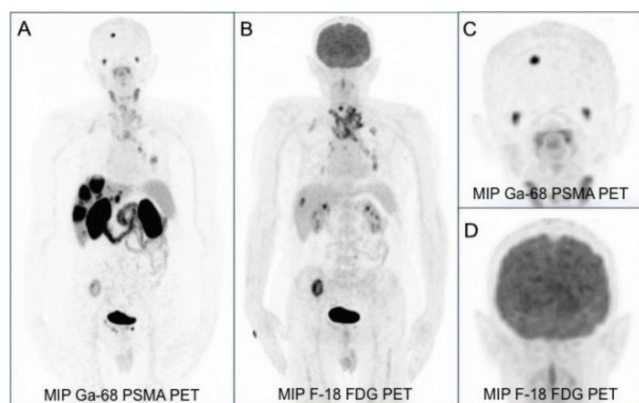
**Yöntem:** DTK nedeniyle multipl RAI tedavisi alan (ortalama 703 mCi, 350-1200 mCi), RAI tedavisine rağmen TG değerlerinde yükselme saptanan ve son RAI tedavi sonrası tüm vücut taramaları negatif (TSH >49, TG değerleri ise 32->494) olan toplam 8 hasta (5 kadın, 3 erkek; ortalama yaş 49,75±4,5 26-65) çalışmaya dahil edildi ve bu hastalarda Ga-68 PSMA PET/BT ile tüm vücut görüntüleme yapıldı.

**Bulgular:** Ga-68 PSMA PET/BT görüntülerinde, üç hastada bilateral akciğerde milimetrik nodüler lezyonda hafif PSMA tutulumu saptandı (SUV<sub>maks</sub>: 3-4). Bir hastada bilateral servikal subsantimetrik lenf nodunda hafif PSMA tutulumu izlendi. Bir olguda tiroid sol lob loju inferioru vasküler yapılar komşuluğunda subsantimetrik lenf nodunda minimal PSMA tutulumu

izlenmiş ve TG wash-out ve ince iğne aspirasyon biyopsisi yapılmıştır. Bir olguda tiroid sağ lob lojunda minimal PSMA ve FDG tutulumu saptanmış olup takiptedir. Bir olgunun F-18 florodeoksiglikoz (FDG) ve PSMA PET/BT'de sternumda fokal tutulum metastaz lehine değerlendirilmiştir. Boyunda lokal progresyonu ve kemik metastazları nedeniyle TKİ alan bir olguda ise FDG PET/BT'de boyun ve kemiklerde multipl metastatik yoğun FDG tutulumları izlenirken PSMA PET/BT'de ek olarak yoğun PSMA tutulumu gösteren karaciğer metastazları ve beyin metastazı saptanmıştır. Ayrıca bazı kemik metastazlarında FDG'ye kıyasla daha yoğun PSMA tutulumları izlenmiştir.

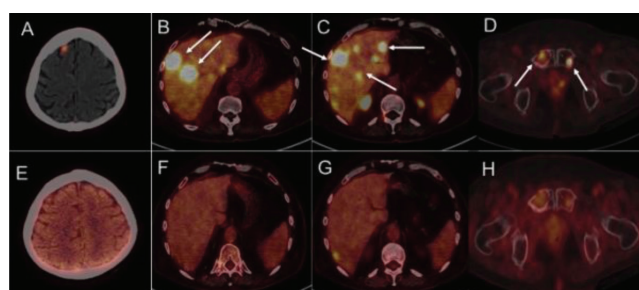
**Sonuç:** RAI'ya dirençli RAI negatif olgularda TKİ/Lu-177-PRRT sonuçları tatmin edici değildir. Teranostik bir ajan olan PSMA ile görüntülemede diğer metabolik görüntüleme yöntemlerinin negatif olduğu olgularda yeniden evreleme için yararlı sonuçlar verme potansiyeli dışında bu hasta grubunda yüksek tümöral PSMA tutulumu, Lu-177 ve Ac-225 işaretli potansiyel bir radyonüklid tedavi seçeneği olabilir. Bu hasta grubunda PSMA işaretli görüntüleme ve tedavi konusunda daha fazla çalışmaya ihtiyaç olduğunu düşünmektedir.

**Anahtar Kelimeler:** Radyoaktif iyot-refrakter, tiroid kanseri, Ga-68, PET/BT, PSMA



**Resim 1.** Karaciğer ve beyin metastazı saptanmış olgu MIP görüntüleri

FDG: Florodeoksiglikoz, PET: Pozitron emisyon tomografi, MIP: Maksimum yoğunlukta projeksiyon



**Resim 2.** Karaciğer ve beyin metastazı saptanmış olgu aksiyel PET/BT görüntüleri

PET/BT: Pozitron emisyon tomografi/bilgisayarlı tomografi

## [SS-037]

### Meme Kanserli Hastalarda Aksiller Metastaz Saptamada US ve PET/BT Tekniklerinin Doğruluğu

Gülten Sezgin<sup>1</sup>, Sevgi Ünal<sup>1</sup>, Gülhan Kaya Altinci<sup>2</sup>

<sup>1</sup>Izmir Katip Çelebi Üniversitesi, Atatürk Eğitim ve Araştırma Hastanesi, Radyoloji Kliniği, İzmir

<sup>2</sup>Izmir Katip Çelebi Üniversitesi, Atatürk Eğitim ve Araştırma Hastanesi, Nükleer Tip Kliniği, İzmir

**Amaç:** Aksiller lenf nodunun durumu meme kanserli hastalarda tedavi şeklini ve прогнозу belirleyen en önemli parametrelerden biridir. Sentinel lenf nodu biyopsisi, aksiller nodal değerlendirmede genel kabul görmüş invaziv bir yöntemdir. Ancak %5-19 arasında değişen yanlış negatifliği söz konusudur. Tanı aşamasında aksiller metastaz durumu hakkında güvenilir veri elde etmek hastaya doğru yaklaşımda bulunmak için çok değerlidir. Preoperatif aksiller metastaz varlığı sıkılıkla ultrasonografi (US) ile günümüzde manyetik rezonans görüntüleme ve pozitron emisyon tomografi/bilgisayarlı tomografi (PET/BT) ile değerlendirilmektedir. Biz de bu çalışmada meme kanserli hastalarda rutin olarak kullanılan US ile daha çok evreleme amaçlı kullanılan PET/BT tekniklerinin aksiller metastaz saptamadaki doğruluğunu değerlendirmek istedik.

**Yöntem:** Ocak 2019-Aralık 2020 tarihleri arasında merkezimizde BI-RADS 4-5 olarak raporlanan 218 hastanın verileri retrospektif olarak değerlendirildi. Meme kanseri tanısı alanlardan preoperatif dönemde meme US ve PET/BT tekisi bulunan ve merkezimizde opere olan hastalar çalışmaya dahil edildi. Neadjuvant kemoterapi alanlar dışlandı. Her iki yöntemin duyarlılık, özgüllük, pozitif ve negatif öngörü değerleriyle doğruluk oranları hesaplandı.

**Bulgular:** Değerlendirilen 25 hastanın yaş ortalaması  $56,56 \pm 11,3$  (31-93) idi. Lezyon boyutları 1-9 cm arasında değişmekte olup ortalaması  $3,46 \pm 1,6$  cm idi. Yirmi üç hasta pür ya da misk invaziv duktal karsinom tanılı iken, bir hasta invaziv lobüler, bir hasta invaziv duktolobüler karsinom tanılı idi. Patolojik olarak 18 olguda aksiller metastaz saptanmış olup en büyük lenf nodunun ortalama boyutu  $1,8 \pm 0,5$  (0,3-3) cm idi. Lenf nodu sayısı değerlendirilmedi. Her iki yöntemin doğruluk oranı %72 olup birbirine eşit bulundu (Tablo 1).

**Sonuç:** Aksiller metastatik lenf nodları US'de, asimetrik kortikal kalınlaşma, hilusun baskılanması, ovoid şeklin kaybolması, korteksin beklenenden hipoekoik izlenmesi gibi bulgularla ayrıt edilebilir. Ancak bu bulguların çoğu reaktif lenf nodlarında da görülebilmektedir. PET/BT'de ise eşik düzeyi aşan SUV değerleri görülür. Preoperatif dönemde sonografik olarak metastazın net söylemenmediği durumlarda, görüntüleme eşliğinde ince işne aspirasyon biyopsisi eklenerken doğru evrelemeye katkıda bulunulabilecegi bilinmemektedir. Çalışmamızda literatürle uyumlu olarak US ve PET/BT'ye ait duyarlılık, özgüllük, pozitif öngörü vb. değerler birbirine yakındır. Yanlış negatif olguların US'de %60'ını, PET/BT'de %75'ini mikrometastazlar ve izole tümör hücreleri oluşturmuştur. Bunlar göz önüne alındığında, meme kanserli hastalarda aksiller metastaz varlığı ya da yokluğunun tespitinde non-invaziv görüntüleme yöntemlerinin güvenilir olduğu görülmektedir. Özellikle pozitif öngörü değerleri her iki tetricde yüksek düzeydedir.

**Anahtar Kelimeler:** Aksiller lenf nodu metastazı, ultrasonografi, PET/BT

**Tablo 1. Ultrasonografi ve PET/BT'nin aksiller metastaz saptama etkinliği**

	Duyarlılık	Özgüllük	Pozitif öngörü	Negatif öngörü	Doğruluk
US	73,7	66,7	87,5	44,4	72
PET/BT	77,8	57,1	82,3	50	72

US: Ultrasonografi, PET: Pozitron emisyon tomografi, BT: Bilgisayarlı tomografi

## [SS-038]

### Ga-68 DOTA-TATE PET/BT Görüntülemede Somatostatin Rezeptör Ekspresyonu Gösteren Benign Bulgular

Seray Saracoğlu, Filiz Özükter, Savaş Karyağar, Tamer Özükter

Sağlık Bilimleri Üniversitesi, Prof. Dr. Cemil Taşçıoğlu Şehir Hastanesi, Nükleer Tip Kliniği, İstanbul

**Amaç:** Bu çalışmanın amacı Ga-68 DOTA-TATE pozitron emisyon tomografi/bilgisayarlı tomografi (PET/BT) görüntülemede somatostatin rezeptör ekspresyonu gösteren benign bulguların araştırılmasıdır.

**Yöntem:** Temmuz 2017 ile Kasım 2019 tarihleri arasında Ga-68 DOTA-TATE PET/BT görüntüleme yapılmış olan 142 hastanın medikal verileri retrospektif olarak incelendi. Bu hastalar arasında Ga-68 DOTA-TATE tutulumu gösteren ve benign olduğu radyolojik veya histopatolojik olarak verifiye edilmiş lezyonları bulunan 21 hasta çalışmaya dahil edildi.

**Bulgular:** Ga-68 DOTA-TATE PET/BT görüntüleme ile benign bulgu saptanan 21 hastanın 2'sinde boyunda tespit edilen Ga-68 DOTA-TATE tutulumu gösteren lenf nodlarının histopatolojik tanısı reaktif hiperplazik lenf nodları şeklindeydi. Üç hastada tiroid glandında görülen fokal tutulular sonrası yapılan tiroid biyopsileri 2 hastada benign foliküler nodül, 1 hastada benign kolloidal nodül olarak sonuçlandı. Üç hastada prostat glandında artmış Ga-68 DOTA-TATE tutuluları izlenmişti. Üç hastanın 2'sinde histopatolojik tanı atipik asiner proliferasyon, 1 hastada ise prostat adenomyomatöz hiperplazisi idi. İki hastada midedeki artmış Ga-68 DOTA-TATE tutulularının sebebinin endoskopik biyopsi ile kronik gastrit olduğu belirlendi. Üç hastada adrenal glandlarında artmış Ga-68 DOTA-TATE tutuluları görülmüştü. Bu hastaların histopatolojik ve radyolojik olarak değerlendirilmesi sonucu adrenal lezyonlarının surrenal adenom, feokromasitoma ve adrenal bez hiperplazisi olduğu görüldü. Bir hastada adrenal bez komşuluğunda fokal tutulum gösteren lezyonun histopatolojik tanısı ise paraganglioma idi. İki hastada beyinde yoğun Ga-68 DOTA-TATE tutulum odakları izlenmişti. Kraniyal manyetik rezonans görüntülemesinde bu lezyonlar menenjioma olarak değerlendirildi. İki hastada uterusta görülen artmış Ga-68 DOTA-TATE tutuluları nedeniyle yapılan radyolojik ve histopatolojik değerlendirilmede bu hastalarda endometrial polip ve uterus myomatous görüldü. Üç hastada ise pelvik kemiklerde tutulular mevcuttu. Bu hastaların radyolojik değerlendirilmesinde manyetik rezonans görüntüleme görüntüleri 2 hastada fraktüre sekonder enfamatuvvar proses, 1 hastada ise gelişimsel kalça displazisi sekeli şeklinde raporlandı.

**Sonuç:** Benign lezyonların ve enfamatuvvar süreçlerin de somatostatin rezeptör ekspresyonu gösterebileceğinin göz önünde bulundurulması Ga-68 DOTATATE PET/BT görüntülerinin daha doğru değerlendirilmesi açısından önem taşımaktadır.

**Anahtar Kelimeler:** Galyum-68 DOTATATE, pozitron emisyon tomografisi/bilgisayarlı tomografi

### [SS-039]

#### MCRPCA Hastalarında 2. Kuşak Antiandrojen Tedavi Yanıtı Değerlendirmesinde Ga-68 PSMA PET/BT ile PSA Yanıtı Karşılaştırması

Gündüzalp Buğrahan Babacan<sup>1</sup>, Osman Güven<sup>1</sup>, Savaş Karyağar<sup>1</sup>, Sevda Sağlampınar Karyağar<sup>1</sup>, Orçun Can<sup>2</sup>, Tamer Özüker<sup>1</sup>

<sup>1</sup>Sağlık Bilimleri Üniversitesi, Prof. Dr. Cemil Taşçıoğlu Şehir Hastanesi, Nükleer Tip Kliniği, İstanbul

<sup>2</sup>Sağlık Bilimleri Üniversitesi, Prof. Dr. Cemil Taşçıoğlu Şehir Hastanesi, Tıbbi Onkoloji Kliniği, İstanbul

**Amaç:** Metastatik kastrasyona dirençli prostat kanseri hastalarda 2. kuşak antiandrojen tedavi yanıtının değerlendirilmesinde Ga-68 prostat spesifik membran antijen (PSMA) pozitron emisyon tomografi/bilgisayarlı tomografi (PET/BT) cevap kriterleri ile PSA cevabı arasındaki ilişkiyi incelemek.

**Yöntem:** İkinci kuşak antiandrojen tedavisi alan 21 hasta (abiraterone 6 hasta, enzalutamide 15 hasta) çalışmaya dahil edildi. Bazal ve tedavi yanıtı amacıyla (en az 3 ay arayla) yapılmış olan Ga-68 PSMA PET/BT görüntülemeleri retrospektif olarak değerlendirildi. Hastaların görüntülemeden maksimum 15 gün öncesinde yapılmış olan serum prostat spesifik antijen (PSA) değerlerinde bazal değere göre  $\Delta$ gt; %50 azalma tedavi yanımı olarak; bazal değere veya nadir değere göre  $\Delta$ gt; %25 ve 2 ng/mL artış biyokimyasal progresyon olarak kabul edildi. Ga-68 PSMA PET/BT görüntülemeleri ile tedavi cevabı değerlendirilmesi EORTC kriterlerine göre yapıldı.

**Bulgular:** PSA sonuçlarına göre 15 hasta progrese, 5 hasta regrese 1 hasta da stabil idi. PSA sonuçlarına göre progrese olan 15 hastanın tamamı PSMA PET/BT bulgularına göre de progrese idi. Bu hastaların 13'ünde yeni lezyon tespit edildi. İki hastada ise yeni lezyon tespit edilmeksızın PSMA reseptör ekspresyonunda  $\Delta$ gt; %25 artış izlendi. Yeni lezyon izlenen hastaların 11'inde kemikte, 5'inde ekstra pelvik lenf nodlarında ve 3'ünde de pelvik lenf nodlarında yeni gelişen metastatik PSMA pozitif odaklar vardı. PSA sonuçlarına göre regresyon olarak değerlendirilen 5 hastanın 2'si Ga-68 PSMA PET/BT sonuçlarına göre progresyon, 3'ü regresyon olarak değerlendirildi. Bu gruptaki hiçbir hastada Ga-68 PSMA PET/BT'de yeni lezyon tespit edilmedi. PSA ile Ga-68 PSMA PET/BT verileri arasındaki uyumsuzluklar, PSMA ekspresyon parametreleri üzerinden yapılan değerlendirme ile tespit edildi. PSA sonuçlarına göre stabil hastalık olan olgunun PSMA görüntülerinde yeni lezyon izlenmesi nedeniyle bu olgu progresyon olarak kabul edildi.

**Sonuç:** PSA progresyonu ile PSMA progresyonu arasında tam uyum mevcut olup görüntülemedeki progresyon genellikle yeni lezyon varlığıyla ortaya çıkmaktadır. PSA regrese grupta, Ga-68 PSMA PET/BT verilerine göre progrese olan olguların hiçbirinde yeni lezyon izlenmezken, uyumsuzluk PSMA ekspresyon seviyelerine dayalı değerlendirme ortaya çıkmaktadır.

**Anahtar Kelimeler:** Metastatik prostat kanseri, EORTC önerileri

### [SS-040]

#### Rektum Kanseri Primer Evrelemede FDG PET/BT ve Difüzyon Ağırlıklı MRG

Ayça Arçay ÖzTÜRK<sup>1</sup>, Funda Aydin<sup>1</sup>, Ayşe Keven<sup>2</sup>, Zeynep Gülgül Kiprak<sup>1</sup>, Müge Nur Engin<sup>1</sup>, Ceyda Nur Dündar Çağlayan<sup>1</sup>, Muhittin Yaprak<sup>3</sup>, Adil Boz<sup>1</sup>

<sup>1</sup>Akdeniz Üniversitesi Tıp Fakültesi, Nükleer Tip Anabilim Dalı, Antalya

<sup>2</sup>Akdeniz Üniversitesi Tıp Fakültesi, Radyoloji Anabilim Dalı, Antalya

<sup>3</sup>Akdeniz Üniversitesi Tıp Fakültesi, Genel Cerrahi Anabilim Dalı, Antalya

**Amaç:** Çalışmanın amacı, rektum kanseri hastalarında tedavi öncesi primer evrelemede florodeoksiglikoz (FDG) pozitron emisyon tomografi/bilgisayarlı

tomografi (PET/BT) bulguları ve parametrelerini, difüzyon ağırlıklı manyetik rezonans görüntüleme (MRG) bulguları ve parametreleri ile ve operasyon sonrası patoloji bulguları ile karşılaştırmaktır.

**Yöntem:** Hastanemizde 2016-2019 yılları arasında primer evrelemede operasyon öncesi FDG PET/BT ile MRG görüntüleri olan ve operasyon sonrası patolojik evrelemesi mevcut 27 rektum kanseri hastası çalışmaya dahil edildi. FDG PET/BT görüntülemesinde primer tümör bölgesinde çizilen volümnetrik ilgi alanlarından elde edilen  $SUV_{maks}$ ,  $SUV_{mean}$ , metabolik tümör hacmi (MTV) ve total lezyon glikolizi (TLG) parametreleri, MRG görüntülemelerinde primer tümör alanından elde edilen ADC değerleri kaydedildi. Operasyon sonrası patolojik evrelemesi, MRG bulgularına göre evrelemesi ve PET/BT'de izlenen patolojik bulgular değerlendirmeye alındı.

**Bulgular:** Çalışmaya dahil edilen 16 erkek, 11 kadın toplam 27 hastanın yaş ortalaması 60 (31-82) idi. Operasyon öncesi yapılan FDG PET/BT ve MRG tetkikler arası geçen ortanca gün sayısı 5 (0-25) gün idi. Primer tümör alanlarından alınan FDG PET/BT parametreleri ( $SUV_{maks}$ ,  $SUV_{mean}$ , MTV ve TLG) ve MRG ADC değerleri arasındaki ilişki incelendiğinde MTV ile ADC arasında negatif orta düzeyde (Spearman,  $p=-0,390$ ;  $p=0,044$ ) ve  $SUV_{maks}$  ile  $SUV_{mean}$  değerleri arasında pozitif güçlü (Spearman,  $p=0,99$ ;  $p<0,001$ ) anlamlı korelasyon saptanırken diğer PET parametreleri ve ADC arasında negatif zayıf-orta düzeyde korelasyon izlense de istatistiksel anlamlı olarak saptanmamıştır ( $p>0,05$ ). PET/BT'de lenf nodu pozitif ve negatif olan hasta gruplarında primer tümör PET ve MRG parametreleri arasındaki farka bakıldığından,  $SUV_{maks}$ ,  $SUV_{mean}$  değerlerinde anlamlı fark izlenmezken TLG ve MTV değerleri, lenf nodu pozitif grupta negatif gruba göre anlamlı daha yüksek izlenmiştir (Mann-Whitney U, sırasıyla;  $p=0,026$  ve  $p=0,02$ ); ADC değerleri ise lenf nodu negatif grupta pozitif gruba göre anlamlı daha yüksek izlenmiştir (Mann-Whitney U,  $p=0,03$ ). Operasyon sonrası patolojik evrelemeye göre bakıldığından; lenf nodu deteksiyonu açısından MRG ve PET/BT duyarlılık, özgüllük ve doğruluk sırasıyla; %71,4; %23,1; %48,1 ve %78,6; %30,8; %55,5 olarak izlenmiştir. Patolojik T evresi 3 ve 4 olan lokal ileri evre 21 hastanın PET/BT bulgularında 12 hastada çevre yağılı dokuda bulanıklaşma izlenmiştir, ayrıca 21 hastadan çevre yağılı dokuda bulanıklaşma izlenmeyen 2 hastada uzak metastaz tespit edilmiş olup hastanın evrelendirmesine katkıda bulunmuştur. Patolojik T evresi 3 ve 4 olan 21 hastanın 19'unda MRG T evresi de benzer şekilde lokal ileri evre olarak izlenmiştir.

**Sonuç:** Tümörün lokal evrelemesinde MRG, FDG PET/BT'ye üstündür; lenf nodu evrelemesinde ise MRG ile FDG PET/BT'nin duyarlılıklarını benzer izlenmiştir. Tedavi öncesi primer tümörlerde ADC ile MTV arasında saptanan negatif korelasyon, tümör sellüleritesi ve metabolik aktivite arasındaki ilişkiyi doğrulamaktadır.

**Anahtar Kelimeler:** Rektum kanseri, FDG PET/BT, MRG, difüzyon ağırlıklı MRG, primer evreleme, MTV, TLG, ADC

### [SS-041]

#### F-18 FDG PET/BT Görüntülemede Kolonda İnsidental F-18 FDG Tutulumunun Prevalansı ve Klinik Önemi

Yasemin Gökdelen<sup>1</sup>, Filiz Özüker<sup>2</sup>, Tamer Özüker<sup>2</sup>

<sup>1</sup>Sağlık Bilimleri Üniversitesi, Prof. Dr. Cemil Taşçıoğlu Şehir Hastanesi, İç Hastalıkları Kliniği, İstanbul

<sup>2</sup>Sağlık Bilimleri Üniversitesi, Prof. Dr. Cemil Taşçıoğlu Şehir Hastanesi, Nükleer Tip Kliniği, İstanbul

**Amaç:** Bu çalışmanın amacı, kolon dışındaki malignitelerin değerlendirilmesi için yapılan F-18 florodeoksiglikoz (FDG) pozitron emisyon tomografi/bilgisayarlı tomografi (PET/BT) çalışmalarında kolonda fokal tutulum prevalansını, insidental fokal FDG avid kolon lezyonlarında malignite

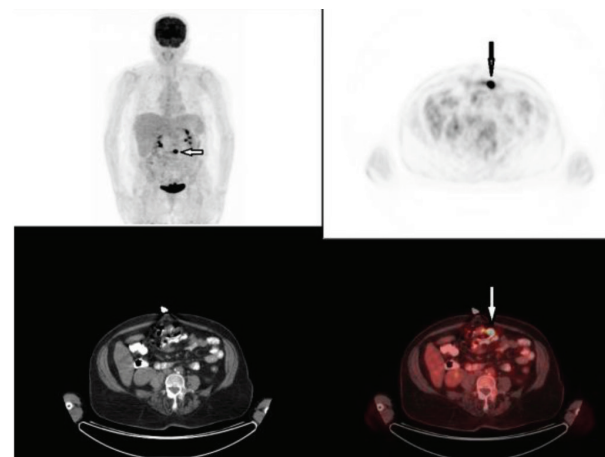
oranını belirlemek ve  $SUV_{\text{maks}}$  değerlerinin malign lezyonların premalign ve benign olanlardan ayırt edilmesinde olası rolünü araştırmaktır.

**Yöntem:** Bu amaçla kurumumuzda Kasım 2017-2019 döneminde malignitesi bilinen veya şüphelenilen hastaların tüm vücut F-18 FDG PET/BT dosyalarını geriye dönük olarak inceledik. Daha önce kolorektal kanser ve enflamatuvur bağırsak hastalığı öyküsü olan hastalar çalışmamızda dahil edildi. F-18 FDG PET çalışmalarında karaciğer uptake'ine kıyasla daha yoğun, fokal olarak artmış kolonik F-18 FDG alımı gösteren ve kolonoskopise sevk edilen 62 hastada (30 erkek, 32 kadın; yaş aralığı: 19-88 y; ortalama yaş,  $63,66 \pm 10,09$  y) çalışmaya dahil edildi. Kolonoskopisi sonrası lezyonların histopatolojik değerlendirmesi altın standart olarak kullanıldı. Çalışma süresince yapılan PET/BT taramalarından, 62 hastada 95 fokal olarak artmış kolonik F-18 FDG tutulumu bulundu. Fokal FDG tutulumu gösteren bu 62 hastanın 52'sinde (%83,8) kolonkopide karşılık gelen en az 1 lezyon varken 10 hastada hiçbir lezyon saptanmadı. Sonraki histopatolojik incelemelerde karşılık gelen lezyon saptanmayarak fizyolojik tutulum olarak değerlendirilen 13 (%13,6) tutulum odağı, 18 (%18,9) benign lezyon, 10 (%10,5) hiperplastik polip, 16 (%16,8) low-grade polip, 29 (30,5) high-grade polip ve 9 (%9,4) malign lezyon izlendi. Böylece şüpheli hipemetabolik odakların toplam 54'ünde premalign lezyon (high grade polip+low grade polip) ve malign lezyon tespit edilerek pozitif prediktif değer %56,8 olarak hesaplandı.

**Bulgular:** Histopatoloji sonuçlarına göre malign ve benign olguların  $SUV_{\text{maks}}$  ölçümleri arasında anlamlı farklılık saptanmamıştır ( $p>0,05$ ). Buna karşılık, malign lezyonların  $SUV_{\text{maks}}$  ölçümleri low+high grade lezyonlardan ve hiperplastik poliplerden anlamlı düzeyde yüksek olarak saptanmıştır (sırasıyla;  $p<0,05$  ve  $p<0,01$ ) (Tablo 1). Lezyon boyutu <1 cm olan olguların  $SUV_{\text{maks}}$  ölçümleri diğer boyutlardan istatistiksel olarak anlamlı düzeyde düşük saptanmıştır ( $p<0,05$ ). Malign ve low+high grade gruplarına göre  $SUV_{\text{maks}}$  ölçümleri için cut-off noktası 5,2 ve üzeri olarak saptanmıştır.  $SUV_{\text{maks}}$  ölçümünün 5,2 kesme değeri için; duyarlılık %88,9 özgüllük %62,2, pozitif kestirim değeri %32, negatif kestirim değeri %96,6 ve doğruluk %85,2'dir. Onkoloji hastalarında F-18 FDG PET/BT çalışmalarında saptanan kolonik fokal F-18 FDG tutulumu %56,8 oranında malign lezyonu temsil etmeyecek olup, endoskopik doğrulama gereklidir.

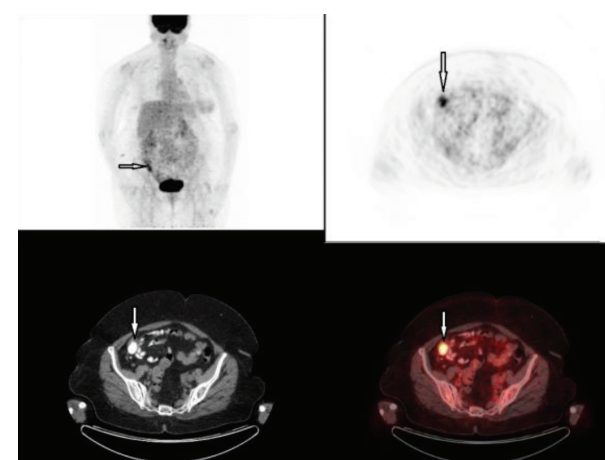
**Sonuç:** Malign lezyonların  $SUV_{\text{maks}}$  ölçümleri low+high grade lezyonlardan ve hiperplastik poliplerden istatistiksel olarak anlamlı düzeyde yüksek olarak saptanması ve  $SUV_{\text{maks}}$  ölçümleri için cut-off noktası olarak alınan 5,2'nin altında  $SUV_{\text{maks}}$  değerlerinin bulunması endoskopik gerekliliğini ortadan kaldırır nitelikte bulunmamıştır.

**Anahtar Kelimeler:** İnsidentaloma, kolon kanseri, FDG PET/BT



**Resim 1.** Altı yaşındaki meme kanseri hastanın F-18 FDG PET/BT'sinde transverse kolonda çok yoğun hipemetabolik ( $SUV_{\text{maks}}$  49) kitlesel lezyonun (oklar) histopatolojisi intramukozal karsinoma olarak geldi

F-18 FDG: F-18 florodeoksiglikoz, PET: Positron emisyon tomografi, BT: Bilgisayarlı tomografi



**Resim 2.** Altı yaşındaki meme kanseri hastanın F-18 FDG PET/BT'sinde insidental olarak saptanan hafif şiddette hipemetabolik ( $SUV_{\text{maks}}$  11) lezyonun (oklar) histopatolojisi ülsere zeminli granülasyon dokusu olarak geldi

F-18 FDG: F-18 florodeoksiglikoz, PET: Positron emisyon tomografi, BT: Bilgisayarlı tomografi

**Tablo 1. Histopatolojilere göre  $SUV_{\text{maks}}$  değerlendirmeleri**

Histopatoloji	n	$SUV_{\text{maks}}$ Ort $\pm$ SS	$SUV_{\text{maks}}$ min-maks (medyan)	p
Benign	18	$7,88 \pm 5,09$	2,9-24,6 (6,9)	0,080
Malign	9	$14,41 \pm 14,39$	0-49,8 (11,3)	-
Low grade+high grade	45	$6,54 \pm 7,87$	0-27 (4,1)	0,020*
Malign	9	$14,41 \pm 14,39$	0-49,8 (11,3)	-
Hiperplastik polip	10	$2,76 \pm 5,12$	0-16,3 (0)	0,008**
Malign	9	$14,41 \pm 14,39$	0-49,8 (11,3)	-

Mann-Whitney U test \*\* $p<0,01$ ; \* $p<0,05$ , SS: Standart sapma

**[SS-042]****Pulmoner Nodüllerin Boyutlarına ve SUV Değerlerine Göre FDG PET/BT'nin Tanısal Değeri**Ebru Tatçı<sup>1</sup>, Özlem Özmen<sup>1</sup>, Berna Okudan Tekin<sup>2</sup><sup>1</sup>Sağlık Bilimleri Üniversitesi, Ankara Atatürk Göğüs Hastalıkları ve Göğüs Cerrahisi Eğitim ve Araştırma Hastanesi, Nükleer Tip Kliniği, Ankara<sup>2</sup>Ankara Şehir Hastanesi, Nükleer Tip Kliniği, Ankara

**Amaç:** Bu çalışmanın amacı benign ve malign pulmoner nodüllerin boyutları ile SUV<sub>maks</sub> arasındaki ilişkinin değerlendirilmesidir. Ayrıca bu çalışmada farklı boyuttaki nodüllerde pozitron emisyon tomografi/bilgisayarlı tomografinin (PET/BT) malignitenin saptanmasındaki etkinliği araştırılmıştır.

**Yöntem:** Pulmoner nodül saptanan ve 2009-2020 yılları arasında FDG PET/BT tettikti yapılan hastaların görüntüleri retrospektif olarak incelendi. Nodül boyutu 6-30 mm arasında olan, PET/BT sonrasında patolojik tanısı konan veya yeterli süre BT takibi yapılan hastalar çalışmaya alındı. Nodüller benign ve malign olarak iki gruba ayrıldı. SUV<sub>maks</sub> değeri 2,5 ve üstünde olan nodüller PET/BT pozitif olarak kabul edildi. Nodüller boyutlarına göre 3 gruba ayrıldı: grup 1=10 mm ve daha küçük; grup 2=11-20 mm; grup 3=21-30 mm. Gruplara göre benign ve malign nodüllerin SUV<sub>maks</sub> değerleri karşılaştırıldı. PET/BT'nin malign nodülü saptamadaki sensitivitesi, spesifitesi ve doğruluğu belirlendi. İstatistiksel yöntem olarak SPSS 23. versiyon paket programı kullanıldı. Student's t-testi ile analizler yapıldı.

**Bulgular:** Çalışmaya 65,7±10,7 (30-89) yaş ortalamasına sahip 144 olgu (107 erkek, 37 kadın) dahil edildi. Nodüllerin 70'i (%48,6) benign, 74'ü

(%51,4) maligndi (Tablo 1). Nodüllerin ortalama boyutu 17,8±6,4 mm (aralık, 6-30 mm) olarak hesaplandı. FDG PET/BT'nin tüm nodüller için sensitivitesi %85,14, spesifitesi %72,86 ve doğruluğu %79,17 olarak belirlendi. Bu değerler sırasıyla; grup 1 için %60, %88,89, %82,61, grup 2 için %84,78, %72,22, %79,27, grup 3 için %91,3, %56,25 ve %76,92 olarak bulundu. Toplam 144 olguda benign nodüllerin ortalama boyutu, ( $p=0,000$ ) ve ortalama SUV<sub>maks</sub> değeri ( $p=0,000$ ) malign nodüllere göre daha düşüktü. Boyutu ≤10 mm küçük olup grup 1'de bulunan benign nodüller ile malign nodüller arasında SUV<sub>maks</sub> açısından istatistiksel anlamlı fark saptanmadı ( $p=0,177$ ). grup 2 ve grup 3'te bulunan benign nodüllerin ortalama SUV<sub>maks</sub> değeri malign nodüllerden düşüktü ( $p=0,000$ ).

**Sonuç:** Çalışmamızda boyutu 10 mm'nin altında olan nodüllerin ayırcı tanısında PET/BT tettikinin sensitivitesi düşük olarak saptandı (%60). Ancak küçük nodüllerde spesifite %88,89 olarak bulundu. F-18 florodeoksiglikoz (FDG) tutulumu gösteren küçük nodüllere histopatolojik inceleme yapılması maligniteyi erken evrede yakalamak için uygun olabilir. Solid, FDG tutulumu göstermen, pretest malignite riski düşük olan hastalarda BT ile takip yapılabilir. Ancak çalışmamızda boyutu 10 mm'nin altında olan benign nodüllerin sayısının az olması (23 olgu) nedeni ile daha çok olguya içeren geniş kapsamlı çalışmalar yapılmalıdır. Nodül boyutu arttıkça PET/BT'nin sensitivitesi artmaktadır. Ancak grup 2 ve grup 3'te spesifite düşük olarak bulunmuştur (sırasıyla, %72,2 ve %56,25). Bunun sebebi hatalı pozitifliği yol açan enfekatif ve inflamatuvar lezyonların boyutlarının artışıyla birlikte FDG tutulumlarının da artması ve büyük boyutlu nodüllerde klinikleşenlerin daha fazla PET istemesi olabilir. Kesin tanı histopatolojik inceleme ile konmalıdır.

**Anahtar Kelimeler:** FDG PET/BT, benign pulmoner nodül, malign pulmoner nodül

**Tablo 1. Pulmoner nodüllerin tanıları**

Histopatolojik tanı	n	Histopatolojik tanı	n
<b>Malign</b>		<b>Benign</b>	
Adenokarsinom	51	Antraktik akciğer parankimi	8
Küçük hücreli akciğer kanseri	2	Arteriovenöz malformasyon	1
Adenoskuamöz karsinom	1	Hamartom	17
Malign epitelyal tümör	1	Granülomatоз hastalık	5
Küçük hücreli dışı akciğer kanseri	7	Pnömoni	4
Karsinoid tümör	1	Hemangioma	1
Skuamöz hücreli karsinom	11	Kist hidatik	9
		BT ile yapılan takip sonucunda benign olduğu saptananlar	25

BT: Bilgisayarlı tomografi

**Tablo 2. Grup 1 (boyutu ≤10 mm olan nodüller), grup 2 (boyutu 11-20 mm olan nodüller), grup 3 (boyutu 21-30 mm olan nodüller) içinde bulunan benign ve malign lezyonların analiz bulguları**

	Benign nodül n (%)	Malign nodül n (%)	Benign nodüllerde SUV <sub>maks</sub> ort ± SD	Malign nodüllerde SUV <sub>maks</sub> ort ± SD	p-değeri	Sensitivite (%)	Spesifite (%)	Doğruluk (%)
<b>Grup 1</b>	18 (78,3)	5 (21,7)	1,32±0,88	3,14±2,47	0,177	60	88,89	82,61
<b>Grup 2</b>	36 (44)	46 (56)	2,23±1,51	6,69±4,02	0,000	84,78	72,22	79,27
<b>Grup 3</b>	16 (41)	23 (59)	3,11±2,96	9,7±5	0,000	91,3	56,25	76,92
<b>Tüm olgular</b>	70 (48,6)	74 (51,4)	2,20±1,91	7,39±4,60	0,000	85,14	72,86	79,17

**[SS-043]****Küçük Hücreli Dışı Akciğer Kanserinde Lezyonların EGFR Mutasyonu ile Glikoz Metabolizmasının İlişkisi****Hasan Önner<sup>1</sup>, Özgür Balasar<sup>2</sup>**<sup>1</sup>*Konya Şehir Hastanesi, Nükleer Tip Kliniği, Konya*<sup>2</sup>*Konya Şehir Hastanesi, Tibbi Genetik Kliniği, Konya*

**Amaç:** Bu çalışmada, küçük hücreli dışı akciğer kanseri (KHDAK) tanılı hastalarda, tirozin-kinaz inhibitörleri ile tedavi başarısı için önem teşkil eden epidermal growth faktör reseptör (EGFR) mutasyonunun flor-18 florodeoksiglukoz (F-18 FDG) pozitron emisyon tomografi/bilgisayarlı tomografi (PET/BT) parametresi olan maksimum standart tutulum değeri ( $STD_{\text{maks}}$ ) ile ilişkisi incelenecaktır.

**Yöntemler:** Çalışmaya, Mayıs 2017-Temmuz 2020 tarihleri arasında F-18 FDG PET/BT tetkiki yapılan ve real-time PCR yöntemi ile EGFR mutasyonu değerlendirilen KHDAK tanılı hastalar dahil edildi. EGFR mutasyonu değerlendirilen lezyonların F-18 FDG PET/BT'den  $STD_{\text{maks}}$  değerleri elde edildi. Hastalar, EGFR mutasyonu saptananlar ve saptanmayanlar olarak iki gruba ayrıldı. KHDAK ise adenokarsinom ve yassi hücreli karsinom olarak iki gruba ayrıldı. EGFR mutasyon durumu ile lezyonun  $STD_{\text{maks}}$  değeri arasındaki ilişki Mann-Whitney U testi ile değerlendirildi. EGFR mutasyon durumuna göre  $STD_{\text{maks}}$  kesim değerini elde etmek için alıcı işletim karakteristiği (ROC) analizi yapıldı.

**Bulgular:** Çalışmaya, 48'i erkek 7'si kadın olmak üzere toplam 55 hasta (yaş ortalaması:  $64,05 \pm 10,45$ ) dahil edildi. Hastaların 47'si adenokarsinom, 8'i yassi hücreli karsinom tanıldı. EGFR mutasyonu toplam 11 hasta da tespit edilirken, 44 hastada EGFR mutasyonu saptanmadı. EGFR mutasyonu saptanan hastaların tümü adenokarsinom tanılı hastalardı. EGFR mutasyonu saptanmayan lezyonların medyan  $STD_{\text{maks}}$  değeri, saptananlara göre anlamlı olarak daha yüksekti (sırasıyla; medyan değerleri: 15,15, 11,32 ve  $p=0,011$ ). Yapılan ROC analizinde, EGFR mutasyon durumuna göre  $STD_{\text{maks}}$  için kesim değeri 13,8 olarak saptandı (AUC: 0,750,  $p=0,004$ ). Bu kesim değeri ile %59,1 duyarlılık ve %90,9 özgürlük saptandı.

**Sonuç:** Çalışmamızda, EGFR mutasyonu saptanan lezyonların, saptanmayanlara göre daha düşük glikolitik aktiviteye sahip olduğunu görüldü. Yapılan ROC analizine göre  $STD_{\text{maks}}$  kesim değeri olarak 13,8 alınmasının, lezyonların EGFR mutasyonu durumunun değerlendirilmesinde yüksek özgürlük sağladığı bulunmuştur.

**Anahtar Kelimeler:** Küçük hücreli dışı akciğer kanseri, EGFR, florodeoksiglukoz,  $SUV_{\text{maks}}$

**[SS-044]****Primeri Bilinmeyen Tümörlerde F-18 FDG PET/BT'nin Diagnostik ve Prognostik Değeri****Nilüfer Biçakçı***Sağlık Bilimleri Üniversitesi, Samsun Eğitim ve Araştırma Hastanesi, Nükleer Tip Kliniği, Samsun*

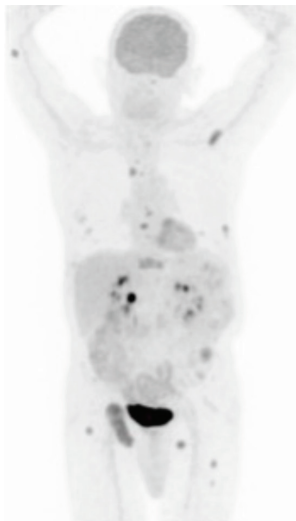
**Amaç:** Primeri bilinmeyen tümörler, metastatik odaktan doku tanısı alınarak histopatolojik olarak kanser tanısı konmuş, ancak rutin görüntüleme yöntemleri ile primer odağını yerleşiminin saptanamadığı hastalık grubunu içermektedir. Pek çok çalışmada, primer tümörün tespitinde, F-18 florodeoksiglukoz (FDG) positron emisyon tomografi/bilgisayarlı tomografinin (PET/BT) diğer görüntüleme yöntemlerine göre sensitivitesinin daha yüksek olduğu rapor edilmiştir. Bu çalışmanın amacı, primeri bilinmeyen tümörlerin değerlendirilmesinde F-18 FDG PET/BT diagnostik ve prognostik değerini araştırmaktır.

**Yöntem:** Kasım 2009 ile Ocak 2020 tarihleri arasında, nükleer tip kliniğimize primeri bilinmeyen tümör tanısı ile refere edilen hastaların nükleer tip görüntüleme verileri retrospektif olarak tarandı. Yüz elli beş hastanın 96'sı (%62) erkek, 59'u (%38) kadındı. Hastalar 18-86 yaş aralığında (ortalama  $\pm$  standart sapma:  $57 \pm 14$ ). Tüm hastalara 10 mCi F-18 FDG enjeksiyonundan 1 saat sonra Philips Gemini TF Time of Flight (TOF) PET/16 kesit BT cihazı kullanılarak görüntüleme yapıldı. Önce düşük doz BT (30 mAs 120 kVp) ile kraniyumdan femur proksimaline kadar tarama yapıldı. BT sonrası PET tarama her yatak pozisyonu 1,5 dk olacak şekilde yapıldı. Hastaların sağkalım oranları Kaplan-Meier istatistik analizi ile değerlendirildi.

**Bulgular:** Hastalarda en sık metastaz servikal lenf nodlarına (%75) idi. Diğer en sık metastatik lokalizasyonlar kemik (%13,5), karaciğer (%13,5), beyin (%6,4) olarak saptandı. Yüz elli beş hastanın 64'ünde (%41) primer tümör F-18 FDG PET/BT ile doğru olarak tespit edildi (gerçek pozitif). F-18 FDG PET/BT ile en çok saptanan tümör küçük hücreli dışı akciğer kanseri idi ( $n=29$ ). Bir hastada iki primer tümör saptandı (KHDAK ve kolon adenokarsinomu). F-18 FDG PET/BT sonuçları 14 (%9) hastada primer tümör lokalizasyonunu belirlemeye negatifti (yanlış negatif). On dört hastanın tümünde lokal hastalık mevcuttu. Yüz elli beş hastanın 66'sında (%42,5) gerçek negatif sonuç, 11'inde (%7) yanlış pozitif sonuç saptandı. Gerçek negatif sonuç saptanmış hastalarda artmış F-18 FDG tutulumu gösteren yaygın metastatik lezyonlar mevcuttu (Şekil 1). Tablo 1'de F-18 FDG PET/BT'nin lokalizasyonlara göre gerçek pozitif, yanlış pozitif, gerçek negatif ve yanlış negatif sonuçları gösterilmektedir. Primer tümör saptanmasında duyarlılık %82, özgürlük %86 ve doğruluk %84 olarak hesaplandı. Malign lezyonun  $SUV_{\text{maks}}$  değeri ortalama 8,9 idi (3,6-26,1 aralığında). Kaplan-Meier sağkalım analizi ile bölgelik hastalığı olanların 1 yıllık sağkalım oranı %37,3, yaygın metastatik hastalığı olanların 1 yıllık sağkalım oranı %16 olarak hesaplandı (Tablo 2).

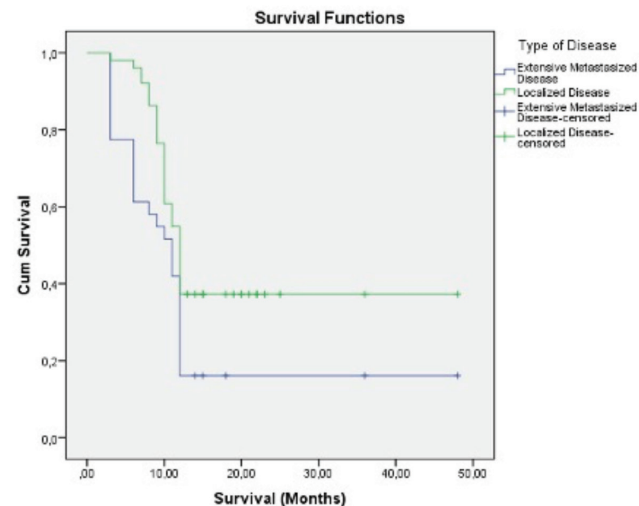
**Sonuç:** Primeri bilinmeyen tümörü olan hastalarda primer tümörün saptanmasında, tüm vücut F-18 FDG PET/BT yararlı bir yöntemdir. Aynı zamanda hastalığın yaygınlığını da göstererek, прогнозun değerlendirilmesine katkı sağlamaktadır.

**Anahtar Kelimeler:** F-18 FDG PET/BT, primeri bilinmeyen tümörler, yaygın metastatik hastalık



**Şekil 1.** Primer malign lezon araştırılan erkek hastada, F-18 FDG PET/CT maksimum intensitede projeksiyon (MIP) görüntülerinde, mediastinel lenf nodlarında ve kemiklerde artmış F-18 FDG tutulumu gösteren yaygın metastatik lezyonlar

FDG: Florodeoksiglukoz, PET/CT: Pozitron emisyon tomografi/bilsayarlı tomografi



**Şekil 2.** Yaygın metastatik hastalığı olan ve lokalize hastalığı olan olgularda 1 yıllık Kaplan-Meier sağkalım analizi sonuçları

**Tablo 1.** F-18 FDG PET/CT'de lokalizasyonlarına göre gerçek pozitif, yanlış pozitif, gerçek negatif ve yanlış negatif sonuçlar

	Baş-boyun	Akciğer	Meme	Mide	Pankreas	Kolon	Lenfoma	Prostat	Over	Böbrek	Diğerleri	Toplam
TP	3	33	7	1	3	5	8	-	2	1	2	64
FP	-	-	-	-	-	-	-	-	-	-	11	11
TN	-	-	-	-	-	-	-	-	-	-	-	66
FN	3	-	-	-	-	-	4	3	-	-	4	14

#### [SS-045]

### Metastatik Kastrasyona Dirençli Prostat Kanserinde Ac-225 PSMA Tedavisi: İlk Sonuçlarımız

Yasemin Şanlı<sup>1</sup>, Duygu Has Şimşek<sup>1</sup>, Emine Göknur İşk<sup>1</sup>, Caner Civan<sup>1</sup>, Mert Başaran<sup>2</sup>, Zeynep Gözde Özkan<sup>1</sup>, Öner Şanlı<sup>3</sup>, Fikret Büyükkaya<sup>1</sup>, Serkan Kuyumcu<sup>1</sup>

<sup>1</sup>İstanbul Üniversitesi, İstanbul Tıp Fakültesi, Nükleer Tıp Anabilim Dalı, İstanbul

<sup>2</sup>İstanbul Üniversitesi Onkoloji Enstitüsü, Onkoloji Anabilim Dalı, İstanbul

<sup>3</sup>İstanbul Üniversitesi, İstanbul Tıp Fakültesi, Uroloji Anabilim Dalı, İstanbul

**Amaç:** Metastatik kastrasyona dirençli prostat kanseri (mKDPK) tanısıyla kliniğimizde uyguladığımız Ac-225 prostat spesifik membran antijen (PSMA) tedavisi sonuçlarının sunulmasıdır.

**Yöntem:** Ağustos 2018-Haziran 2020 tarihleri arasında mKDPK tanısıyla daha önce yapılan tedavilerden (kemoterapi, ikinci kuşak antiandrojenler, Lu-177 PSMA) sonra progresyon izlenen ve Ac-225 PSMA tedavisi uygulanan hastalar çalışmaya dahil edildi. Tüm hastaların tedavi öncesi hemogram ve biyokimyasal parametreleri, prostat spesifik antijen (PSA) düzeyleri ve Ga-68 PSMA pozitron emisyon tomografi/bilsayarlı tomografi (PET/CT) görüntülemeleri değerlendirildi. Tedavi sonrası rutin biyokimyasal tetkikleri 2-3 hafta aralıklarla kontrol edildi. Ayrıca her tedavi sonrasında 6. haftada PSA yanıtı, ağrı yanıtı ve Ga-68 PSMA PET/CT görüntüleme ile hastanın metastatik durumu ve PSMA tutulum paterni yeniden değerlendirildi. Klinik

değerlendirme sonucuna göre kontraendikasyon olmaması durumunda 8 hafta aralıklarla hastaların tedavilerine devam edildi.

**Bulgular:** Çalışmaya dahil edilen 12 hastaya (ortalama yaşı: 70) toplam 25 kür Ac-225 PSMA tedavisi uygulandı. Hastaların demografik, klinik özellikleri ve önceden aldığı tedaviler Tablo 1'de verilmiştir. Hasta başına uygulanan ortalama kür sayısı 2 idi (1-3 kür). Üç hastaya 1 kür, 5 hastaya 2 kür ve 4 hastaya 3 kür Ac-225 PSMA tedavisi uygulandı. Ac-225 PSMA tedavisi bitiminde 9 hastada (%75) PSA yanımı ve 10 hastada (%83) ağrı yanımı izlendi. PSA yanımı izlenmeyen 3 hastanın 2'sine 1 kür tedavi sonrası klinik progresyon izlenmesi sebebiyle 2. kür tedavileri verilemedi. Hastaların tedavi öncesi PSA düzeyi ortanca: 129 ng/mL (10,7-765 ng/mL) iken, 1 kür sonrasında ortanca PSA: 45,9 ng/mL (0,3-5000 ng/mL) olarak saptandı. Hastaların toplam tedavileri sonrasında ortanca PSA değeri ise 24,4 ng/mL (0,11-5000 ng/mL) idi (Şekil 1). Hastalarda grade 3 ve 4 anemi/trombositopeni gözlenmemiş olup, en ciddi yan etki ağız kuruluğu olarak tespit edilmiştir. Ağız kuruluğuna bağlı 1 hastada belirgin kilo kaybı gözlenmiştir. Hastaların ortalama sağkalımı tedavi sonrası 9 aydır (1-24 ay).

**Sonuç:** Sınırlı sayıdaki hastayı içeren bu çalışmanın sonuçlarına göre, Ac-225 PSMA radyonüklid tedavisi, mKDPK tanılı hastalarda standart tedavi yöntemleri sonrası progrese hastalarda kabul edilebilir yan etki profili bulunan, etkili bir tedavi seçeneği olarak gelecek vadetmektedir. Bu konuda çok merkezli, randomize ve prospektif çalışmalarla ihtiyaç duyulmaktadır.

**Anahtar Kelimeler:** Ac-225 PSMA, kastrasyona dirençli prostat kanseri, Lu-177 PSMA

Tablo 1. Hastaların klinik ve demografik bilgileri

Hastaların karakteristik özellikleri	Sayı
Hasta sayısı	12
Yaş	
Ortalama (aralık)	70 (45-89)
Gleason skoru	Hasta Sayısı
6-7-8	3 (25%)
9-10	9 (75%)
Bazal PSA seviyesi (ng/ml)	
Ortanca (aralık)	129 (95%CI: 10.7-765)
Bazal Hemoglobin seviyesi (g/dL)	
Ortanca (aralık)	10.5 (95%CI: 8.9-14.8)
Bazal Trombosit seviyesi (g/dL)	
Ortanca (aralık)	221 (95%CI: 80-512)
Bazal ALP seviyesi (U/L)	
Ortanca (aralık)	91 (95%CI: 42-353)
Bazal LDH seviyesi (U/L)	
Ortanca (aralık)	235 (95%CI: 129-831)
Önceki Tedaviler	Hasta Sayısı
Lokal Tedavi	
Radikal prostatektomi	6 (50%)
Radyoterapi	3 (25%)
Hormonoterapı ± orsilektomi	3 (25%)
Docetaxel	12 (100%)
Abiraterone/Enzalutamide	9 (75%)
177Lu-PSMA RLT	11 (92%)
177Lu-PSMA RLT	7 (58%)
Metastatik Yayılım	Hasta Sayısı
Kemik	12 (100%)
Lenf nodu	7 (58%)
Visseral	2 (17%)
Hasta Durumu	Hasta Sayısı
Yaşayan Hasta	4 (33%)
Ölen Hasta	8 (67%)



Şekil 1. Hastalarda 225Ac-PSMA tedavisi sonrası izlenen en iyi PSA yanıtı  
PSA: Prostat spesifik membran antijen, PSA: Prostat spesifik antijen

## [SS-046]

## Hürthle Hücreli Tiroid Kanserinin Klinik ve Prognostik Parametrelerinin Retrospektif Değerlendirilmesi

Burak Akovalı<sup>1</sup>, Kübra Nur Toplutaş<sup>2</sup>, Sertaç Asa<sup>2</sup>, Kerim Sönmezoglu<sup>2</sup>, Levent Kabasakal<sup>2</sup>

<sup>1</sup>Erzurum Bölge Eğitim ve Araştırma Hastanesi, Nükleer Tıp Kliniği, Erzurum

<sup>2</sup>İstanbul Üniversitesi-Cerrahpaşa, Cerrahpaşa Tıp Fakültesi, Nükleer Tıp Anabilim Dalı, İstanbul

**Amaç:** Hürthle hücreli tiroid kanseri (HHK) diğer diferansiyeli tiroid kanserlerine (DTK) göre daha agresif seyir gösteren ve radyoaktif iyot (RAI) tutma yeteneği düşük olan bir tiroid malignitesidir. Çalışmamızın amacı kliniğimizde HHK nedeniyle radyoaktif iyot tedavisi (RAI) tedavisi uygulanmış hastalarda klinik ve prognostik faktörlerin, tedaviye yanıtın ve sağkalım sürelerinin hesaplanarak literatür ile karşılaştırılmasıdır.

**Yöntem:** Kliniğimize 2000-2013 yılları arasında başvuran HHK tanılı hastalar retrospektif olarak incelendi. Genel sağkalım, hastalığa özgü sağkalım ve hastalıksız sağkalım Kaplan-Meier yöntemi ile hesaplandı. Sağkalma etki eden faktörler tek değişkenli ve çok değişkenli analizlerle incelendi. Tek doz RAI tedavisi sonrası mükemmel yanıt alınan hastalar ile persistan hastalığa sahip olanların verileri Mann-Whitney U ve Wilcoxon testleri kullanılarak karşılaştırıldı.

**Bulgular:** Doksan iki hasta çalışmaya dahil edildi. Ortanca takip süresi 10,2 yıl (3,1-19,9) olarak hesaplandı. Ortanca kümülatif RAI aktivitesi 150 mCi idi. Persistan hastalık durumunda verilen ortanca RAI aktivitesi 300 mCi bulundu. Persistan hastalığa sahip olanlarda lenf nodu metastazının, ileri evre hastalıkın, damar invazyonunun ve inkomplet cerrahi tedavinin daha sık görüldüğü izlendi ( $p<0,05$ ). Persistan hastalıkta ek RAI tedavilerinin yanıt düzeyinde iyileşme sağladığı saptandı ( $p=0,006$ ). Beş ve 10 yıllık genel sağkalım %97,8 ve %95,7 bulundu. Hastalığa bağlı ölüm gözlenmedi. On yıllık hastalıksız sağkalım %98,9 olarak hesaplandı.

**Sonuç:** HHK hastalarında RAI tedavisine yanıt alındığı ve HHK'nın tedavi sonrası iyi klinik seyri olduğu saptandı. Persistan hastalık durumunda ek RAI tedavilerinin yanıt düzeylerinde iyileşme sağladığı izlendi.

**Anahtar Kelimeler:** Tiroid kanseri, hürthle hücreli tiroid kanseri, radyoaktif iyot tedavisi

## [SS-047]

## Lu-177 DOTATATE Tedavisi Alan Tiroid Kanseri Hastalarında Ga-68 DOTATATE PET/BT ve Tümör Belirteçlerinin Rolü

Caner Civan<sup>1</sup>, Emine Göknur İlk<sup>1</sup>, Duygu Has Şimşek<sup>1</sup>, Serkan Kuyumcu<sup>1</sup>, Seyfullah Karadoğan<sup>1</sup>, Nail Paksoy<sup>2</sup>, Yasemin Şanlı<sup>1</sup>

<sup>1</sup>İstanbul Üniversitesi, İstanbul Tıp Fakültesi, Nükleer Tıp Anabilim Dalı, İstanbul

<sup>2</sup>İstanbul Üniversitesi, Onkoloji Enstitüsü, İstanbul

**Amaç:** Metastatik tiroid kanseri nedeniyle Lu-177 DOTATATE tedavi uygulanan hastalarda tedavi öncesi (bazal) ve 2 kür tedavi sonrası (interim) Ga-68 DOTATATE pozitron emisyon tomografisi/bilgisayarlı tomografi (PET/BT) görüntüleme ile elde edilen parametrelerin, tümör belirteçleri ile ilişkisi ve sağkalım açısından prediktif rolü araştırıldı.

**Yöntem:** Çalışmaya 2013 ve 2020 yılları arasında metastatik radyoaktif iyot refrakter diferansiyeli tiroid kanseri (mrDTK), az differansiyeli tiroid kanseri (ADTK) ve medüller tiroid kanseri (MTK) nedeniyle Lu-177 DOTATATE tedavisi uygulanan; bazal ve interim Ga-68 DOTA PET/BT görüntülemesi yapılan 19 hasta dahil edildi. Tedavi öncesi ve interim PET görüntülerinden sırasıyla; metabolik tümör volümü (preMTV, postMTV), total lezyon somatostatin

aktivitesi (preTLS, postTLS) ve semikantitatif uptake değerleri (preSUV<sub>maks</sub>, postSUV<sub>maks</sub>) hesaplandı (PET VCAR, GE Healthcare). Hastalar mrDTK + ADTK (grup 1) ve MTK (grup 2) olmak üzere iki grupta incelendi. Vizuel değerlendirmede (PERCIST 1.0) stabil ve kısmi yanıtlı hastalar tedaviye yanılı; progresyon ve miks yanıt saptanan hastalar ise tedaviye yanıtsız olarak kabul edildi. Tümör belirteçlerine göre >%20 değişim yanıtlı sayıdı. Kantitatif parametreler ve vizuel değerlendirme ile tümör belirteçleri ve sağlam (OS) arasındaki ilişki istatistiksel olarak hesaplandı (SPSS Versiyon 22.0).

**Bulgular:** Çalışmada mrDTK (n=6), ADTK (n=2) ve MTK (n=11) tanıtı, ortalama yaşı 50 (35-79) olan 19 (16 erkek, 3 kadın) hastaya ortalama 4 kür (2-7) tedavi verildi. Hastaların 5'inde lokal tümör, 19'unda lenf nodu metastazı, 15'inde kemik metastazı, 8'inde akciğer metastazı, 4'ünde karaciğer metastazı ve 2'sinde beyin metastazı saptandı. Kantitatif parametreler, tümör belirteçleri ve değişim yüzdeleri Tablo 1'de verilmiştir. Grup 1'de (n=8) preMTV, preTLS ile preTg arasında anlamlı korelasyon saptandı (sırası ile r=0,805 p=0,016 ve r=0,756 p=0,03). Grup 2'de (n=11) kantitatif parametreler ile tedavi öncesi ve interim kalsitonin değerleri arasında anlamlı korelasyon bulunmadı (p=0,71). İki kür tedavi sonrası hastaların 8'i tedaviye yanılı, 9'u ise progrese olarak değerlendirildi. Genel OS medyan 35 ay (ortalama: OS 55 ay) bulundu. İnterim PET/BT'de tedaviye yanılı grubun medyan OS'ye ulaşamazken (ortalama: OS 81 ay) progresif hastalıktı medyan OS 35 ay (ortalama: OS 22 ay) olarak saptandı (p=0,073). Tümör belirtecine göre yanıtsız hastalarda medyan OS'ye ulaşamazken (ortalama: OS 66 ay) yanıtsız hastalarda medyan OS 35 ay (ortalama: OS 38 ay) olarak saptandı (p=0,448). Ancak her iki grupta istatistiksel olarak anlamlı farklılık izlenmedi.

**Sonuç:** Tümör yükünü yansitan semi-kantitatif PET parametreleri tümör belirteçleri ile yüksek korelasyon göstermektedir. İnterim PET/BT'de tedavi yanılı saptanan hastaların sağlaması tümör belirteçlerine göre yanılı değerlendirilen hastalara göre daha uzun olmakla birlikte hasta sayısının azlığı nedeniyle istatistiksel olarak anlamlı farklılık saptanmamıştır. Daha çok hasta sayısı ve homojen hasta grubu ile yapılan çalışmalara ihtiyaç duyulmaktadır.

**Anahtar Kelimeler:** Lu-177 DOTATATE, tiroid kanseri, medüller tiroid kanseri

sira	Patoloji	Yaş	Cinsiyet	vizuel yanıt 2 kür	tedaviden son görevlenneme kadar geçen zaman	TOTAL TAKİP	Ex	tm belirteci	tm yanılı	Tedavi öncesi		tedavi sonrası yüzde değişim			
										Total MTV	Total TLG	SUVmax	%Δ MTV		
1	PTK	43	erkek	Yanılı	5,53	57,00	ex	Tg	var	161,0	646,9	9,6	27,4	70,8	64,9
2	PTK	69	kadın	Yanılı	15,33	63,60	yaptırı	Tg	yok	15,3	119,0	22,4	-43,1	18,1	-7,6
3	PTK	47	kadın	Progres	19,57	464,00	yaptırı	Tg	yok	18,5	75,2	9,7	-200,5	-40,6	42,6
4	PTK	62	erkek	Progres	18,87	143,47	yaptırı	Tg	yok	38,4	118,0	14,2	-14,1	42,4	38,5
5	PTK	68	erkek	Progres	11,93	28,30	ex	Tg	yok	538,0	8665,0	31,1	0,7	13,6	21,9
6	Az diff	62	erkek	Progres	7,43	59,50	ex	Tg	yok	20,7	144,8	31,9	-89,9	-25,2	49,2
7	PTK	79	kadın	Progres	6,07	37,03	ex	Tg	yok	56,6	188,7	6,7	-20,5	21,7	26,2
8	Az diff	56	erkek	Progres	7,13	24,03	yaptırı	Tg	var	10,7	70,9	39,0	4,7	-47,2	-6,0
9	MTK	53	erkek	Yanılı	25,60	94,87	yaptırı	Ctn	var	95,1	802,0	35,8	21,9	26,6	58,1
10	MTK+PTK	47	erkek	Progres	35,70	53,23	ex	Ctn	yok	61,2	168,8	8,4			
11	MTK	50	erkek	Yanılı	49,47	94,37	yaptırı	Ctn	var	14,7	50,9	18,7	-73,5	-51,9	11,2
12	MTK	53	erkek	Yanılı	92,80	182,00	yaptırı	Ctn	var	40,0	178,0	11,9	60,0	53,9	0,0
13	MTK	76	erkek	Progres	6,43	60,53	ex	Ctn	yok	227,7	1442,0	20,9	-79,4	-6,2	21,5
14	MTK	49	erkek	Progres	13,03	94,87	yaptırı	Ctn		163,9	950,0	15,5	-85,9	-112,6	-23,2
15	MTK	35	erkek	Yanılı	12,87	66,47	yaptırı	Ctn	yok	53,5	335,6	25,0	-111,8	-91,9	18,8
16	MTK	39	erkek	Yanılı	17,63	23,43	yaptırı	Ctn	var	72,1	795,8	26,6	39,8	46,5	32,0
17	MTK	45	erkek	Yanılı	19,93	139,17	yaptırı	Ctn		285,0	1351,6	16,0	-60,9	-37,9	-11,9
18	MTK	46	erkek		13,87	64,17	ex	Ctn	var	192,0	769,7	24,0			
19	MTK	46	erkek		81,53	98,97	yaptırı	Ctn	yok	47,0	271,0	23,5			

## [SS-048]

### Ayaktan Tek Doz I-131 Tedavisi Uygulanan 301 Hipertiroidi Hastasında Tedavi Etkinliğinin Değerlendirilmesi

Burak İnce, Aysel Namazova, Ali Kibar, Azizullah Nazari, Seçkin Bilgiç, Fuad Aghazada, Rabia Lebriz Uslu Beşli, Sertaç Asa, Muhammet Sait Sağer, Kerim Sönmezoglu

*İstanbul Üniversitesi-Cerrahpaşa, Cerrahpaşa Tip Fakültesi, Nükleer Tip Anabilim Dalı, İstanbul*

**Amaç:** Tek doz I-131 tedavisi uygulanan hipertiroidi hastalarda, etiyolojik kökene göre tedavi etkinlik oranlarının karşılaştırılması amaçlandı.

**Yöntem:** Hipertiroidi tanısıyla iki yıl veya daha öncesinde radyoaktif iyot (RAI) tedavisi uygulanmış olan toplam 301 hasta retrospektif olarak incelendi. Son 2 yıl içinde RAI tedavisi verilen hastalar çalışmaya alınmadı. Hastaların ortalama yaşı  $54 \pm 13,4$  (18-86) olup 207'si (%69) kadın, 94'ü (%31) erkekti. İki yüz yirmi beş (%75) hasta Graves tanısı (150 kadın, 75 erkek); 45 (%15) hasta (34 kadın, 11 erkek) toksik adenom ve 31 (%10) hasta (23 kadın, 8 erkek) toksik multinodüler guatr (TMNG) tanısı almıştı. Hastalara uygulanan I-131 dozuna tecrübe bir nükleer tip uzmanı tarafından, ağırlıklı olarak hastanın klinik semptomları ve I-131 uptake değerleri göz önünde tutularak empirik yönteme karar verildi. RAI tedavisi sonrası ötiroid kalanlar ve hipotiroidi girenler "tedavi etkin grup"; buna karşılık hipertiroidisi sebat eden ya da takipte yükselen hastalar "tedaviye dirençli grup" olarak sınıflandırıldı.

**Bulgular:** Hastalara uygulanan I-131 tedavi dozları 5-23 mCi (ortanca: 13) arasında değişmekte olup tedavi sonrası takip süreleri 24-394 ay arasında (ortalama: 116 ay) idi. Tedavi etkin grup ile dirençli gruba verilen ortalama I-131 dozları arasında istatistiksel fark yoktu (12,45'e karşı 12,50; p=0,9). İki grup arasında tedaviden önceki ortalama I-131 uptake değerleri arasında ise anlamlı fark bulundu (2. saat %26,9±12,9 & 33,8±17,5; p=0,001 ve 24. saat %55,5±19,2 & 62±21,6; p=0,03). Tüm hastaların %81'inde (n=244) tedaviye etkin yanıt alınırken, 57 hasta (%19) tedaviye dirençli kalmıştı. Hastalığın etiyolojisine göre elde edilen tedavi etkinlik ve direnç oranları aşağıdaki tabloda verilmiştir. Tedaviye dirençli hastaların %98'inde (n=56) tekrar RAI tedavisi ve %2'sine (n=1) uzun süreli antitiroid ilaç tedavisi uygulanmıştır.

**Sonuç:** RAI, hipertiroidinin en etkin tedavi biçimlerinden birisidir. Etiyolojik alt tiplere göre değerlendirildiğimizde tedavi etkinlik oranı en yüksek olan hasta gruba toksik adenom (%89) iken, en düşük tedavi etkinlik oranına sahip hasta gruba toksik MNG (%71) olarak izlenmiştir. Buna karşılık ötiroid hale gelme oranı en yüksek olan hasta gruba toksik MNG (%35,5) iken en düşük ise Graves hastaları (%8) olmuştur.

**Anahtar Kelimeler:** Hipertiroidi, radyoaktif iyot tedavisi, RAI, I-131

**Tablo 1.**

	Graves	Toksik adenom	Toksik MNG	Toplam
<b>Tedavi Etkin</b>	182 (%81)	40 (%89)	22 (%71)	244
Hipotiroid	165 (%73)	28 (%62)	11 (%35,5)	204
Ötiroid	17 (%68)	12 (%27)	11 (%35,5)	40
<b>Tedavi Dirençli</b>	43 (%19)	5 (%11)	9 (%29)	57

## [SS-050]

**Palmitik Asitin Ga-68 ile İşaretlenerek Miyokard Perfüzyon Radyofarmasötiği Olarak Değerlendirilmesi**

Mehtap Kuzucu<sup>1</sup>, Türkhan Ertay<sup>2</sup>, Emre Karademirci<sup>2</sup>, Gamze Çapa Kaya<sup>2</sup>

<sup>1</sup>Dokuz Eylül Üniversitesi, Sağlık Bilimleri Enstitüsü, Radyofarmasöтик Bilimler Anabilim Dalı, İzmir

<sup>2</sup>Dokuz Eylül Üniversitesi Tip Fakültesi, Nükleer Tip Anabilim Dalı, İzmir

Jeneratör bazlı Ga-68 radyofarmasötipleri son yıllarda artan uygulamaları ile pozitron emisyon tomografi (PET) görüntülemede büyük bir gelişme göstermektedir. Kardiyovasküler hastalık, ölüm riski giderek artan en büyük sağlık problemlerinden biridir. Hastalıkın güvenli ve erken teşhisini, uygun tedaviye erken evrede başلامak, yüksek ölüm riskini ortadan kaldırma için önemlidir. Yağ asitleri kalp kasının temel enerji kaynağı görevi yapar. Bu çalışmada amaç palmitik asiti Ga-68 radyonüklidi ile işaretleyerek miyokard perfüzyonu için spesifik bir PET radyofarmasötiği geliştirmektir. Çalışmada, palmitik asit Ga-68 radyonüklidi ile işaretlenmiş ve kromatografik yöntemle işaretleme verimi tespit edilmiştir. Ga-68 işaretli molekülün işaretleme verimi  $\geq 98\%$  saflikta elde edilmiştir. Bundan sonrası aşamada Ga-68 ile işaretli palmitik asit sıçanlara intravenöz olarak enjekte edilecek ve PET/bilgisayarlı tomografi (BT) ile görüntüleme yapılacaktır. Bu sayede, yağ asitlerin metabolizmalarındaki değişikliklerle miyokardda oluşturabileceğİ değişimler izlenebilecektir. Miyokard görüntülemede yağ asitlerinin Ga-68 ile işaretlenerek PET/BT de kullanımı kardiyovasküler hastalıkların teşhisinde nükleer tip alanına yenilik getirecektir.

**Anahtar Kelimeler:** Palmitik asit, yağ asiti, Ga-68, miyokard perfüzyon

## [SS-051]

**Lu-177 PSMA Tedavisinin, Kan Parametreleri Üzerine Etkisi ve Tedavi Yanıtının Ga-68 PSMA PET/BT ile Değerlendirilmesi**

Mehmet Erdoğan, Sevim Süreyya Şengül

Süleyman Demirel Üniversitesi Tip Fakültesi, Nükleer Tip Anabilim Dalı, Isparta

**Amaç:** Lutetium-177 (Lu-177) prostat spesifik membran antijen (PSMA) tedavisi, metastatik kastrasyona dirençli prostat kanseri (mKDPK) için yakın zamanda kullanıma sunulmuştur. Bu çalışmanın amacı mKDPK'lı hastalarda Lu-177 PSMA tedavisinin, hemogram ve biyokimyasal parametreler üzerine etkisini araştırmak ve tedavi etkinliğini Ga-68 PSMA pozitron emisyon tomografi/bilgisayarlı tomografi (PET/BT) görüntüleme ile değerlendirmektir.

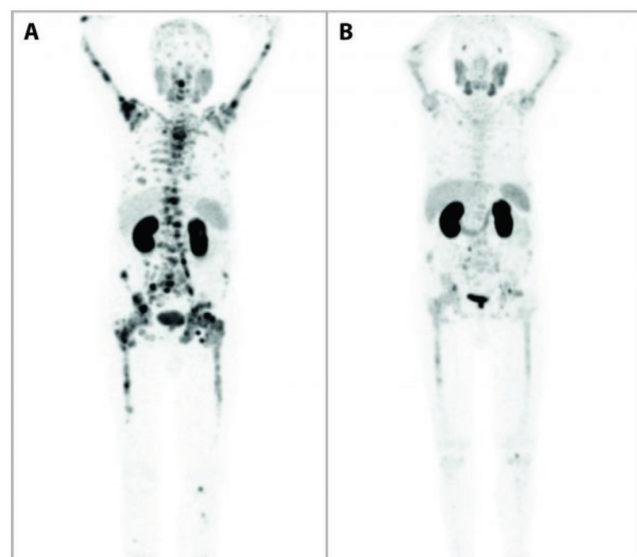
**Yöntem:** Çalışmaya 15 mKDPK'lı hasta dahil edildi. Hastaların 2'si (%13,3) radikal prostatektomi, 4'ü (%26,7) TUR ve 9'u (%60) İİAB'si ile tanı almıştı. 3 (%20) hasta Gleason skor: 3+4, 4 (%26,7) hasta Gleason skor: 4+3, 2 (%13,3) hasta Gleason skor: 4+4, 6 (%40) hasta Gleason skor: 9-10 idi. Hastaların tamamı kemoterapi almıştı. Hastaların 9'u (%60) prostat dokusuna radyoterapi almıştı. Hastaların 9'u (%60) 3 siklus, 3'ü (%20) 5 siklus, 3'ü (%20) 5 siklustan fazla Lu-177 PSMA tedavisi aldı. Tedavi öncesi ve sonrası kan parametreleri (Hgb, PLT, WBC, BUN, kreatin, LDH, ALP, PSA) değerlendirildi. Hastalar tedavi öncesi ve en az 3 siklus olmak üzere tedavi sonrası Ga-68 PSMA PET/tetkiki ile değerlendirildi.

**Bulgular:** Ga-68 PSMA PET/BT görüntülemede; 8 (%53,3) hastada tedaviye parsiyel yanıt, 7 hastada (%46,7) heterojen yanıt tespit edildi. Tedavi öncesi ve sonrası HGB ve PLT değerlerinde, azalma şeklinde anlamlı fark izlenirken (sırasıyla; p=0,002, p=0,028) WBC değerlerinde

anlamlı fark izlenmedi (p=0,132). LDH değerlerinde tedaviye parsiyel yanıt verenlerde, azalma şeklinde anlamlı fark bulundu (p=0,025). BUN, kreatinin ve ALP değerlerinde tedavi sonrası istatistiksel olarak anlamlı fark izlenmedi (sırasıyla, p=0,141, p=0,551, p=0,281). PSA değerlerinde tedavi sonrası düşüş izlenmekle birlikte istatistiksel olarak anlamlı değildi (p=0,532). Tedavi sonrası primer tümör, kemik ve lenf nodu SUV<sub>maks</sub> değerlerinde azalma şeklinde anlamlı fark bulundu (sırasıyla p=0,047, p=0,003, p=0,008). Uzak organ metastazlarındaki SUV<sub>maks</sub> değerlerinde tedavi sonrası anlamlı fark izlenmedi (p=0,465).

**Sonuç:** Lu-177 PSMA tedavisi sonrası hastalarımızda HGB ve PLT düzeylerinde azalma olsa da transfüzyon gereklilikte düzeyde değildi. Hiçbir hastada nefrotoksiste gelişmedi. Tedavi yanıtını değerlendirmede PSA ile birlikte diğer biyokimyasal parametrelerin de (LDH, ALP, vb.) ele alınması gerektiğini öneriyoruz. Ga-68 PSMA PET/BT görüntüleme, Lu-177 PSMA tedavisinin değerlendirilmesinde, primer tümör ve metastazlardaki PSMA ekspresyon düzeyindeki değişiklikleri gösterebilmektedir. Ancak aynı hastada tedaviye farklı yanıt veren lezyonların olması nedeniyle tek başına SUV<sub>maks</sub> düzeyinin tedavi yanıtını değerlendirmede yetersiz kalacağının, standartize tedavi yanıt kriterlerinin belirlenmesi gerektiğini düşünmektedir.

**Anahtar Kelimeler:** mKDPK, Lu-177 PSMA RLT, Ga-68 PSMA PET/BT



**Şekil 1.** A. mKDPK'lı hastada Lu-177 PSMA tedavisi öncesi Ga-68 PSMA PET/BT ile değerlendirilen MIP görüntüsü B. 5 siklus Lu-177 PSMA tedavisi sonrası MIP görüntüsü PET/BT: Pozitron emisyon tomografi/bilgisayarlı tomografi, MIP: Maksimum yoğunlukta projeksiyon

## [SS-052]

**COVID-19 Pandemi Sürecinde Miyokard Perfüzyon Görüntüleme ile Saptanan Miyokardiyal İskemi Prevalansı**

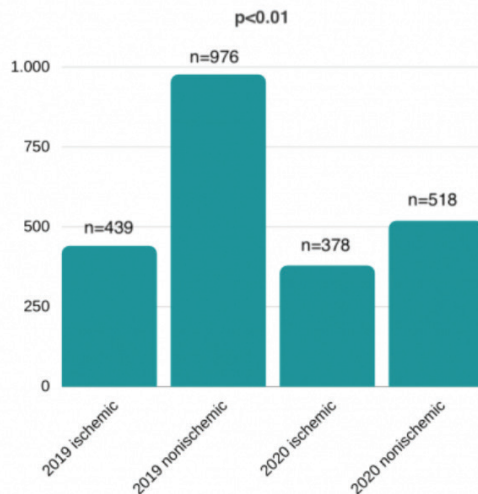
Elif Şahin Küyük, Nahide Belgit Talay, Tatiana Bahçeci

Ankara Şehir Hastanesi, Nükleer Tip Kliniği, Ankara

**Amaç:** Koronavirüs hastalığı-2019 (COVID-19) geçen bazı hastalarda kardiyovasküler hasar geliştiği ve alta yatan koroner arter hastalığı (KAH) olan olgularda ölüm riskinin arttığı gözlenmiştir. Kardiyovasküler sistemi etkilediği gözlemlenilen bu hastalığın miyokardiyal perfüzyonu bozabileceğinin varsayımdan yola çıkararak pandemi sürecinde kliniğimize iskemi araştırılmak üzere gelen hastalardaki abnormal miyokard perfüzyon sintigrafisi (MPS) prevalansındaki değişimini incelemek istedik.

**Yöntem:** 1 Ağustos-30 Kasım 2020 tarihleri arasında bölümümüzde SPECT-MPS uygulanan 896 hastanın MPS görüntüsü incelendi. Hastaların demografik bilgileri, KAH öyküsü ve MPS öncesinde laboratuvar testleri ile doğrulanmış COVID-19 öyküsü kaydedildi. İskemi prevalansını karşılaştırmak amacıyla Ağustos-Kasım 2019 tarihleri arasında bölümümüzde gelen 1,415 hastanın MPS görüntülemeleri çalışmaya dahil edildi. Yalnızca reversible perfüzyon bozuklukları abnormal MPS olarak kabul edildi. Tüm hastalara EANM kılavuzları doğrultusunda tek gün rest-stress Tc-99m sestamibi-gated SPECT MPI protokolü uygulandı. Pandemi sürecinde damlacık oluşumunu azaltmak amacıyla uygun olan tüm hastalarda treadmill yerine adenozin ile farmakolojik stres testi tercih edildi.

**Bulgular:** Ağustos-Kasım 2020 tarihleri arasında ( $n=896$ , %38,8) ve Ağustos-Kasım 2019 tarihleri arasında ( $n=1415$ , %61,2) MPS uygulanan



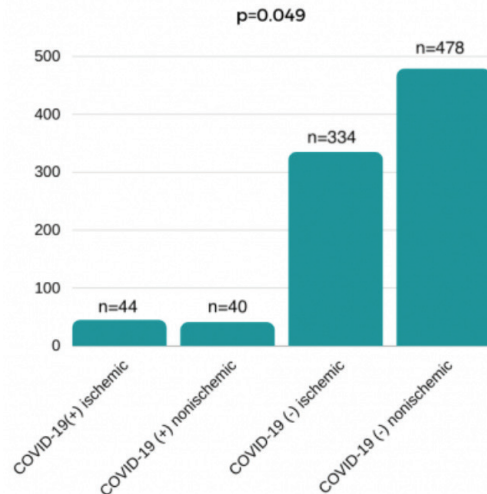
**Şekil 1.** 2019 pandemi öncesi dönem ile 2020 pandemi döneminde iskemik ve non-iskemik MPS sayıları

MPS: Miyokard perfüzyon sintigrafisi

hastalar incelendiğinde 2020 kohortunda MPS yapılan hasta sayısının daha düşük olduğu görüldü ( $p<0,001$ ). 2020 grubunda erkek cinsiyet oranı fazlayken (%55,6; %51,2  $p=0,04$ ), hastaların yaş ortalaması 2019 grubuna oranla gençti ( $57,92\pm10,79$ ;  $60,42\pm10,87$   $p<0,05$ ). Pandemi döneminde MPS'de iskemi görülmeye yüzdesinin önceki döneme oranla yüksek olduğu tespit edildi (%42,2; %31,0,  $p<0,001$ ) (Şekil 1) Pandemi dönemindeki grup bağımsız olarak incelendiğinde hastaların %9,4'ü MPS öncesinde COVID-19 geçirmiştir. Bunların 44'ünde (%52,4) MPS'de iskemi saptanırken geçirmeyenlerin 334'ünde (%41,1) iskemi mevcuttu ( $p=0,049$ ) (Şekil 2). Regresyon analizi yapıldığında COVID-19 öyküsünün MPS'de iskemi görülmeye ihtimalini yaklaşık 1,5 kat artırıldığı tespit edildi [odds oranı (OR): 1,57, %95 güven aralığı (GA): 1,003-2,470] ( $p=0,048$ ). Ayrıca KAH öyküsü olan olgulardan COVID-19 geçirenler ile geçirmeyenler arasından iskemi sıklığı açısından anlamlı fark bulunmadı ( $p>0,05$ ).

**Sonuç:** Pandemi döneminde MPS'de iskemi görülmeye oranı önceki yılın benzer aylarına kıyasla daha yükseltti. Bölümümüze gelen tüm hastalara aciliyet durumuna bakmaksızın zamanında MPS randevusu verilmiştir. Yine de tetkik sayısının önceki yılın %63'üne düşüğü görüldü. Bu düşüşün sebebi hastaların ciddi semptom olmaksızın hastaneye gelmemiş olmaları olabilir ve buna bağlı abnormal MPS oranında artış öngörülebilirdi. Bu nedenle COVID-19'un izole etkisini ölçmek için COVID-19 öyküsü olan ve olmayan olguların görüntüleme sonuçlarını karşılaştırdığımızda COVID-19 geçirenlerde daha fazla iskemi tespit ettik ve COVID-19'un MPS'de iskemi görülmeye ihtimalini yaklaşık 1,5 kat artırduğunu gördük (OR: 1,57, %95 GA: 1,003-2,470) ( $p=0,048$ ).

**Anahtar Kelimeler:** COVID-19, pandemi, miyokard perfüzyon sintigrafisi



**Şekil 2.** 1 Ağustos-30 Kasım tarihleri arasında COVID-19 öyküsü olan ve olmayan hastaların iskemik ve non-iskemik MPS sayıları

COVID-19: Koronavirüs hastalığı-2019, MPS: Miyokard perfüzyon sintigrafisi

**[SS-053]****Akut Inferior MI Hastalarında PTCA Sonrası Doku Canlılığının TI-201 MPS ve F-18 FDG PET/BT ile Değerlendirilmesi****Ebru Orsai İbişoğlu***İstanbul Medeniyet Üniversitesi, Göztepe Eğitim ve Araştırma Hastanesi, Nükleer Tip Kliniği, İstanbul*

**Amaç:** Akut miyokard infarktüsünden (MI) sonra etkilenen miyokard dokusunun canlılığının saptanması önemlidir. Doku canlılığının değerlendirilmesinde görüntüleme yöntemi olarak F-18 florodeoksiglikoz (FDG) pozitron emisyon tomografi/bilgisayarlı tomografi (PET/BT) ve TI-201 miyokard perfüzyon sintigrafisi (MPS) kullanılmaktır. Bu çalışmada; inferior MI geçiren ve akut dönemde (ilk 24 saatte) perkutan koroner anjiyoplasti (PTCA) ile müdahale edilen 24 hasta, TI-201 MPS ve F-18 FDG pozitron emisyon tomografi/bilgisayarlı tomografi (PET/BT) ile doku canlılığını değerlendirmeyi amaçladık.

**Yöntem:** Bu çalışmaya daha önce kardiyak yakınıması olmayan ilk defa inferior MI geçiren 24 hasta (20 erkek, yaş ortalaması:  $55,4 \pm 11,4$  yıl; 4 kadın, yaş ortalaması:  $68 \pm 19,1$  yıl) dahil edildi. Tüm hastalar koroner anjiyografiye alındı, hepsine PTCA ve/veya STENT işlemi uygulandı. Bu hastalarda infarkttan sorumlu koroner arterde yeterli akım sağlandı. Tüm hastalara PTCA ve/veya STENT girişiminden üç gün sonra miyokardiyal canlılığın değerlendirilmesi için rest-redistribusyon TI-201 MPS ve F-18 FDG PET/BT görüntülemeleri yapıldı. Çalışmalar arasında bir haftadan daha kısa bir süre vardı. Değerlendirmeler için sol ventrikül 17 segmente ayrıldı ve her

bir segment semikantitatif olarak 0-4 arasında değerlendirildi (0: defekt yok, 1: hafif derecede defekt, 2: orta derecede defekt, 3: ciddi derecede defekt, 4: tam defekt). Bu 17 segment her hasta için hem F-18 FDG PET/BT hem de TI-201 MPS de değerlendirildi [24x17=408 segment her iki yöntemde toplam=816 (2x408) segment analiz edildi]. Her bir segment için elde edilen değerler karşılaştırıldı.

**Bulgular:** Segmentler analiz edildiğinde, 408 segmentin, F-18 FDG PET/BT'de %80,1'inde defekt saptanmazken, TI-201 MPS'de bu oran %75,7 idi. Tam defekt oranları ise F-18 FDG PET/BT'de %4,9 iken, TI-201 MPS'de %0,7,4'tü (Tablo 1). TI-201 MPS'de defekt saptanmayan 309 segmentin 308'inde F-18 FDG PET/BT'de de defekt izlenmemektedir. Bununla birlikte TI-201 MPS çalışmasında tam defekt saptanan 30 segmentin yalnızca 20 segmentinde F-18 FDG PET/BT'de tam defekt izlendi. F-18 FDG PET/BT'de bu 10 segmentin 4'ünde ciddi ve 6'sında orta derecede defekt gözlandı. TI-201 MPS'de tam defekt izlenen segmentlerin %33,3'ünde F-18 FDG PET/BT'de canlı doku saptandı. TI-201 MPS çalışmasında orta derecede defekt saptanan 41 segmentin, F-18 FDG PET/BT çalışmasında sadece 17'sinde orta ve 9'unda hafif dereceli defekt izlenirken 15 segmentte ise defekt saptanmadı. TI-201 MPS çalışmasında ağır derecede defekt saptanan 15 segmentin, F-18 FDG PET/BT çalışmasında sadece 4'ünde ağır derecede defekt izlendi (Tablo 2). TI-201 MPS çalışmasında tanımlanan defekt dereceleri ile F-18 FDG PET/BT çalışmasında tanımlanan defekt dereceleri arasında farklılıklar vardı ve bu farklılıklar istatistiksel olarak anlamlıydı ( $p<0,001$ ) (Tablo 2).

**Sonuç:** Çalışmamızda, miyokard canlılığı saptamada, özellikle defekt derecesi arttıkça, FDG-PET/BT çalışmasının TI-201 MPS çalışmasından daha duyarlı ve daha etkin bir yöntem olduğunu gösterdik.

**Anahtar Kelimeler:** Miyokard infarktüsü, PTCA, sintigrafi, TI-201 MPS, kardiyak FDG- PET/BT

**Tablo 1. Dört yüz sekiz segmentteki defekt derecesinin dağılımı (%)**

	Normal	Hafif	Orta	Ciddi	Tam defekt	Toplam
F-18 FDG PET/BT	80,1	4,9	8,1	2,0	4,9	100
TI-201 MPS	75,7	3,2	10	3,7	7,4	100

MPS: Miyokard perfüzyon sintigrafisi, FDG: Florodeoksiglikoz, PET/BT: Pozitron emisyon tomografi/bilgisayarlı tomografi

**Tablo 2. Sekiz yüz on altı segmentin TI-201 ve F-18 FDG PET/BT de karşılaştırmalı analizi**

	F-18 FDG	PET/BT'de	Defekt	Derecesi			
	Normal	Hafif	Orta	Ciddi	Tam defekt	Total	
TI-201	Normal	308	1	0	0	309	
MPS'de	Hafif	4	8	1	0	13	
Defekt	Orta	15	9	17	0	41	$p<0,001$
Derecesi	Ciddi	0	2	9	4	15	
	Tam defekt	0	0	6	4	20	
	Total	327	20	33	8	20	408

MPS: Miyokard perfüzyon sintigrafisi, FDG: Florodeoksiglikoz, PET/BT: Pozitron emisyon tomografi/bilgisayarlı tomografi

**[SS-054]****Adenozin ile Farmakolojik MPS'de Kantitatif Yazılım Programlarının Doğruluğunun Karşılaştırılması****Özgür Omak, Ayşegül Aksu, Burçak Yılmaz***Başakşehir Çam ve Sakura Şehir Hastanesi, Nükleer Tip Kliniği, İstanbul*

**Amaç:** Koronavirüs hastalığı-2019 (COVID-19) pandemisi sonrası eforlu miyokard sintigrafisinin (MPS) yapılamaması ve diğer farmakolojik stres ajanlarının da ulaşılabilirliğinin kısıtlı olması nedeniyle adenozin ile MPS sayısında belirgin artış gözlemlenmiştir. Bu çalışmanın amacı adenozin ile farmakolojik stres test yapılan miyokard perfüzyon sintigrafisinin kantitatif analizinde farklı yazılım programlarının doğruluğunun değerlendirilmesidir.

**Yöntemler:** Temmuz 2020-Şubat 2021 tarihleri arasında bölümümüzde adenozin ile farmakolojik stres test uygulanmış miyokard perfüzyon sintigrafisi (MPS) çekilmiş hastalar retrospektif olarak değerlendirildi. MPS sonrasında koroner anjiyografi yapılmış olan hastalara hastane bilgi sistemi üzerinden ulaşıldı. Koroner anjiyografisi normal olarak raporlanan hastalarda toplam stres skoru (SSS), toplam rest skoru (SRS) ve toplam fark skoru (SDS), stres ve rest şiddet skorları ve reversibilite skorları ECToolbox yazılımı ile hesaplandı. Myovation yazılımindan da hastaların ejeksiyon fraksiyonu (EF), 17 segment modeline göre stres ve rest görüntüleri arasındaki fark (TDSm) da elde edildi.

**Bulgular:** Koroner anjiyografi sonucu normal olarak saptanan yaş ortalaması  $52 \pm 10$  (34-75) yıl olan 51'i kadın toplamda 72 hasta çalışmaya dahil edildi. Ortalama SSS  $3 \pm 4$  (0-18), SRS  $1 \pm 1$  (0-4), SDS  $2 \pm 4$  (0-15) olarak hesaplandı. Ortalama ve ortanca stres şiddet skoru  $261 \pm 287$ , 150 (0-1352), rest şiddet skoru  $101 \pm 159$ , 17,5 (0-746), reversibilite skoru  $94 \pm 167$ , 28,5 (0-824) olarak elde edildi. Hastalarda ortalama EF % $63 \pm 12$  (31-85) idi. Myovation yazılımindan elde edilen total fark skoru  $88 \pm 54$  (6-227) olarak elde edildi. SDS ile reversibilite skor arasında zayıf düzeyde korelasyon izlenirken ( $\rho=0,394$ ,  $p=0,001$ ), TDSm ne SDS ne de reversibilite skoru ile anlamlı korelasyon göstermektedi ( $p=0,381$  ve  $0,550$ , sırasıyla).

**Sonuç:** Adenozin ile farmakolojik stres testi ECToolbox verileri ile uyumlu iken Myovation yazılımindan benzer sonuçlar elde edilememiş olup kantitatif analiz yaparken tek bir yazılıma bağlı kalınmaması, birden fazla yazılım programından destek alınması uygun olabilir. Bu konuda yapılan prospektif çalışmalarla ihtiyaç vardır.

**Anahtar Kelimeler:** Adenozin, farmakolojik stres, MPS, kantitatif analiz, veri tabanı

**[SS-055]****Farmakolojik Stres Test ile Yapılan MPS'de Atenüasyon Düzeltme Görüntülemenin Kantitatif Analizde Katkısı****Cihan Şin, Mehtap Güler, Ayşegül Aksu, Burçak Yılmaz***Başakşehir Çam ve Sakura Şehir Hastanesi, Nükleer Tip Kliniği, İstanbul*

**Amaç:** Miyokard perfüzyon sintigrafisinde (MPS), diyafragma ve meme dokusuna bağlı artefaktlar en sık görülen ve yalancı pozitif raporlamaya neden olan durumlardır. Bu nedenle atenüasyon düzeltme amacıyla supine görüntüleme yanında prone görüntüleme de yapılmaktadır. Bu çalışmada amacımız, stres prone ve stres supine görüntülemede uygulanan kantitatif analiz sonuçlarının koroner anjiyografi (KAG) sonuçları ile karşılaştırılmasıdır.

**Yöntemler:** Temmuz 2020-Şubat 2021 tarihleri arasında bölümümüzde adenozin ile farmakolojik stres test yapılmış çift gün protokolü

ile MPS çekilmiş hastalar retrospektif olarak değerlendirildi. MPS sonrasında KAG yapılmış olan hastalara hastane bilgi sistemi üzerinden ulaşıldı. Semikantitatif parametreler, otomatik bilgisayar yazılımı (Myovation Evolution) kullanılarak elde edildi. Supine stres/rest, prone stres/rest perfüzyon bulgularına ait sayısal veriler hem 17 segment modeline göre hem de koroner arter alanlarına göre not edilerek aradaki fark hesaplandı. Ayrıca 17 segmentteki skor farklarının toplamı (TDS) elde edildi. KAG'de koroner arter çap darlığı kaydedildi. Darlık durumuna göre hastalar iki gruba ayrılarak verilerin doğruluğu istatistiksel olarak analiz edildi.

**Bulgular:** Yaş ortalaması  $60 \pm 10$  (41-80) yıl olan 18'i (%56) kadın toplamda 32 hasta çalışmaya dahil edildi. On beş hasta KAG'de koroner arterlerde darlık saptanmadı. KAG normal olanlar ile herhangi bir darlık saptanınanlar arasında prone ve supine stres görüntülemede 17 segment modelinde, koroner arter skorlarında (LAD, Cx, RCA) ve TDS'de anlamlı bir farklılık elde edilemedi ( $p>0,05$ ). KAG'de %50 ve üzerinde darlık bulunan 12 hasta bulunmaktaydı. Darlık %50 ve üzerinde olanlar ile %50 altında olanlar arasında benzer şekilde prone-supine stres görüntülerinde yine 17 segment modelinde, koroner arter skorlarında ve TDS'de anlamlı bir farklılık mevcut değildi ( $p>0,05$ ).

**Sonuç:** Prone stres MPS görüntülemede ve supine stres MPS görüntülemede KAG'deki darlık durumlarından bağımsız olarak yapılan kantitatif analizlerde her iki çekim protokolünde anlamlı farklılık olmaması sebebi ile atenüasyon düzeltme amacı ile ek görüntüleme yapılamayan durumlarda kantitatif analiz programlarının kullanılması MPS raporlamada doğruluğu daha güvenli olarak artıracaktır. Hasta sayısının artırıldığı prospektif çalışmalar ile bulguların desteklenmesi gereklidir.

**Anahtar Kelimeler:** Prone, supine, MPS, kantitatif analiz, farmakolojik stres

**[SS-056]****Solid State Gama Kamerallarda Miyokard Perfüzyon Sintigrafisinin Negatif Belirleyici Değeri****Nahide Belgit Talay, Elif Şahin Kütkü, Tatiana Bahçeci, Elif Özdemir***Ankara Şehir Hastanesi, Nükleer Tip Kliniği, Ankara*

**Amaç:** Miyokard perfüzyon sintigrafisi (MPS), koroner arter hastalığının (KAH) tanısında uzun yıllardır yaygın olarak kullanılan non-invazif bir görüntüleme yöntemidir. Son yıllarda kullanımına giren kardiyak görüntülemeye spesifik Kadmiyum-Çinko-Tellür (CZT) kameralar ile daha düşük radyofarmasötik dozları ile daha kısa sürede yüksek rezolüsyonda görüntüler elde edilebilmektedir. Çalışmamızda solid state kardiyak kameralar ile normal sınırlarda izlenen MPS'nin KAH için negatif belirleyici değerini tespit etmek amaçlanmıştır.

**Yöntem:** Klinikimize Şubat 2019-Ocak 2020 tarihleri arasında KAH şüphesi ile yönlendirilen ve Cardiac Spect NM 530 GE cihazı kullanılarak MPS görüntülemesi yapılan yaklaşık 6432 hastanın raporu retrospektif olarak değerlendirildi ve normal sınırlarda olarak raporlanan 1554 hasta çalışmaya dahil edildi. Takipte non-kardiyak ölüm olan 4 hasta çalışma dışı bırakıldı [COVID-19 enfeksiyonu ( $n=2$ ), malignite ( $n=2$ )]. Çalışmaya dahil edilen 1550 hastanın (ortalama yaşı: 59, K: 943 E: 607) normal MPS sonrası ortalama  $17,94 \pm 3,7$  (12-24) ay klinik takipleri değerlendirilerek MACE kriterleri (major adverse cardiac event) doğrultusunda ölüm, miyokard enfarktüsü veya revaskülarizasyon (PTCI ve/veya CABG) olaylarının gerçekleşme oranlarına bakıldı.

**Bulgular:** Hastaların KAH risk faktörleri Tablo 1'de yer almaktadır. Hastaların %80'inde treadmill stres ( $n=1246$ ), %20'sinde ise adenozin ile farmakolojik stres ( $n=304$ ) uygulanmıştır. Takipte hastaların %3'üne koroner anjiyografi ( $n=41$ ) yapılmış olup %0,3'üne PTCA ( $n=4$ ), %0,1'ine CABG ( $n=2$ ) ve %24'üne ( $n=371$ ) medikal tedavi uygulandığı saptanmıştır (Tablo 2). CABG yapılan

hastalardan birinde ise daha sonra işlem sonrası komplikasyon (mediastinit) sonucu ölüm olduğu tespit edildi (%0,1). Takipte hastaların hiçbirinde ise miyokard enfarktüsü veya kardiyak ölüm gerçekleşmemiştir. Majör kardiyak olay tespit edilen hastaların hepsinde daha önceden bilinen KAH mevcut olduğu gözlenmiştir. Takip verileri ile MPS'nin negatif belirleyici değeri %99,6 olarak hesaplanmıştır.

**Sonuç:** Literatürde konvansiyonel gama kameralar ile MPS'nin KAH için negatif belirleyici değeri %82-97 arasında değişen değerlerde bildirilmiştir. Çalışmamızda ise solid state kardiyak kameralar ile KAH için %99,6 gibi oldukça yüksek bir NPV tespit edilmiştir. Bu bulgu ile KAH için düşük riskli hastaların belirlenmesi ve hastalara gereksiz ek tetkik ve invazif işlemlerin yapılmasını önlemek açısından kardiyak solid state gama kameralar ile MPS'nin başlangıç testi olarak kullanılmasını öneririz.

**Anahtar Kelimeler:** Miyokard perfüzyon sintigrafisi, solid state kamera, negatif belirleyici değer

**Tablo 1. MPS sonrası takipte gelişen majör kardiyak olaylar ile uygulanan tedavi ve işlemler**

	n (%)
Koroner anjiyografi	41 (%2,6)
Medikal tedavi	371 (%23,9)
CABG	2 (%0,1)
PTCA	4 (%0,3)
MI	0
Ölüm	1 (%0,1)
Toplam MACE	6 (%0,4)

MPS: Miyokard perfüzyon sintigrafisi, CABG: Koroner baypas cerrahisi, PTCA: Perkütan koroner anjiyoplasti

**Tablo 2. Hasta bilgileri ve risk faktörleri**

Risk faktörleri	n (%) veya ortalama (SS)
Yaş	59,33±10,62
Cinsiyet	
Kadın	943 (%60,8)
Erkek	607 (%39,2)
Hipertansiyon	750 (%48,4)
Diyabet	406 (%26,2)
Hiperlipidemi	388 (%25)
KAH öyküsü	480 (%31)
Sigara	149 (%9,6)

SS: Standart sapma, KAH: Koroner arter hastalığı

## [SS-057]

### COVID-19 Sonrası Emboli Şüphesi Olan Hastalarda Yapılan Akciğer Perfüzyon Sintigrafisi Bulgularının Değerlendirilmesi

Melis Oflas<sup>1</sup>, Emine Göknur İşık<sup>1</sup>, Murat Yılmaz Kırın<sup>1</sup>, Dilara Denizmen<sup>1</sup>, Mustafa Erel<sup>2</sup>, Zeynep Gözde Özkan<sup>1</sup>

<sup>1</sup>İstanbul Üniversitesi, İstanbul Tip Fakültesi, Nükleer Tip Anabilim Dalı, İstanbul

<sup>2</sup>İstanbul Üniversitesi, İstanbul Tip Fakültesi, Göğüs Hastalıkları Anabilim Dalı, İstanbul

**Amaç:** Koronavirüs hastalığı-2019 (COVID-19) öyküsü bulunan hastalarda takipterde gelişen pulmoner emboli (PE) şüphesi ile çekilmiş akciğer perfüzyon sintigrafisinde, perfüzyon defektlerinin varlığını ve dağılımını değerlendirmeyi amaçladık.

**Yöntem:** Ağustos 2020-Şubat 2021 tarihleri arasında PE şüphesiyle akciğer perfüzyon sintigrafisi çekilen ve geçirilmiş COVID-19 enfeksiyonu öyküsü olan hastalar çalışmaya dahil edildi. Hastaların semptomları, D-dimer değerleri, anti-koagulan kullanımı ve hastane yataş öyküsü değerlendirildi. Sintigrafide PE ile uyumlu perfüzyon defekti saptanan hastalarda, defektlerin her iki akciğerde loblara göre dağılımı belirlendi. Defektlere küçük subsegmenter, subsegmenter, segmenter olarak gruplandırılarak her iki akciğerdeki dağılımı saptandı. COVID-19 (+)'ının, perfüzyon defektlerinin sayı, lokalizasyon ve yaygınlığına etkisini değerlendirme amacıyla COVID-19 geçirmemiş ancak PE pozitif olan bir kontrol grubu oluşturuldu (n=35). Her iki grup arasında PE dağılımındaki farklılık araştırıldı (SPSS versiyon 22.0).

**Bulgular:** Çalışmaya 27'si erkek, 36'sı kadın toplam 63 hasta dahil edildi [ortalama (ortalama) yaşı: 57 (21-89)]. Hastaların 22'sinde (%34,9) PE saptanırken, 41'inde (%65,1) PE saptanmadı. Hastaların (n=63) 22'si ciddi COVID (+) nedeniyle hastanede yatarak tedavi görürken bunların 9'u PE pozitif hasta grubundaydı. Sintigrafi çekimi esnasında 3'tünde nefes darlığı, 3'tünde öksürük mevcuttu. Hastaların 41'i ayaktan tedavi almış olup bunların 13'ü PE pozitif hasta grubundaydı. Sintigrafi çekimi sırasında 5'te nefes darlığı, 4'te öksürük mevcuttu. Hastaların ortalama D-dimer değeri 1550,3 (190-11070) iken PE (+) ve PE (-) hastalarda ortalama D-dimer değerleri sırasıyla; 2223,5 ve 1179,9 idi. İki grup arasında istatistiksel olarak anlamlı farkılık saptanmadı ( $p=0,431$ ). PE saptanmış hastaların 7'sinde sadece sağ (%31,81), 1'inde sadece sol (%04,55), 14'ünde ise (%63,64) bilateral akciğerde perfüzyon defekti gözlandı. Loblara ve perfüzyon defekt büyülüklüklerine göre dağılım Tablo 1 ve 2'de verilmiştir. Kontrol grubu ile COVID-19 (+) PE geçiren hasta grupperinde PE'nin loblara göre dağılımında anlamlı farkılık saptanmadı ( $p=0,556$ ), ancak COVID-19 (+) hastalarda sağ akciğer ve orta lobda daha sık şekilde perfüzyon defekti görüldü.

**Sonuç:** COVID-19 enfeksiyonunda yüksek morbidite ve mortaliteye neden olan yaygın endotel hasarı sonucu gelişen durumlardan biri de PE'dir. Akciğerlerdeki endotel hasarı ile birlikte trombin salınımında artış ve fibrinoliz salınımında azalma ve buna bağlı hiperkoagülasyona eğilim oluşmaktadır. Profilaktik anti-koagulan tedaviye rağmen takipte hastaların PE riskinin devam ettiği gözlemlenmektedir. D-dimer yüksekliği bulunan PE açısından şüpheli hastalarda her zaman klinik bulgu olmasa da akciğer perfüzyon sintigrafisinde emboli saptanabilemektedir. Bu sebeple COVID-19 enfeksiyonu sonrasında PE şüphesi bulunan hastalarda sintigrafisinin yaygın kullanımının hastalarda doğru tanı ve tedaviye yol göstereceği düşünülmektedir.

**Anahtar Kelimeler:** COVID-19, akciğer perfüzyon sintigrafisi, pulmoner emboli, D-Dimer

**Tablo 1. Pulmoner emboli lehine bulgu saptanan hastaların perfüzyon defektlerinin loblara göre dağılımı**

Sağ/sol akciğer	Akciğer lobları	COVID-19 PE (+) (n=22)	Kontrol grubu (n=35)
Sağ akciğer		21 (%95,45)	27 (%77,14)
	Üst lob	15 (%68,18)	20 (%57,14)
	Orta lob	15 (%68,18)	20 (%57,14)
	Alt lob	7 (%31,81)	18 (%51,42)
Sol akciğer	Üst lob	15 (%68,18)	25 (%71,43)
	Orta lob	14 (%63,63)	19 (%54,29)
	Alt lob	6 (%27,27)	11 (%31,43)

COVID-19: Koronavirüs hastalığı-2019, PE: Pulmoner emboli

**Tablo 2. Perfüzyon defektlerinin boyutlarına göre her iki akciğerde dağılımı**

Sağ/sol akciğer	Akciğer lobları	Küçük subsegmenter defekt sayısı	Subsegmenter defekt sayısı	Segmenter defekt sayısı	Toplam
Sağ akciğer		16	19	13	48
	Üst lob	8	10	2	20
	Orta lob	7	5	7	19
	Alt lob	1	4	4	9
Sol akciğer	Üst lob	7	11	5	23
	Orta lob	4	8	4	16
	Alt lob	3	3	1	7
<b>Toplam</b>		<b>23</b>	<b>30</b>	<b>18</b>	<b>71</b>

**[SS-058]****Stres Miyokard Perfüzyon Sintigrafisinde Supin-Pron Görüntülemenin İstirahat Görüntüleme İhtiyacı Kararı Üzerine Etkisi**

Osman Kupik, Ozan Kandemir, Levent Akca, Deniz Söylemez, Mustafa Yılmaz, Taner Erselcan

Muğla Sıtkı Koçman Üniversitesi Eğitim ve Araştırma Hastanesi, Nükleer Tip Kliniği, Muğla

**Amaç:** Tc-99m MIBI tek foton emisyon bilgisayarlı tomografi (SPECT) miyokard perfüzyon sintigrafisinde, stres çalışmada supin ve pron pozisyonunda yapılan görüntülemelerin ayrı ayrı ve birlikte değerlendirilmesinin, istirahat görüntüleme ihtiyacı kararı üzerine etkisini araştırdı.

**Yöntem:** Stres miyokard perfüzyon sintigrafisinde, supin ve pron pozisyonunda görüntüleme yapılan 232 hastayı dahil etti (kadın: 108, yaş:  $56,63 \pm 1,022$ , erkek: 124, yaş:  $56,89 \pm 1,225$ ). Dört değerlendirme grubu ayrıldı (grup A, grup B), her bir değerlendirme grubu hasta kliniğinden habersiz, farklı zamanlarda, supin, pron ve supin + pron görüntülerini değerlendirdi. Grup içerisinde ve gruplar arasında, sonuçların uyum analizlerini yaptı. Ayrıca supin ve pron çalışmada elde ettığımız, summed stress score (SSS), summed motion score (SMS), summed thickness score (STS), end diastolic volume (EDV) ve ejeksiyon fraksiyonu (EF) değerlerinin istirahat görüntüleme yapılması ihtiyacı kararı (Supin+pron analiz sonucu) üzerine etkisini alıcı işletim karakteristiği analizi ile değerlendirdik.

**Bulgular:** Grup A sonuçları; supin görüntüye bakılarak 123 hastada (%53), pron görüntü ile 99 hastada (%43,2), supin + pron değerlendirmede 32 hastada (%13,9) istirahat görüntüye ihtiyaç duyuldu. Grup B sonuçları; supin görüntüye bakılarak 98 hastada (%42,2), pron görüntü ile 106 hastada (%46,3), supin + pron değerlendirmede 33 hastada (%14,3) istirahat görüntüye ihtiyaç duyuldu. Grup A ve B içerisinde; supin ve pron değerlendirmenin sonuçları arasında yaptığı uyum analizinde Kappa sırasıyla; 0,428 ve 0,320 ( $p < 0,0001$ ) bulundu. Gruplar arası uyum analizinde; supin değerlendirmede Kappa: 0,582,  $p < 0,0001$ , pron değerlendirmede Kappa: 0,709,  $p < 0,0001$ , supin + pron değerlendirmede ise Kappa: 0,946,  $p < 0,0001$  bulundu. Supin ve pron değerlendirmede elde ettiğimiz kantitatif değerlerin istirahat görüntüye ihtiyaçlı karar vericiliği üzerinde analizler yaptı. Alıcı karakteristik eğrisi analizde pron görüntü SSS değeri ile supin + pron değerlendirme sonucu [eğri altındaki alan (AUC): 0,804,  $p < 0,0001$ ] ve supin görüntü EDV değeri ile supin + pron değerlendirme sonucu (AUC: 0,710,  $p = 0,0007$ ) ilişkili bulundu. SSS  $> 4$  için, duyarlılık %68,6, özgürlük %77,8 bulundu. EDV 89 mL için duyarlılık %60, özgürlük %73,2 bulundu.

**Sonuç:** Tc-99m MIBI SPECT miyokard perfüzyon sintigrafisinde stres çalışmada supin ve pron pozisyonda yapılan görüntülemelerin birlikte değerlendirilmesinin istirahat görüntüleme ihtiyacını büyük oranda azalttığı sonucunu elde etti. Her iki pozisyonda görüntüleme yapmanın zaman kaybına yol açacağı düşünülse de, gereksiz istirahat görüntülemenin önüne geçecek olmasının zaman kaybı, maliyet ve radyasyon maruziyeti açısından avantaj sağlayacağını düşünüyoruz.

**Anahtar Kelimeler:** Miyokard perfüzyon sintigrafisi, supine, prone**[SS-059]****COVID-19'un Miyokard Perfüzyon Sintigrafisi Üzerine Etkisi**

Ayşegül Aksu, Özge Vural Topuz, Burçak Yılmaz

Başakşehir Çam ve Sakura Şehir Hastanesi, Nükleer Tip Kliniği, İstanbul

**Amaç:** Şiddetli akut solunum yolu sendromu-Koronavirüs-2 (SARS-CoV-2) kaynaklı Koronavirüs hastalığı-2019 (COVID-19) Aralık 2019 tarihinde ilk olgu bildirimi ile dünya geneline yayılmıştır. Halen virüs kaynaklı bilinmeyen pek çok bulgu literatüre sunulmaya devam etmektedir. Bu çalışmada, SARS-CoV-2 enfeksiyonunun miyokard perfüzyon sintigrafisi (MPS) bulguları üzerine etkisi araştırılmıştır.

**Yöntemler:** Temmuz 2020-Ocak 2021 tarihleri arasında klinikümüzde koroner arter hastalığı (KAH) şüphesi/tanısı ile adenozin ile farmakolojik stres MPS yapılmış olan tüm hastalar, hastane bilgi sistemi üzerinden retrospektif olarak tarandı. KAH öyküsü bilinen (stent/bypass) 44 hasta çalışmaya dahil edilmedi. MPS çekiminden 1 ay önce veya MPS'den sonra 2 hafta içerisinde gerçek zamanlı polimeraz zincir reaksiyonu (rt-PCR) testi pozitif olan ve/veya bilgisayarlı tomografi ile COVID-19 tanısı alan hastalar (pozitif grup) ile rt-PCR testi ile iki hafta içerisinde COVID-19 tanısı dışlanan hastalar (kontrol grubu) çalışmaya dahil edildi. Semikantitatif parametreler, otomatik bilgisayar yazılımı kullanılarak elde edildi. Stres ve rest görüntülerinde perfüzyon bulgularına ait sayısal veriler hem 17 segment modeline göre hem de koroner arter alanlarına göre not edilerek aradaki fark hesaplandı. Ayrıca on yedi segmentteki skor farklarının toplamı (TDS) elde edildi. Pozitif grup ile kontrol grubu arasındaki fark istatistiksel olarak analiz edildi. MPS sonrası koroner arter anjiyografi (KAA) yapılmış hastalarda koroner arter çap darlığı kaydedildi.

**Bulgular:** Yaş ortalaması  $56 \pm 19$  (31-84) yıl olan 64'ü (%43,5) kadın toplam 147 hasta çalışmaya dahil edildi. Elli altı (%38,1) hasta pozitif grupta yer alırken 91 hasta kontrol grubunda idi. Pozitif gruptaki hastalarda sol

anterior descending (LAD) ve sirkumfleks (CX) arter skorlarında, kontrol grubu hastalara göre istatistiksel olarak anlamlı yüksek değerler elde edildi (sırası ile;  $p=0,049$  ve  $0,026$ ). TDS'de de pozitif gruptaki hastalarda kontrol grubuna göre anlamlı düzeyde farklılık saptandı ( $p=0,030$ ). On beş gün içerisinde COVID-19 geçirmiş hastalarda TDS skorundaki fark istatistiksel olarak daha da anlamlı hale geldi ( $p=0,014$ ). Altmış beş (%44,1) hastaya anjiyografi yapılmıştı. Bu hastalardan kritik darlık ( $>70\%$ ), pozitif gruptaki 6 hasta (%24), kontrol grubundaki 4 (%10) hasta saptandı, ancak bu iki küçük grup arasında anlamlı fark elde edilemedi ( $p=0,165$ ). COVID-19 durumundan bağımsız olarak KAA'da kritik darlık izlenen ve izlenmeyeen hastalarda koroner skorlarında ve toplam skorda anlamlı fark elde edilemedi.

**Sonuç:** Bu çalışmada miyokardi besleyen LAD ve CX dallarına ait alanlarda COVID-19 pozitif hastalarda kontrol grubuna göre anjiyografi ile ispatlanmış darlık seviyelerinden bağımsız olarak anlamlı perfüzyon değişiklikleri saptanmış olması, hastalığın bu bölgelerdeki aktif tutulumunun göstergesi olabileceğini düşündürmektedir.

**Anahtar Kelimeler:** MPS, COVID-19, SARS-CoV-2

#### [SS-060]

### Nöroendokrin Tümörlerin Lokalizasyon ve Histopatolojik Özelliklerinin Ga-68 DOTATATE PET/BT ile Değerlendirilmesi

Farise Yılmaz, Gonca Kara Gedik

Selçuk Üniversitesi Tip Fakültesi, Nükleer Tip Anabilim Dalı, Konya

**Amaç:** Nöroendokrin tümörler (NET) birçok farklı organlardaki nöroendokrin hücrelerden köken alan çeşitli neoplazmları içeren heterojen bir grup tümörü temsil eder. Bu çalışmanın amacı, NET'lerin histopatolojik özelliklerinin bilinmesinin, tanı ve takibinde güncel görüntüleme yöntemi olarak kullanılan Ga-68 peptid pozitron emisyon tomografisi/bilgisayarlı tomografilerin (PET/BT) yorumlanmasındaki katkısını vurgulamaktır.

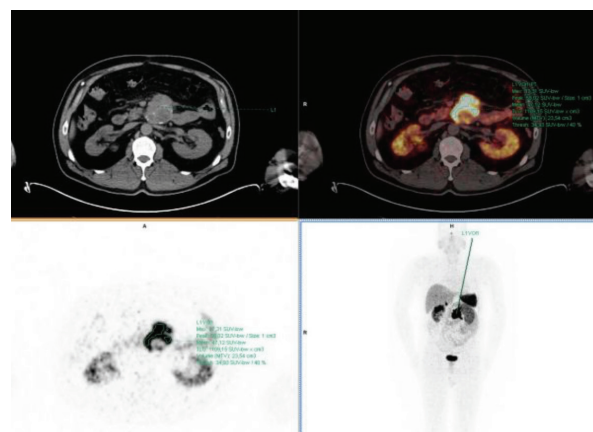
**Yöntem:** Selçuk Üniversitesi Tip Fakültesi 2019-2020 yılları arasında Ga-68 DOTATATE PET/BT ile görüntülenen ve primer lezyondan histopatoloji raporları elde edilen 47 nöroendokrin tümör (NET) hastası değerlendirilmeye alındı. Amerikan kanser komitesi (AJCC; American Joint Committee on Cancer) 8. versiyon 2017 sınıflamasına göre hastalar 4 ayrı sınıflamaya alındı. Ki-67 indeksi %3'ün altında olanlar Grade 1 (G1), %3-20 arasında olanlar Grade 2 (G2), %21-55 arasında Grade 3 (G3), %55 ve üzeri olanlar ile büyük ve küçük hücreli tümörler ise nöroendokrin karsinoma (NEK) grubuna dahil edildi. Hastaların iki yıllık takipleri sırasında hastalık seyri "stabil" ve "progresyon" olarak, Hastane Bilgi Sistemi'nden retrospektif yöntemle, Ga-68 DOTATATE PET/BT ve radyoloji görüntüleme sonuçlarına göre değerlendirildi. Hastanın ilk Ga-68 görüntülemesindeki primer lezyonun SUV<sub>maks</sub> değerlerinin aritmetik ortalaması alındı.

**Bulgular:** Toplam 47 hastanın 26'sı kadın (%55), 21'i erkek (%45) idi. 30 hasta [21 kadın (K), 9 erkek (E)] Grade 1 grubunda olup 23'ü (%77) gastroenteropankreatik (GEP), 3'ü (%10) solunum yolları, 3'ü (%10) apendiks 2'i de over (%3) kaynaklı olduğu tespit edildi. Ortalama SUV<sub>maks</sub>: 67,47 idi. Grade 2'de 9 hasta (3K, 6E) vardı. Bunlardan 3 hasta GEP (%33), 4 hasta solunum yolları (%45), 1 hasta meme (%11) ve 1 hasta da tiroid meduller karsinomu (%11) orjinliydi. Ortalama SUV<sub>maks</sub>: 31,57 idi. Grade 3'te 4 hasta (3E, 1K) olup, 3 hasta (%75) GEP, 1 hasta (%25) ise prostat kaynaklı idi. Ortalama SUV<sub>maks</sub>: 14,13 idi. Son grup olan NEK'lerde toplam 4 hasta (3E, 1K) olup 2'si pankreas (%50) diğer 2'si de solunum yolları (%50) kaynaklı idi. Ortalama SUV<sub>maks</sub>: 8,26 idi. Tümör grade'yi artıkça SUV<sub>maks</sub> değerinin azaldığı ve erkeklerde görülmeye olasılığının arttığı dikkati çekti. Literatürle uyumlu olarak %72 hasta ile en çok gastrointestinal sistemden, %19'u solunum sisteminden, %9'u ise endokrin ve ürogenital sistemden kaynaklandığı görüldü. Grade 1'de çekum kaynaklı 1 hasta (%3) progresyon, 29 hasta

(%97) stabil hastalık mevcutken, Grade 2'de 2'si pankreas, 2'si solunum 4 hasta (%45) progres, 5 hasta (%55) stabil, Grade 3 ve NEK grupta (toplam 8 hastanın 5'i GIS kaynaklı, 2'si solunum, 1'i prostat) %75 oranında progresyon gösterdiği dikkati çekmiştir (Tablo 1).

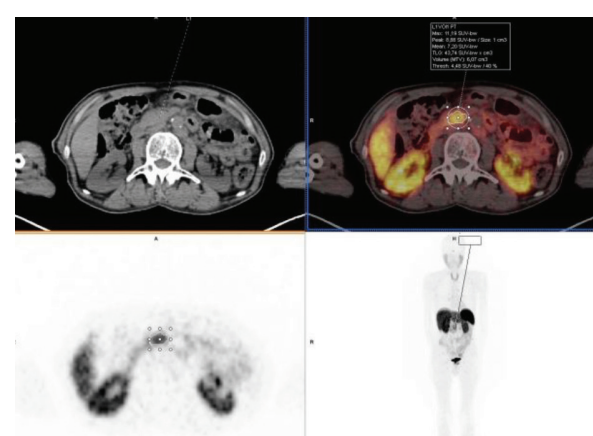
**Sonuç:** NET'lerin güncel sınıflandırılmasında halen WHO 2019 ve 2017 AJCC 8. versiyonu kullanılmaktadır. Hastaların tanı ve takibini yaparken histolojik grade ve lokalizasyon özelliğini göz önünde bulundurmanın, yanlış pozitif veya yanlış negatif raporlandırma olasılığını azaltarak daha kaliteli raporlandırmaya katkı sağlayacağını düşünmekteyiz.

**Anahtar Kelimeler:** Nöroendokrin tümör, Ga-68 DOTATATE PET/BT



**Şekil 1.** Batın içi yumuşak doku lezyonu, NET, Grade 1 grupta olan hastanın SUV<sub>maks</sub>: 87,31 olarak tespit edildi

NET: Nöroendokrin tümörler, SUV<sub>maks</sub>: Maksimum standart alım değeri



**Şekil 2.** Pankreas NET, Grade 3 grupta olan hastanın SUV<sub>maks</sub>: 11,19 olarak tespit edildi.  
NET: Nöroendokrin tümörler, SUV<sub>maks</sub>: Maksimum standart alım değeri

**Tablo 1. Net histopatoloji lokalizasyon Ga-68 DOTATATE PET/BT bulguları özetü**

	Grade 1	Grade 2	Grade 3	NEK
Gep	23	3	3	2
Apendiks	3	-	-	-
Solunum y	3	4	-	2
Over	1	-	-	-
Prostat	-	-	1	-
Meme	-	1	-	-
Tiroid	-	1	-	-
Cinsiyet	K/E yüksek	K/E düşük	K/E düşük	K/E düşük
Ortalama SUV <sub>maks</sub>	67,47	31,57	14,13	8,26
Progresyon	%3	%45	%75	%75
NEK: Nöroendokrin karsinoma, SUV <sub>maks</sub> : Maksimum standard alım değeri, PET/BT: Pozitron emisyon tomografisi/bilgisayarlı tomografi				

**[SS-061]****Lu-177 DOTATATE Tedavisi Almış Olan Hastalarda Tiroid Fonksiyonunun Değerlendirilmesi**

Ali Kibar, Burak İnce, Azizullah Nazari, Kübra Nur Toplutaş, Seçkin Bilgiç, Sertaç Asa, Rabia Lebriz Uslu Beşli, Muhammet Sait Sağer, Haluk Burçak Sayman, Kerim Sönmezoglu

*İstanbul Üniversitesi-Cerrahpaşa, Cerrahpaşa Tip Fakültesi, Nükleer Tıp Anabilim Dalı, İstanbul*

**Amaç:** Lu-177 DOTATATE tedavisi sonucu tiroid fonksiyonunda değişim olup olmadığıının araştırılması ve bu tedavinin tiroid açısından güvenilirliğinin değerlendirilmesi amaçlanmıştır.

**Yöntem:** Cerrahpaşa Tip Fakültesi Nükleer Tıp Anabilim Dalı'nda 2011-2020 yılları arasında 4 kür ve üzeri Lu-177 DOTATATE tedavisi alan 41 hasta incelendi. Tiroidektomi öyküsü olan veya levotiroksin kullanan ya da basal tiroid uyarıcı hormon (TSH) değerleri referans aralığı dışında olan hastalar çalışmaya dahil edildi. TSH ölçümleri için laboratuvar referans değerleri 0,27-4,2  $\mu$ U/mL idi. Tedavi öncesi "basal-TSH" değeri ile tedavi kürleri arasında ölçülen "interim-TSH" değerleri ve tedavi tamamlandıktan sonraki "son-TSH" değerleri incelendi. Interim-TSH değerleri veya son-TSH değerlerinde referans aralıkları dışına çıkan ölçümleri tespit edilen hastaların Lu-177 DOTATATE tedavisinden etkilendiği düşünüldü.

**Bulgular:** Hastaların 22'si (%53,7) erkek, 19'u (%46,3) kadındı. On hasta pankreas NET, 8 hasta ileum NET, 6 hasta karaciğer NET, 6 hasta akciğer karsinoid, 3 hasta paraganglioma, 2 hasta mide NET, 2 hasta feokromasitoma, 2 hasta kolon NET, 1 hasta gastrinoma, 1 hasta jejunum NET sebebiyle tedavi görmüştü. Hastaların son tedavi küründeki yaş ortalamaları  $57,5 \pm 12,5$  idi. Hastalara toplamda ortanca 1001 mCi (526-2535) Lu-177 DOTATATE tedavisi verilmiştir. Otuz üç (%80) hastada gerek interim-TSH gerekse son-TSH ölçümlerinde referans aralıkları dışına çıkan bir değişim izlenmedi. Buna karşın, toplam 8 (%20) hastada interim-TSH düzeylerinde referans aralıkları dışına çıkış (5 hastada artma; 3 hastada azalma) izlendi. Bunların 2'sindeki değişim (birinde artış, diğerinde azalış) son-TSH ölçümlerinde de sebat gösterirken, geri kalan 6 hastada interim-TSH ölçümlerindeki referans dışı değişimler sonraki ölçümlerde normal sınırlara döndü.

**Sonuç:** Tiroid bezinde bir miktar birikim gösternesine rağmen, Lu-177 DOTATATE tedavisinin tiroid fonksiyonları açısından oldukça güvenli bir

tedavi olduğu gözlenmiştir. Ancak bazı hastalarda geçici, nadiren de kalıcı TSH değişikliklerine neden olabileceği göz önünde bulundurulmalı ve bu hastaların rutin takibinde tiroid fonksiyon testlerine de bakılmalıdır.

**Anahtar Kelimeler:** Lu-177 DOTATATE, tiroid, TSH, radyonüklid tedavi

**[SS-062]****Subakut Tiroidit Sıklığı COVID-19 İlişkili Pandemi Döneminde Arttı mı? Tek Merkez Sonuçları**

Derya Çayır

*Sağlık Bilimleri Üniversitesi, Dışkapı Yıldırım Beyazıt Eğitim ve Araştırma Hastanesi, Ankara*

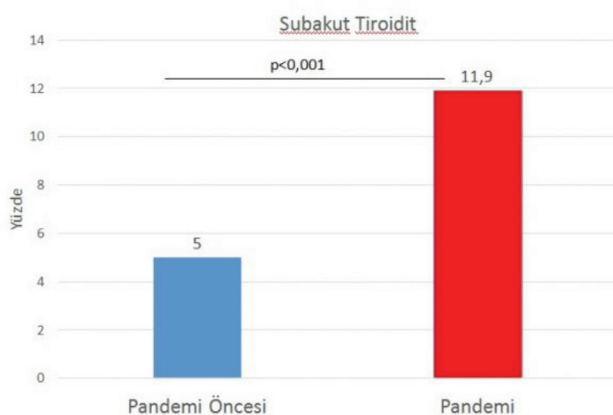
**Amaç:** Subakut tiroidit (De Quervain tiroiditi, granüloomatöz tiroidit, dev hücreli tiroidit, ağır tiroidit) tiroid bezinin viral kaynaklı akut enflamatuvar hastalığı olup, tirotoksikozların nadir bir nedenidir. İlk defa 1904 yılında Fritz de Quervain adlı İsveçli bir cerrah tarafından tanımlanmıştır. Influenza, adenovirus ve enterovirus gibi çeşitli viral üst solunum yolu enfeksiyonlarını takiben ortaya çıkar. Bu çalışmanın amacı, Koronavirüs hastalığı-2019 (COVID-19) ilişkili pandemi döneminde (PD) subakut tiroidit sıklığında artış izlenip izlenmediğinin tek merkez sonuçları ile değerlendirilmesidir.

**Yöntem:** Mart 2020-Ocak 2021 (PD) ve Mart 2019-Ocak 2020 [pandemi öncesi dönem (PÖD)] tarihleri arasında kliniğimizde Tc-99m perteknetat tiroid sintigrafisi çekilen 1091 hasta [751 kadın (K), 340 erkek (E), ortalama yaşı: 53,3] çalışmaya dahil edildi. Anamnez, klinik, laboratuvar ve ultrasonografik değerlendirmeler ile subakut tiroidit ön tanısı ile kliniğimize yönlendirilen hastalarda tiroid glandında diffüz veya fokal azalmış aktivite tutulumu izlenen hastalar subakut tiroidit olarak kabul edildi. Hastaların 24'üne I-131 uptake testi yapıldı. PD ile PÖD'de subakut tiroidit tanısı alan hastaların sıklığı karşılaştırıldı.

**Bulgular:** Hastaların demografik dağılımı Tablo 1'de görülmektedir. Hastaların 777'si (%71; 538 K, 239 E) PÖD'de, 314'ü (%29; 213 K, 101 E) PD'de idi. 76/1091 hastanın sintigrafik bulguları subakut tiroidit ile uyumlu bulundu. Bu hastaların 39/777 (%5)'si PÖD'de, 37/314 (%11,9)'ü PD'de idi. PD'de subakut tiroidit sıklığı, PÖD'de göre istatistiksel olarak anlamlı yüksekti ( $p < 0,0001$ ) (Tablo 2 ve Resim 1). PÖD'de hastaların (18/24) 4. saat I-131 uptake ortalaması %12,65 (9,825-15,525), 24. saat I-131 uptake ortalaması %8,65 (7,275-12,3); PD'de hastaların (6/24) 4. saat I-131 uptake ortalaması %18,05 (15,1-23,975), 24. saat I-131 uptake ortalaması %10,6 (7,425-15,45) olarak bulundu.

**Sonuç:** Subakut tiroidit tanısı kesin olarak T1AB ile konmakla birlikte, rutin pratikte klinik, laboratuvar ve ultrasonografik bulgular ile konmaktadır. Tiroid sintigrafisinde diffüz veya fokal azalmış aktivite tutulumu izlenmesi tanıyı desteklemektedir. I-131 uptake testinin düşük olması subakut tiroiditi diğer tirotoksikoz sebeplerinden ayırmada önemli rol oynar. Merkezimizin sonuçlarına göre COVID-19 ilişkili pandemi döneminde subakut tiroidit sıklığında artış saptanmıştır.

**Anahtar Kelimeler:** Subakut tiroidit, tiroid sintigrafisi, COVID-19, pandemi



Şekil 1.

Tablo 1. Hastaların demografik dağılımı	
Yaş	53,3±14,6
Cinsiyet	
Erkek	340 (31,2)
Kadın	751 (68,8)
Dönen	
Pandemi öncesi	777 (71,2)
Pandemi	314 (28,8)
Subakut tiroidit	
Yok	1015 (93,0)
Var	76 (7,0)

Tablo 2. Pandemi öncesi dönem ile pandemi döneminde değişkenler arasındaki ilişki			
	Pandemi öncesi	Pandemi	p
Yaş	54,4 (14,7)	50,6 (14,0)	<0,001
Cinsiyet			
Kadın	538 (69,2)	213 (67,8)	0,650
Erkek	239 (30,8)	101 (32,1)	
Subakut tiroidit			
Yok	738 (95,0)	277 (88,2)	<0,0001
Var	39 (5,0)	37 (11,9)	

## [SS-063]

**Tc-99m Hmpao ile İşaretli Lökosit Sintigrafisi ve Sistemik Enflamatuvar Markerların (NLR, PLR, SII) Karşılaştırılması**Seyit Ahmet Ertürk<sup>1</sup>, Özge Ulaş Babacan<sup>2</sup>, Zekiye Hasbek<sup>2</sup><sup>1</sup>T.C. Sağlık Bakanlığı, Tokat Devlet Hastanesi, Nükleer Tip Kliniği, Tokat  
<sup>2</sup>Sivas Cumhuriyet Üniversitesi Tip Fakültesi, Nükleer Tip Anabilim Dalı, Sivas

**Amaç:** Lökositler enfeksiyonlara ve neoplazilere karşı koruyucu rol üstlenen enflamatuvar veimmün yanıtın majör hücresel komponentleri olup, aynı zamanda hasarlanmış doku onarımına yardımcı bulunurlar. Periferal lökositlerin %55-65'ini nötrofiller, %3'ünü eozinofiller, %0,5'ini bazofiller, %25-35'ini lenfositler ve %3-7'sini monositler oluşturur. Kanda dolanan lökositlerin gama ışaması yapan radyoaktif maddeler ile işaretlenerek birikim gösterdiği alanları tespiti ile enfeksiyon ve enfiamasyon görüntülemesi günümüzde sıklıkla kullanılmaktadır. Bu amaçla yaygın olarak kullanılan radyofarmasötiklerden birisi de Teknesyum-99m HMPAO'dur (Tc-99m HMPAO). Sistemik enfiamasyonun değerlendirilmesinde nötrofil/lenfosit oranları (NLR), platelet lenfosit oranı (PLR) kullanılmaktadır. Ancak bu iki enflamatuvar marker nötrofil ve lenfosit sayılarını esas olarak bir değerlendirmeye olanak sağlar. Sistemik enflamatuvar indeks adı verilen marker ise nötrofil, trombosit ve lenfosit sayılarını baz alarak bir değerlendirmeye olanak sağlayan yeni bir prognostik belirteçdir. Bu çalışmada amacımız Tc-99m HMPAO ile işaretli lökosit sintigrafisi bulguları ile NLR, PLR ve SII gibi sistemik enflamatuvar markerların ilişkisini araştırmaktır.

**Yöntem:** Çalışmamızda rutin klinik işleyiş içerisinde 2014-2020 yılları arasında vücudun herhangi bir bölgesinde enfeksiyon şüphesi nedeni ile Tc-99m HMPAO ile işaretli lökosit sintigrafisi tetkiki yapılan hastalar dahil edildi. SII = (trombosit sayısı × nötrofil sayısı)/lenfosit sayısı formülü ile hesaplanırken, NLR mutlak nötrofil sayısının lenfositlerin mutlak sayısına bölünmesi ile, PLR ise mutlak trombosit sayısının olarak lenfositlerin mutlak sayısına bölünmesi ile hesaplandı. Veriler SPSS 23.0 programı ile değerlendirildi.

**Bulgular:** Çalışmamızda enfeksiyon görüntülemesi amacıyla işaretli lökosit sintigrafisi yapılmış 48 hasta yer almaktadır (38 erkek, 10 kadın, ortalama yaş: 59,1±13,5). Lökosit sintigrafisi ile SII ve PLR arasında istatistiksel olarak anlamlı ilişki varken, NLR ile arasında anlamlı ilişki bulunmadı. Lökosit sintigrafisi ile SII arasındaki ilişki değerlendirildiğinde sintigrafide enfeksiyon ile uyumlu olabilecek tutulum olan hastalarda SII ortalama 1,615±1,204 iken, olmayan hastalarda 1,065±419 idi ( $p=0,033$ ). Lökosit sintigrafisi ile PLR arasındaki ilişki değerlendirildiğinde sintigrafide enfeksiyon ile uyumlu olabilecek tutulum olan hastalarda PLR ortalama 191,03±98,80 iken, olmayan hastalarda 134,65±54,01 idi ( $p=0,016$ ). Lökosit sintigrafisi ile NLR arasındaki ilişki değerlendirildiğinde sintigrafide enfeksiyon ile uyumlu olabilecek tutulum olan hastalarda NLR ortalama 4,80±1,85 iken, olmayan hastalarda 4,10±1,35 idi ( $p=0,181$ ).

**Sonuç:** İşaretli lökosit sintigrafisi ve sistemik enflamatuvar markerlar karşılaştırıldığında sintigrafide enfeksiyon varlığı ile SII ve PLR arasındaki istatistiksel olarak anlamlı bir ilişki bulunurken NLR ile ilişki istatistiksel olarak anlamlı değildi.

**Anahtar Kelimeler:** Enfeksiyon görüntülemesi, işaretli lökosit sintigrafisi, Tc-99m HMPAO, PLR, NLR, SII

## [SS-064]

**Gastrointestinal Sistemde Rastlantısal F-18 Florodeoksiglukoz Tutulumu; Endoskopik Olarak Korelasyonu ve Klinik Önemi**Berrin Yalınbaş Kaya<sup>1</sup>, Yonca Yılmaz Ürün<sup>1</sup>, Anıl Uçan<sup>2</sup><sup>1</sup>Eskişehir Şehir Hastanesi, Gastroenteroloji Kliniği, Eskişehir<sup>2</sup>Eskişehir Şehir Hastanesi, Dahiliye Kliniği, Eskişehir

**Amaç:** Gastrointestinal sistem (GİS), florodeoksiglukozun (FDG) fizyolojik ve tesadüfi tutulumun yaygın bölgelerinden biridir. GIS içindeki değişken yoğunluk ve lokalizasyonlar fizyolojik F-18 FDG tutulumu yapabılır. GIS'deki bu fizyolojik tutulum, düz kaslar (esas olarak bağırsakta), sekresyonlar ve F-18 FDG'lik intralüminal konsantrasyon tarafından oluşturabilir. Çalışmamızda; GIS'de pozitron emisyon tomografi (PET)/bilgisayarlı tomografide (BT) F-18 FDG rastlantısal tutulumun klinik önemini araştırmayı planladık.

**Yöntem:** 2018-2021 yılları arasında Eskişehir Şehir Hastanesi'nde hem F-18 FDG-PET/BT hem de kolonoskopi, endoskopi yapılan 460 hastayı retrospektif olarak inceledik. Çalışmaya F-18 FDG-PET/BT taramasında GIS'de FDG aktivitesi olan ve aktivite saptandıktan sonra 2 ay içinde endoskopi ve kolonoskopi yapılan 122 hasta çalışmaya dahil edildi. GIS'de lokal veya diffüz FDG aktivitesi olan hastalarda tutulum bölgesindeki endoskopik lezyonlar, patoloji sonuçları, lezyonlu PET/BT ve endoskopik boyutları, SUV<sub>maks</sub> değerleri dokumente edildi. FDG-PET/BT görüntülemede ve endoskopi/kolonoskopide GIS tutulum bölgelerini; özofagus, mide, ince barsak ve kolon olarak sınıfladık. F-18 FDG aktivitesi GIS'de fokal ve diffüz olarak gruplandı. Patolojisinde karsinomlar, invaziv adenomlar, metastatik

hastalık, lenfoma, primer maligniteler ve GIS mukozasını invaze eden eden miyeloproliferatif hastalıklar maling grupta, hiperplastik polipler ile tübüöz, villöz ve tübülovillöz polipler, özafajit, kronik gastrit, kolit benign grupta sınıflandı.

**Bulgular:** PET/BT ile tarama yapılan 460 hastanın GIS'ye lokalize fokal veya diffüz olarak artmış F-18 FDG tutulumu 122'sinde (%26,5) tespit edildi. Araştırmaya katılan hastaların yaş ortalaması 64,9 (min: 20, maks: 93) yıldı. Katılımcıların %59'u (n=72) kadın, %41'i (n=50) erkekdi. Yüz yirmi iki hastanın fokal veya diffüz F-18 FDG tutulumu 44 (%36,1) hastada midede, 4 (%3,3) hastada ince bağırsaklarda, 52 (%42,6) hastada kolonda ve 22 (%18) özofagustaydı. SUVmaks değerleri maling lezyonlarda  $14,3 \pm 7,4$ , benignde  $7 \pm 3,9$ , fizyolojik olanda  $8,8 \pm 4,9$ 'du (Tablo 1). Kolonda maling lezyonda F-18 FDG tutulumunun 1 (%14) diffüz, 23(%60,5) fokal; midede 1 (%7,2) diffüz, 10 (%33,3) fokal iken ince barsak maling lezyonlarından 2 (%40) diffüz; 1 (%50) fokal ve özofagusta 1 (%12,5) diffüz; 2 (%16,7) fokal tutulum saptanmıştır. F-18 FDG tutulumu 40 (%32,8) hastada diffüz iken 82 (%67,2) hastada fokaldı. Fokal tutulumun 36'sı (%43,9) maling lezyonla ilişkili iken diffüz tutulumların 5'i (%12,5) maling lezyondu (Tablo 2). Histopatolojisi maling olan lezyonların fokal tutulum 36 (%87,8) iken diffüz tutulum 5'ti (%12,2) (p-değeri 0,05). Histopatolojisi benign olan lezyonların fokal tutulum 37 (%62,2) iken diffüz tutulum 22 (%37,3) saptandı.

**Sonuç:** Çalışmamız göstermiştir ki; GIS'de abnormal F-18 FDG tutulumu olan hastalarda ileri tetkik amacıyla endoskopi, kolonoskopi ve doku örnekleme yapılması gerekmektedir.

**Anahtar Kelimeler:** Gastrointestinal sistem, F-18 FDG, PET/BT, endoskopi

**Tablo 1. Demografik veriler**

	Malign (n=41, %33,6)	Benign (n=59, %48,4)	Normal (n=22, %18)	Toplam (n=122, %100)
Yaş*	65,1±14,8	59,6±9,1	61,7±10,2	64,9±11,4
Cinsiyet Kadın (K) Erkek (E)	22 (%53,7) K 19 (%46,3) E	35 (%59,3) K 24 (%40,7) E	15 (%68,2) K 7 (%31,8) E	72 (%59) K 50 (%41) E
Anatomik lokalizasyon	3 (%7,3) 14 (%34,1) 2 (%64,9) 22 (%53,7)	15 (%25,4) 25 (%42,4) 1 (%01,7) 18 (%30,5)	4 (%18,2) 5 (%22,7) 1 (%04,5) 12 (%54,5)	22 (%18) 44 (%36,1) 4 (%03,3) 52 (42,6)
SUV <sub>maks</sub> değeri*	14,3±7,4	7±3,9	8,8±4,9	10±6,2

**Tablo 2. Endoskopik/patolojik bulgularla PET/BT tutulum karşılaştırılması**

Endoskopik bulgular	PET/BT diffüz	PET/BT fokal	p-değeri
Özofagus (n=20, %16,3), Benign (n=11, %55) Normal (n=6, %30) Malign (n=3, %15)	3 (%37,5) 4 (%50) 1 (%12,5)	8 (%66,6) 2 (%16,7) 2 (%16,7)	0,276
Mide (n=44, %36), Benign (n=29, %65,9) Normal (n=4, %9,1) Malign (n=11, %25)	11 (%78,5) 2 (%14,3) 1 (%7,2)	18 (%60) 2 (%6,7) 10 (%33,3)	0,155
İnce barsak (n=7, %0,5) Benign (n=3, %42,9) Normal (n=1, %14,3) Malign (n=3, %42,9)	2 (%40) 1 (%20) 2 (%40)	1 (%50) 0 1 (%50)	0,792
Kolon (n=51, %41,8), Benign (n=16, %31,4) Normal (n=11, %21,6) Malign (n=24, %47,1)	6 (%43) 6 (%43) 1 (%14)	10 (%26,31) 5 (%13,19) 23 (%60,5)	0,028
Histopatolojisi (+), malign	5 (%12,2)	36 (%87,8)	0,05
Histopatolojisi (-), benign	22 (%37,3)	37 (%62,7)	

PET/BT: Pozitron emisyon tomografi/bilgisayarlı tomografi

## [SS-065]

**F-18 FDG PET/BT Görüntüleme Bulgularının Kemik Travma Yaşı ile İlişkisi**

Şeyma Gizem Orun, Ülkü Korkmaz, Fatma Selin Soyluoğlu,  
Gülay Durmuş Altun

Trakya Üniversitesi Tip Fakültesi, Nükleer Tip Anabilim Dalı, Tekirdağ

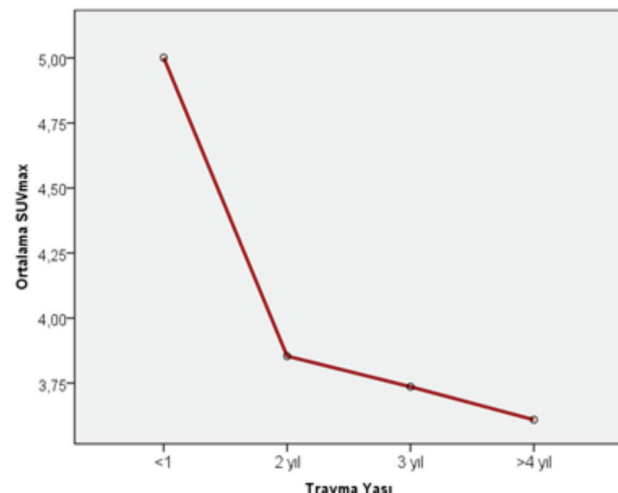
**Amaç:** Nükleer tıpta ağırlıklı olarak onkolojik görüntülemede kullanılan ve enfeksiyon görüntülemede de kullanımı yaygınlaşan florodeoksiglikoz (FDG), bir glukoz analojudur. FDG alımı, hücresel glikoz metabolizmasını yansır. Artan FDG alımı, ilgili dokuda artmış metabolik aktivite veya enflamasyon nedeniyle glikoz tüketiminin arttığı bölgelerde meydana gelir. Osteoklastlar, kalsiyum tuzlarını çözmek için HCl pompalararak kemik yapıyı bozar. Bu süreç yoğun enerji gerektirir ve temel enerji kaynağı glikozdur. F-18 FDG pozitron emisyon tomografi (PET)/bilgisayarlı tomografi (BT) görüntülemede travma sonrası fizyolojik iyileşme sürecinin enfeksiyonla benzerliği tanıda karışıklığa neden olmaktadır. Bu çalışmanın amacı, kemikte cerrahi travma veya protezi olan hastalarda fizyolojik alım ve enfeksiyon arasında ayrılmak üzere, fizyolojik iyileşme sürecine ait parametreleri ortaya koymak ve travma zamanı ile F-18 FDG PET/BT görüntüleme bulguları arasındaki ilişkiyi belirmektir.

**Yöntem:** Nükleer tip anabilim dalına 2010-2020 tarihleri arasında F-18 FDG PET/BT görüntülemesi için başvuran tüm hastalar geriye yönelik taranarak, dahil etme kriterlerine uygun 176 hasta (ortalama yaşı:  $68 \pm 12$  yıl; 92 E, 84 K) çalışmaya dahil edildi. Hastaların travma zamanı, travma tipi ve protez şekli,  $SUV_{\text{maks}}$  ve  $SUV_{\text{mean}}$  değerleri ile zamana bağlı ilişkisi belirlendi. İhvale olarak hastalar protez uygulaması ve cerrahi kemik travması esas alınarak alt grup analizleri yapıldı.

**Bulgular:** Hastaların 43'ünde diz protezi (DP: grup 1), 84'ünde kalça protezi (KP: grup 2), 27'sinde sternotomi öyküsü (grup 3) ve 22'sinde diğer kemik alanlarında (vertebra, humerus, femur, omuz) (grup 4) protez mevcuttu. Kemik travma yaşı ortalama  $80 \pm 84$  ay (1-480) olarak hesaplandı. Travma bölgесinden saptanın ortalama  $SUV_{\text{maks}}$  değeri  $4,05 \pm 2,45$  ( $0,90-12,27$ ;  $\pm 95\%$ : 3,79-5,30) olarak hesaplandı. Çalışmada yer alan gurupların  $SUV_{\text{maks}}$  değerleri arasında farklılık mevcut olup, en düşük  $SUV_{\text{maks}}$  değerine grup 3'ün sahip olduğu görüldü ( $2,8 \pm 2,08$ , 1,2-9,1;  $\pm 95\%$ : 2,00-3,65) ( $p=0,002$ ). Travma yaşı ile  $SUV_{\text{maks}}$  ve  $SUV_{\text{mean}}$  değerleri arasında ters doğrusal bir ilişki saptandı ( $SUV_{\text{maks}}$  için  $r: -0,24$ ,  $p=0,009$  ve  $SUV_{\text{mean}}$  için  $r: -0,23$ ,  $p=0,006$ ). Kemije cerrahi işlem yapılma süresi 12 ay ve daha kısa olanlarda  $SUV_{\text{maks}}$  ( $4,9$  vs  $3,6$ ) ve  $SUV_{\text{mean}}$  ( $1,7$  vs  $1,1$ ) değerleri belirgin olarak yüksek bulundu ( $p=0,01$  ve  $p=0,001$ ). Şekil 1'de travma yaşına bağlı olarak ortalama  $SUV_{\text{maks}}$  değişimi verilmiştir.

**Sonuç:** Kemikte protez uygulaması ve osteotomi sonrası iyileşme sürecine bağlı olarak ilk yıl içinde metabolik aktivite kritik değer üzerinde seyretmektedir. Yaralanmanın zamanına ek olarak, hem bireyler içinde hem de bireyler arasındaki fizyolojik ve patofizyolojik süreçler yaralanmayı ve farklı iyileşme oranlarını etkilemektedir. F-18 FDG PET/BT görüntülemesi ile protez enfeksiyon görüntülemesi yapılan hastalarda bu akılda bulundurulmalıdır. Ayrıca kemik travma yaşının bilinmesi gereken klinik durumlarda travmayı takip eden ilk yıl için fikir sahibi olmak mümkün gibi görünmektedir.

**Anahtar Kelimeler:** Protez, kemik, travma, FDG, PET/BT



**Resim 1.** Travma yaşına bağlı olarak ortalama  $SUV_{\text{maks}}$  değişimi

## [SS-066]

**Prostat Kanseri Hastalarında PSA Seviyeleri ve Gleason Skorları ile Ga-68 PSMA PET/BT Parametreleri Arasındaki İlişki**

Selin Kesim, Salih Özgüven

Marmara Üniversitesi Pendik Eğitim ve Araştırma Hastanesi, Nükleer Tip Kliniği, İstanbul

**Amaç:** Ga-68 PSMA pozitron emisyon tomografi (PET)/bilgisayarlı tomografi (BT) prostat kanseri tanısı, evrelemesi, tedaviye yanıtın değerlendirilmesi ve lokal/uzak hastalık nüksünü saptamada kullanılan sensitivitesi yüksek bir görüntüleme yöntemidir. Bu çalışmada prostat kanseri tanısı alıp ilk evreleme amacıyla Ga-68 PSMA PET/BT tetkikine refere edilen hastalarda prostat spesifik antijen (PSA) düzeyi ve Gleason skorları ile Ga-68 PSMA PET/BT görüntülerinden elde edilen toplam lezyon PSMA (TL-PSMA) ve PSMA tümör hacmi (PSMA-TV) verileri arasındaki ilişkiyi araştırmayı amaçladık.

**Yöntem:** Çalışmaya prostat kanseri tanısı konmuş, radikal prostatektomi veya biyopsi sonuçlarından elde edilen Gleason skorları ve serum total PSA düzeyleri bilinen, henüz tedavi almamış, Mayıs 2015 ve Ağustos 2020 tarihleri arasında ilk evreleme amacıyla Ga-68 PSMA PET/BT tetkiki yapılmış 71 erkek hasta (ortalama yaşı:  $71,3 \pm 8,5$ , yaş aralığı: 51-88) retrospektif olarak dahil edildi. Serum PSA düzeyleri ile Gleason skorları hastaların klinik kayıtlarından elde edildi. Gleason derecesine göre hastalar  $\leq 3$  ve  $>3$  olarak iki gruba ayrıldı. Ga-68 PSMA PET/BT görüntülerinden prostat glandı, lenf nodu, kemik ve diğer uzak metastazlardaki geri plan aktivitelerinin  $\geq 45\%$  üzerinde PSMA tutulumu gösteren lezyonlardaki tümör hacmi (PSMA-TV) ile toplam lezyon PSMA (TL-PSMA) değerleri hesaplandı. Verilerin değerlendirilmesi için IBM SPSS 22.0 programı kullanıldı ve  $p$ -değerinin 0,05'ten küçük olması istatistiksel olarak anlamlı kabul edildi.

**Bulgular:** Tüm hastalarda, serum PSA değerleri ile TL-PSMA arasında yüksek düzeyde ( $p<0,001$ ,  $r=0,753$ ), PSMA-TV arasında ise orta düzeyde ancak istatistiksel olarak anlamlı bir korelasyon ( $p<0,001$ ,  $r=0,692$ ) vardı. Gleason derecesi  $\leq 3$  ve  $>3$  olan hastalar karşılaştırıldığında PSMA-TV ile TL-PSMA değerleri arasında istatistiksel olarak anlamlı bir fark bulundu (sırasıyla;  $p=0,001$  ve  $p=0,002$ ).

**Sonuç:** Serum PSA değerleri ve Gleason skoru prostat kanseri hastalarının klinik yönetiminde en sık kullanılan temel risk parametrelerindendir. Çalışmamızda Ga-68 PSMA PET/BT görüntülerinden elde ettiğimiz parametreler (PSMA-TV, TL-PSMA) Gleason skoru ve total PSA değerleri ile korelasyon göstermektedir. Tedavi öncesi Ga-68 PSMA PET/BT hacimsel parametreleri, prostat adenokarsinomu olan hastaların evrelemesinde tümör yükünü gösterir ve прогнозu öngörmeye ve tedavi planlanmasında önemli veriler sağlayabilir.

**Anahtar Kelimeler:** Prostat kanseri, Ga-68 PSMA PET/BT, prostat spesifik membran antijen tümör hacmi, toplam lezyon prostat spesifik membran antijen

### [SS-067]

#### Tc-99m DMSA Sintigrafisinde Separe Böbrek Fonksiyonu Hesaplamada Planar (2D) ve SPECT (3D) Yöntemlerinin Karşılaştırılması

Caner Çivan, Duygu Has Şimşek, Murat Yılmaz Kiran, Emine Göknur Işık, Zeynep Gözde Özkan, Serkan Kuyumcu, Yasemin Şanlı

İstanbul Üniversitesi, İstanbul Tip Fakültesi, Nükleer Tip Anabilim Dalı, İstanbul

**Amaç:** Te-99m-DMSA ile renal kortikal sintigrafi (RKS) yapılan hastalarda sepere renal fonksiyonun (SRF) hesaplanması sırasında kullanılan planar (2D) ve tek foton emisyon bilgisayarlı tomografi (SPECT)/SPECT-bilgisayarlı tomografi (BT) (3D) yöntemlerinin karşılaştırılması amaçlandı.

**Yöntem:** Haziran 2019-Mart 2020 tarihleri arasında RKS planar ve SPECT görüntülemesi bulunan 226 hasta retrospektif olarak incelendi. Unilateral renal agenezi ve ileri derecede böbrek yetmezliği bulunan 14 hasta çalışmadan çıkarıldı. 2D SRF değerleri, zemin aktivite düzeltmesi olmadan sadece geometrik ortalama (SRFgeo), zemin aktivite düzeltmesi krescent şekilde (SRFkres) ve perirenal alan boyunca (SRFperi) geometrik ortalama olmak üzere planar çizimler yapılarak hesaplandı. SPECT ve mevcut ise atenuasyon düzeltmeli SPECT/BT görüntüler kullanılarak ise 3D SRF hesaplamaları yapıldı. Tüm ölçümler sol böbrek değerleri referans alınarak gerçekleştirildi. Pearson korelasyon ve t-test analizleri kullanılarak 2D ve 3D SRF değerleri karşılaştırıldı (SPSS, Versiyon 24.0). P-değeri <0,05 istatistiksel olarak anlamlı kabul edildi.

**Bulgular:** Çalışmaya dahil edilen 212 hastanın (117: Kadın; 95: Erkek), 66'sı pediatrik hasta (%31) olup ortalama yaşı 37 (1-82 yaş) idi (Tablo 1). SPECT/BT görüntülemesi bulunan 63 hastada atenuasyon düzeltme ile hesaplanan sol böbrek 3D SRF değeri %45,79±26 iken aynı hastaların SRFspect değeri ortalama %45,81±26 idi ve iki yöntem arasında SRF değerleri için anlamlı fark saptanmadı ( $p=0,953$ ). Tüm hasta grubunda ( $n=212$ ) ise 2D ve 3D metotları ile hesaplanan ortalama SRFgeo, SRFkres, SRFperi ve SRFspect değerleri sırasıyla; %48,3±20,8, %47,3±22,6, %49,9±24,4 ve %50,3±23,3 idi. SRFperi ve SRFspect arasında anlamlı istatistiksel fark ( $p=0,155$ ) bulunmadı ancak 3D ve diğer 2D yöntemler arasında anlamlı istatistiksel fark ( $p<0,001$ ) bulundu. Alt grup analizinde, pediatrik yaş grubunda ortalama SRFgeo, SRFkres, SRFperi ve SRFspect sırasıyla; %48,2±18,8, %47,5±20,2, %48,7±21,3 ve %49,7±20,6 olarak hesaplandı, SRFperi ve SRFspect yöntemleri arasında da anlamlı istatistiksel fark bulundu ( $p=0,026$ ). Kreatinin yüksekliği bulunan ( $n=35$ ) hastalarda ise ortalama SRFgeo, SRFkres, SRFperi ve SRFspect değerleri sırasıyla; %46,7±17,8, %44,7±22,1, %50,9±24,9 ve %49,6±22,9 idi. Bu hastalarda SRFperi ve SRFspect arasında anlamlı istatistiksel fark izlenmedi ( $p=0,317$ ), ancak SRFgeo ve SRFspect ( $p=0,021$ ) ile SRFkres ve SRFspect arasında ( $p<0,001$ ) istatistiksel olarak anlamlı fark hesaplandı.

**Sonuç:** SRF hesaplamada kullanılan 2D yöntemleri arasından yalnızca SRFperi metodу altın standart olarak kabul edilen 3D SRF sonuçları ile istatistiksel olarak anlamlı sonuçlar vermektedir.

kullanımının yeterli olabilecegi sonucuna varılmıştır. Ancak pediatrik grupta tüm 2D yöntemleri ile elde edilen SRF değerlerinin 3D yöntemlerinden istatistiksel olarak farklı olması nedeniyle klinik yaklaşımı etkileyen durumlarda 2D yerine 3D görüntüleme ile SRF hesaplanması önerilmektedir.

**Anahtar Kelimeler:** Tc-99m-DMSA, sepere renal fonksiyon, SPECT, renal kortikal sintigrafi

**Tablo 1. Hastaların karakteristik özellikleri**

Hastaların Karakteristik Özellikleri	Hasta Sayısı
Toplam Hasta Sayısı	212
Pediatrik hastalar	66 (%31)
Yetişkin hastalar	146 (%69)
Yaş	
Ortalama (aralık)	37 (1-82)
Cinsiyet	
Kadın	117 (%55)
Erkek	95 (%45)
Kreatinin seviyesi (g/dL)	
Ortanca (aralık)	0.97(0.13-5.6)
<1.4 g/dL	177 (%83)
>1.4 g/dL	35 (%17)
Endikasyon	
Hidronefroz	58 (%27.4)
Yer kaplayıcı lezyon	54 (%25.5)
Pyelonefrit	95 (%44.8)
Kronik Renal Yetmezlik	32 (%15.1)
Malformasyon	15 (%7.1)

### [SS-068]

#### Pediatrik Malign Melanomada F-18 FDG PET/BT'nin Yeri

Emine Göknur Işık

İstanbul Üniversitesi, İstanbul Tip Fakültesi, Nükleer Tip Anabilim Dalı, İstanbul

**Amaç:** Pediatrik grupta malign melanoma tanısı ile F-18 florodeoksiglikoz (FDG) pozitron emisyon tomografi (PET)/bilgisayarlı tomografi (BT) çekilmiş hastalarda PET/BT bulgularını değerlendirmeyi amaçladık.

**Yöntem:** 2009-2020 yılları arasında F-18 FDG PET/BT çekimi yapılmış 18 yaş altı hastalar rektrospektif olarak incelendi. Hastaların patolojik bulguları, lezyon lokalizasyonları, demografik verileri ve PET/BT bulguları değerlendirildi ve patoloji raporları ve klinik takip ile karşılaştırıldı. Hastalar lokal hastalığın lokalizasyonu (üst/aşk ekstremité, baş boyun ve gövde), lenf nodu ve uzak metastaz varlığına göre değerlendirildi. F-18 FDG PET/BT endikasyonlarına göre evreleme (E), tedavi yanıt değerlendirme (TYD) ve yeniden evreleme (YE) olarak gruplandırıldı.

**Bulgular:** Çalışmaya malign melanom tanısı olan 8'i (%47) erkek 9'u (%53) kadın 17 hasta ve bu hastalara ait 30 görüntüleme dahil edildi. Yaş ortalamaları 11,2 (4-17) idi. Primer lezyonlar 7 hastada alt ekstremité, 2'sinde baş-boyun, 4'ünde üst ekstremité ve 4'ünde gövde yerleşimiydi. Üç hastada doğuştan melanositik nevüs vardı. Melanom tipi bir hasta (konjonktiva) dışında deri melanomu idi. F-18 FDG PET/BT'de ortalama uygulanan FDG dozu 8,6±2,6 idi. Görüntülemelerin 15'i evreleme; 4'ü TYD;

11'i YE idi. Görüntülemelerin 15'sinde belirgin bulgu saptanmazken, 12'sinde pozitif, 3'ünde ise hastalık nüksü açısından şüpheli bulgular gözlandı. Pozitif bulgu saptanan hastaların 2'si lokal hastalık nüksü, 4'ü izole lenf nodu pozitifliği, 2'si lokal hastalık ve lenf nodu birlaklılığı, 5'i ise uzak metastaz göstermektedir. Şüpheli hastaların tamamı lenf nodu kuşkulu hastaları. Yapılan cerrahide metastaz saptandı ve hepsi patolojik olarak doğrulandı. 2 hastada takipte çoklu PET/BT çekimi mevcuttu. Metastatik hastalık bu iki hastada gözlandı ve bu hastalar progresif hastalık sebebi ile kaybedildi. Yapılan değerlendirmede; F-18 FDG PET/BT'nin duyarlılığı %90,9, özgüllüğü %78,9, PPV %71,4, NPV %93,7 ve doğruluğu %83,3 olarak bulundu.

**Sonuç:** Malign melanom pediatrik kanserlerin %1-3'ünü oluşturur. Ancak çocukluk çağının en sık görülen deri kanseridir. Erken dönemde tanı ve tedavi diğer kanserlerde olduğu gibi sağkalımı uzamaktadır. F-18 FDG PET/BT'nin pediatrik malign melanomda evreleme, TYD ve YE'de oldukça duyarlı bir görüntüleme yöntemi olduğu görülmektedir. Malign melanomada metabolik aktivite gösteren her odağın özellikle irdelemesi gerekmektedir. Ayrıca duyarlılığı ve negatif prediktif değeri göz önüne alındığında tek seferde tüm vücutu görüntüleme avantajı ile nüks şüphesi olan hastalarda hastalık takibinde kullanılabilecek iyi bir alternatif olduğu düşünülmektedir.

**Anahtar Kelimeler:** Malign melanom, pediatrik hasta, F-18 FDG PET/BT

#### [SS-069]

### Nükleer Tıpta Tanı ve Tedavi Amacıyla PET/BT ve İlave Görüntüleme İhtiyacı Duyulan Pediatrik Hastalar Grubu Analizi

Fatma Selin Soyluoglu, Ülkü Korkmaz

Trakya Üniversitesi Tip Fakültesi, Nükleer Tip Anabilim Dalı, Tekirdağ

**Amaç:** Pediatrik onkolojide pozitron emisyon tomografi (PET)/bilgisayarlı tomografi (BT) kullanımı, büyük ölçekli ve çok merkezli çalışmaların ve dolayısıyla mevcut kılavuzların eksikslikleri nedeniyle yetişkin hastalarda olduğu gibi kılavuzlar netleştirilmemiştir. Bunun nedeni, bu tümörlerin daha nadir olması ve çocuk hastalarda uzun vadeli radyasyon etkilerinden korkulmasına bağlanabilir. Bu çalışmanın amacı, malign hastalık tanı ve izlemi için PET/BT ve ilave Nükleer Tip uygulamalarına yönlendirilen pediatrik hastaların retrospektif olarak değerlendirilmesi ve hasta yönetimine katkısının analizidir.

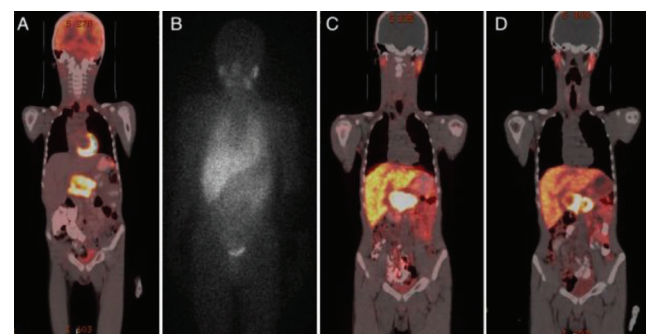
**Yöntem:** 2010 ve 2020 yılları arasında onkolojik tanı ve evreleme amacıyla PET/BT ünitesine başvuran 18 yaş altı, hasta arşiv sisteminden verilerine ulaşılabilen hastalar çalışmaya dahil edildi. Bu hastalar içerisinde diğer Nükleer Tip görüntüleme yöntemlerine ihtiyaç duyulan hastalar ve gerçekleştirilen tetkik sayıları kaydedildi. Hasta dosyaları retrospektif olarak incelenerek, bulgular ve hasta yönetimine katkıları değerlendirildi.

**Bulgular:** On yıllık süre boyunca malignite araştırması için 171 pediatrik hastaya 364 PET/BT [(345 F-18 florodeoksiglukoz (FDG), 17 Ga-68 ve 2 NaF)] görüntülemesi yapılmıştır (96 erkek, 75 kız, ortalama yaşı:  $9 \pm 5,5$ , min: 4 ay maks: 17 yaş). Yüz iki hastada sadece PET/BT yapılrken, 69 hastada evreleme veya tedavi sürecinde en az bir diğer Nükleer Tip tetkikine ihtiyaç duyulmuştur. Bu hastalarda PET/BT'ye ilave 40 hastada 63 kemik sintigrafisi, 15 hastada 31 I-123-MIBG sintigrafisi, 3 I-131 tüm vücut tarama, 2 tiroid sintigrafisi, 2 Tc-99m MIBI tümör görüntülemesi, 23 kemik dansitometri, 2 gastroözofageal reflü sintigrafisi, 17 statik ve 3 dinamik böbrek sintigrafisi, 3 direkt radyonüklid sistografi, 1 Tc-99m işaretli lökosit sintigrafisi yapılmıştır. Uygulanan ortalama PET/BT sayısı  $2,1 \pm 1,5$ 'tir (min: 1, maks: 9). Buna diğer Nükleer Tip tetkikleri ilave edildiğinde ortalama tetkik sayısı hasta başına  $3,1 \pm 2,6$ 'dır (min: 1, maks: 16). En sık PET/BT endikasyonu yumuşak doku sarkomları iken ( $N=37$ ), bunu Non-hodgkin lenfoma ( $N=33$ ) izlemektedir.

En sık çoklu Nükleer Tip tetkiki gerektiren hasta grubu nöroblastoma ve paragangliomalar olup bu hastalarda küçük boyutlu lezyonlar, tedavi sonrası FDG/MIBG avidite kaybı, nekroz, reaktif kemik iliği aktivitesi gibi farklı durumlarda F-18 FDG PET/BT, Ga-68 PET/BT, kemik sintigrafisi ve I-123 MIBG gibi farklı mekanizmalara sahip görüntülemeler faydalıdır. Yirmi beş hastada çoklu görüntülemeler tedavi karar/değişikliği ve semptom yönetiminde yol gösterici olmuştur. Hastalarda radyasyona sekonder komplikasyon veya malignite saptanmamıştır.

**Sonuç:** F-18 FDG PET/BT pediatrik onkolojik tanı ve evrelemede en sık kullanılan görüntüleme yöntemidir. Pediatrik hastalarda yüksek doz oluşturmamasına rağmen sağladığı faydalardan nedeniyle ön plana çıkmaktadır. PET/BT'de FDG dışı spesifik ajanlar ve diğer sintigrafik yöntemler hasta yönetiminde yol ayımı aşamasında devreye girerek tedavi protokolünün belirlenmesine ve hasta yönetimine ciddi katkı sağlaymaktadır.

**Anahtar Kelimeler:** PET/BT, pediatrik, onkoloji



**Resim 1.** On bir yaşında paraganglioma tanısı alan, 7 yıldır takipli erkek hastanın başlangıç F-18 FDG PET/CT'sinde (A, koronal füzyon PET/CT görüntüsü) batın orta hatta primer kitlesi artmış FDG tutulumu izlenirken ( $SUV_{max}$ : 13,6), I-123 MIBG sintigrafisinde (B) belirgin tutulum saptanmamıştır. Lezyonun Ga-68 PET/CT'de (C, koronal füzyon PET/CT görüntüsü) yoğun reseptör afinitesi göstermesi üzerine ( $SUV_{max}$ : 26,5), Lu-177 DOTATATE tedavisiyle yönlendirilen hastanın, tedavi sonrası Ga-68 PET/CT'lerde (D, koronal füzyon PET/CT görüntüsü) kısmi metabolik regresyon ve yer yer nekrotik alanlar izlenmiştir ( $SUV_{max}$ : 24,0)

**FDG:** Florodeoksiglukoz, **PET/CT:** Pozitron emisyon tomografi/bilgisayarlı tomografi

#### [SS-070]

### Pediatrik Hastalarda SUV Değerleri Doğru Hesaplanabiliyor Mu?

Özlem Özmen<sup>1</sup>, Seval Beykan<sup>1,2</sup>, Ebru Tatçı<sup>1</sup>

<sup>1</sup>Sağlık Bilimleri Üniversitesi, Atatürk Göğüs Hastalıkları ve Göğüs Cerrahisi Eğitim ve Araştırma Hastanesi, Nükleer Tip Kliniği, Ankara

<sup>2</sup>Würzburg Üniversitesi Hastanesi, Nükleer Tip Kliniği, Würzburg, Almanya

**Amaç:** SUV değeri, lezyonların malign/benign ayrımında, tedavi yanıtının değerlendirilmesinde kullanılan önemli bir parametredir. SUV hesaplaması hasta kilosuna ve enjekte edilen aktivite miktarına dayanır, ancak pratikte SUV değerlerini etkileyen birçok faktör vardır. Karşekesi, insülin kullanımı, vücut/yağ oranı gibi parametrelerin florodeoksiglukoz (FDG) biyodistribütösyonuyle SUV hesaplamasına etkisi bilinmemektedir. FDG tutulumunun en fazla olduğu organ beyindir. Yetişkin ve pediatrik hastaların beyin/tüm vücut hacim ve FDG tutulumu oranlarında belirgin farklılık vardır. Bu farklılığın SUV hesaplamalarına etkisi pediatrik hastalarda önemli sapmalarla neden olabilir. Çalışmanın amacı, pediatrik ve yetişkin hastalarda hastaya özgü beyin ve karaciğer FDG dağılımının analiz edilmesi, karaciğer  $SUV_{weight}$  ve  $SUV_{liver}$  değerlerinin karşılaştırılmasıdır.

**Yöntem:** Elli üç pediatrik (23 K, 30 E, yaş: 3-17 y, ağırlık: 12-97 kg, 90-519 MBq) ve 25 yetişkin (7 K, 18 E yaş: 22-86 y, ağırlık: 60-104 kg, 311-565 MBq) hastanın FDG pozitron emisyon tomografi (PET)/bilgisayarlı tomografi (BT) görüntüleri geriye dönük olarak analiz edildi. Pediatrik hastalar 3-7, 8-12 ve 13-17 yaş olmak üzere üç grupta incelendi. Tüm hastalarda beyin, tüm vücut, karaciğerde biriken aktivite miktarları, karaciğer SUV<sub>weight</sub> ve SUV<sub>lbm</sub> değerleri hesaplandı. Hesaplamlar, bölgesel otomatik kontur yerine tüm ilgili alanları kapsayan manuel konturlarla yapıldı.

**Bulgular:** Pediatrik hastalarda enjekte edilen aktivitenin beyin/tüm vücut oranı yetişkinlerle kıyaslandığında; 3-7 yaş grubunda 2,4 kat, 8-12 yaş grubunda 1,7 kat, 13-17 yaş grubunda 1,3 kat fazla iken karaciğer/tüm vücut aktivite oranlarının aynı gruplarda sırasıyla; 2 kat, 1,2 kat ve 1,2 kat daha az olduğu hesaplandı. Farkların beyin hacmiyle doğrudan orantılı olduğu görüldü. Yetişkin karaciğer SUV<sub>weight</sub> ile SUV<sub>lbm</sub> değerleri, pediatrik hastalardan maksimum %74 minimum %27 daha yüksekti. Yetişkinlerle karşılaşıldığında, hesaplanan SUV'ler 8-17 yaşındaki hastalarda ~%36, diğer gruplarda ~%68 daha düşüktü. Karaciğer SUV<sub>weight</sub> değerleri SUV<sub>lbm</sub> değerlerinden 3-7 yaşındaki hastalarda %87, diğer gruplarda ise ~%24 daha yüksek olarak hesaplandı. Tüm hastalar incelendiğinde cinsiyete bağlı karaciğer SUV<sub>weight</sub> değerlerinde 8-12 yaş grubunda, karaciğer SUV<sub>lbm</sub> değerlerinde ise 8-12 ve 13-17 yaş grubunda farklılık görüldü.

**Sonuç:** Pediatrik hastalarda beyin/tüm vücut hacim oranının daha büyük olması nedeniyle, beyinde biriken aktivite miktarı yetişkinlere kıyasla daha fazladır. Bu durum doğrudan tümör ve sağlıklı dokulara giden aktivite miktarlarını etkileyerek daha düşük SUV değerlerinin hesaplanması neden olmaktadır. Standart SUV değerleri referans alındığında ise beyinde tutulan aktivitenin miktarı gözardı edildiğinden, gerçekte olduğundan daha düşük hesaplanan SUV değerleri tanı ve tedavi yanıtını değerlendirmede hatalı sonuçlara yol açabilir.

**Anahtar Kelimeler:** Pediatrik ve yetişkin hastalarda SUV<sub>weight</sub> ve SUV<sub>lbm</sub>, hastaya özgü FDG dağılıminin analizi

## [SS-071]

### Discovery IQ ve Discovery ST Model PET/BT Sistemlerinde PET Tarayıcılarının NEMA Testlerinin Karşılaştırılması

Fatma Gizem Demir<sup>1</sup>, Mustafa Yasir Özpelitoğlu<sup>1</sup>, Türkay Toklu<sup>2</sup>, Murat Tuncel<sup>1</sup>, Ömer Uğur<sup>1</sup>

<sup>1</sup>Hacettepe Üniversitesi Tip Fakültesi, Nükleer Tip Anabilim Dalı, Ankara

<sup>2</sup>Yeditepe Üniversitesi Tip Fakültesi, Nükleer Tip Anabilim Dalı, İstanbul

**Amaç:** Pozitron emisyon tomografi (PET)/bilgisayarlı tomografi (BT) teknolojisinde gerek donanımsal gerekse de yazılımsal gelişmeler hızla devam etmektedir. Bu çalışmada Hacettepe Üniversitesi Tip Fakültesi, Nükleer Tip Anabilim Dalı cihaz parkına yakın zamanda dahil olan BGO kristal yapısına sahip Discovery IQ 4ring PET/BT cihazı ile halihazırda mevcut, BGO kristal yapısına sahip 3ring Discovery ST cihazının karşılaştırımlı olarak performans değerlerinin araştırılması amaçlandı.

**Yöntem:** Her iki cihazda NEMA NU2-2001 ve NEMA NU2-2012 testlerinden uzaysal ayırmaya gücü, hassasiyet, saçılma fraksiyonu kayıp sayımlar ve rastgele olay ölçümleri, görüntü kalitesi, sayımlı kayıpları rastgele olay düzeltme doğruluğu olmak üzere beş ayrı çalışma yapıldı. Uzaysal ayırmaya gücü analizi eş aktivitedeki her birinde 200MBq/cc F-18 bulunan üç nokta kaynağı kullanılarak yapıldı. PET sisteminin sensitivitesi ve saçılma fraksiyonu, sayımlı kayıpları ve rastgele olay ölçümleri için NEMA standartlarına uygun fantomlar kullanıldı. Görüntü kalitesi, saçılma ve atenuasyon düzeltmelerinin doğruluğu uniform olmayan atenuasyona sahip vücut fantomunda hem sıcak hem soğuk lezyonlarla farklı çaplarında käreler görüntülenerek yapıldı.

**Bulgular:** Uzaysal ayırmaya gücü ölçüm sonuçları değerlendirildiğinde; Discovery IQ sisteminin ST sisteminden 1 cm'de tanjansiyel, axial ölçümlerde sırasıyla; %12,4, %4,75 daha üstün, 10 cm'de tanjansiyel, aksiyel ölçümlerde sırasıyla; %27, %9,28 daha üstün olduğu bulundu. Sensitivite testi sonuçları değerlendirildiğinde IQ sisteminin ST sistemine göre %28,17 daha üstün olduğu bulundu. Saçılma Fraksiyonu, Sayım Kayıpları ve Rastgele Olay Ölçümü testinde elde edilen (Pik NECR) ( $R_{NEC,peak}$ ), ST için 3D görüntüleme modunda pik en yüksek gürültü eşdeğer sayım hızında (Pik NECR) aktivite konsantrasyonunda (10,52 kBq/cc) saçılma fraksiyonu %46,18 olarak ölçülmüştür. Bu değer IQ için: Pik NECR değeri aktivite konsantrasyonunda (8,8 kBq/cc) saçılma fraksiyonu %35,80'dir. ST için Pik NECR değeri 10,52 kBq/cc konsantrasyonda 62,55 kcps olarak ölçüldü, buna karşılık IQ için Pik NECR değeri 8,8 kBq/cc konsantrasyonda 71,2 kcps olarak ölçülmüştür. IQ sisteminin PET görüntülerinin daha düşük aktivitede daha kısa zamanda elde edileceği görüldü. Rastgele olayların düzeltme doğruluğu ST'de %2,57 ve IQ'da %4,38 bulundu. Görüntü kalitesi testinde, ortalama değerler hesaplandığında IQ sıcak lezyon kontrastının ST'ye göre %42,2 daha yüksek olduğu bulundu. IQ soğuk lezyon kontrastının ST'ye göre %24,37 daha yüksek olduğu bulundu.

**Sonuç:** Yaptığımız çalışmada Discovery IQ sistemi performansının ST sistemine göre üstün olduğu saptandı. Her iki sistem de aynı sintilatör materyaline sahip olsa da Discovery IQ, PET/BT cihazı LightBurst dijital dedektör teknolojisine sahip yeni nesil bir cihazdır. Dedektör teknolojisindeki yenilikler ve buna bağlı değişen PET/BT konfigürasyonları sistem performans özelliklerini artırmaktadır.

**Anahtar Kelimeler:** PET/BT, NEMA testleri, PET tarayıcı performans testleri, kalite kontrol

## [SS-072]

### Tc-99m Görüntülemede DEW Saçılma Düzeltme Etkisi

Melek Can<sup>1</sup>, Özlem Karadeniz<sup>1,2</sup>, Türkan Ertay<sup>1,3</sup>, Gamze Çapa Kaya<sup>1,3</sup>

<sup>1</sup>Dokuz Eylül Üniversitesi, Sağlık Bilimleri Enstitüsü, Medikal Fizik Anabilim Dalı, İzmir

<sup>2</sup>Dokuz Eylül Üniversitesi Fen Fakültesi, Fizik Bölümü, Tinaztepe Kampüsü, İzmir

<sup>3</sup>Dokuz Eylül Üniversitesi Tip Fakültesi, Nükleer Tip Anabilim Dalı, İzmir

**Amaç:** Teknesyum-99m (Tc-99m), Nükleer Tip görüntülemede en yaygın kullanılan radyonüklittir ve 140 keV enerjili bir foton yayınlanmaktadır. Gama yayinallyıcı radyoizotoplar ile görüntülemede; fotonlar hastada saçılıp yönlerini ve enerjilerini değiştirdiğinde, 140 keV'de açılan ana enerji penceresindeki sayımlar katkı verir. Bu durum, hem planar hem tomografik görüntülemede görüntü kalitesini bozar. Saçılan fotonların sebep olduğu bu kusur için farklı saçılma düzeltme yöntemleri geliştirilmiştir. Sunulan araştırmada, bu yöntemlerden biri olan DEW (Dual Energy Window) yönteminin Tc-99m görüntülemedeki etkisi araştırılmıştır.

**Yöntem:** Araştırmada, GE Healthcare marka Optima NM/CT 640 serili LEHR kolimatörlü gama kamerası sistemi ile 15-188 μCi aktiviteli 3,3 cm çaplı käreler ve 2-5 mCi aktiviteli 1 cm çaplı çubuklar içeren Jaszczak SPECT fantomu kullanılmıştır. Tc-99m ile görüntüleme 6 farklı protokol oluşturularak yapılmıştır. Buna göre, 140,5 keV'luk fotopike %20-26'lık ana pencere ve %0,8-30'luk saçılma pencere açıları planar görüntüler alınmıştır. DEW saçılma düzeltme yönteminin uygulandığı ve uygulanmadığı görüntüler; en temel görüntü kalite parametresi olan Kontrast kullanılarak karşılaştırılmıştır.

**Bulgular:** Farklı ana pencere ve saçılma pencerelarını içeren 6 farklı protokol ile alınan planar görüntüler değerlendirildiğinde, çubuk fantomlar için kontrast değerlerinde %5,25-54,17 aralığında artış gözlenirken,

küre fantomlar için Kontrast değerlerinin %04,26-27,92 aralığında arttığı saptanmıştır.

**Sonuç:** Araştırmada; ele alınan 6 protokol arasında 140,5 keV'de %20'lük ana pencere ve 122,5 keV'de %04,08'lük saçılma penceresi ile görüntülerin aldığı protokolde DEW yönteminin en etkin olduğu saptanmıştır.

**Anahtar Kelimeler:** Teknesyum-99m, gama kamera, jaszczak SPECT fantom, DEW saçılma düzeltme yöntemi, kontrast

### [SS-073]

#### TOF Özelliği Olan PET/BT Sisteminde ZR-89 ile Kantitatif Görüntüleme Karakteristikleri

Yasemin Parlak<sup>1</sup>, Dilem Göksoy<sup>1</sup>, İlker Medine<sup>2</sup>, Gül Gümüşer<sup>1</sup>, Ömer Aras<sup>3</sup>, Elvan Sayıt<sup>1</sup>

<sup>1</sup>Manisa Celal Bayar Üniversitesi Tip Fakültesi, Nükleer Tip Anabilim Dalı, Manisa

<sup>2</sup>Ege Üniversitesi Nükleer Bilimler Enstitüsü, İzmir

<sup>3</sup>Memorial Sloan Kettering Cancer Center, New York

**Amaç:** Zirkonyum 89, immüno-pozitron emisyon tomografisi (PET) görüntülemede önemli bir rol oynayan yeni bir radyonükliddir. Uzun yarı ömrü nedeniyle transfer ve hazırlama işlemlerinde avantaj fakat radyasyon dozu açısından dezavantajı vardır. Çalışmada ZR-89 radyonüklidinin görüntüleme karekteristikleri değerlendirilmiştir.

**Yöntem:** Uzayal rezolüsyon ölçümleri için uzunluğu 2 mm'den küçük olan ZR-89 ile nokta kaynaklar ve görüntü kalitesi ölçümleri için ise sıcak ve soğuk lezyonlar içeren non-uniform silindirik bir fantom hazırlandı. Her iki kaynaktı PET/bilgisayarlı tomografi (Philips, TruFlight Select, 16 kesit BT) aksiyel FOV merkezine yerleştirildi. Görüntülemeler tek yatak pozisyonunda uzayal rezolüsyon için nokta kaynaklar 4 dakika, görüntü karakteristikleri için 1, 2, 3, 4, 5, 8 ve 10 dakika olacak şekilde farklı zaman periyotlarında tarandi. Görüntü karakteristikleri olarak sinyal gürültü oranı, % kontrast ve % background değişkenliği hesaplanmıştır. Tüm görüntüler 33 subset ve 3 iterasyon olacak şekilde OSEM tekniği ile rekonstrükte edilmiştir.

**Bulgular:** Elde edilen görüntülerin rekonstrüksiyonu sonucu ZR-89'un uzayal rezolüsyonu yaklaşık 4,9 mm olarak hesaplanmıştır. Sinyal gürültü oranı farklı tarama süreleri ve farklı boyutlar için 1,4-3,1 aralığında, kontrast en yüksek %62, background değışıimi %5-13 aralığında hesaplanmıştır.

**Sonuç:** ZR-89'un kantitatif performansı değerlendirildiğinde immüno PET görüntüleme için ideal bir radyonüklid olduğu sonucuna varılmıştır.

**Anahtar Kelimeler:** ZR-89, PET/BT

### [SS-074]

#### Tiroid Kanseri Tanı ve Tedavide İyot-123 Kullanımı Tecrübemiz

Merve Atalay<sup>1</sup>, Betül Ural<sup>1</sup>, Aslıhan Yıldırım<sup>1</sup>, Berna Okudan Tekin<sup>1,2</sup>

<sup>1</sup>Ankara Şehir Hastanesi, Nükleer Tip Kliniği, Ankara

<sup>2</sup>Sağlık Bilimleri Üniversitesi Tip Fakültesi, İstanbul

**Amaç:** Klinigimize, Eylül 2020-Şubat 2021 tarihleri arasında radyoaktif tedavi (RAiT) ve tedavi kontrol için başvuran diferansiyeli tiroid kanseri (DTK) tanılı 30 hasta (24 K, 6 E,  $45 \pm 3$  yaş,  $Tg > 10$  anti-tg  $> 15$  veya klinik uyumsuzluklar) çalışmaya dahil edildi.

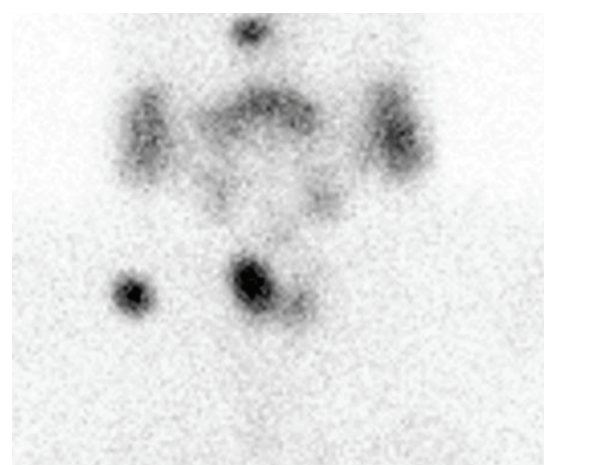
**Yöntem:** RAiT kontrolü için başvuran 22 hastadan, 18 hastaya 8-12. ay kontrol taraması, 2012-2018 yılları arası RAiT tedavisi almış olan 4 hastaya, nüks/metastaz şüphesi için, 8 hastaya ise tanı amaçlı I-123 tüm vücut

taramada (TVT) planlandı. Hastalara, iyot kısıtlama hazırlığı sonrası 3 mCi I-123 iv. yolla verilerek görüntüleme yapıldı [4-24. saat, tüm vücut görüntüleme, boyun spot ve 24. saat Tek foton emisyon bilgisayarlı tomografi/bilgisayarlı tomografi (SPECT/BT), LEHR kolimatör].

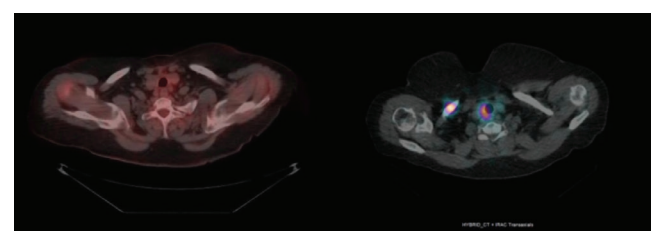
**Bulgular:** TVT yapılan 30 hastamızın; 9'unda (%30) patolojik I-123 tutulumu saptandı. Bulgular, tiroid lojunda 2, tiroid loj dışında boyunda 3, tiroid loj ve boyunda 1, servikal lenf nodunda ve uzak metastatik 2, tiroid lojunda ve uzak metastatik alanda 1 hasta izlendi. Patolojik tutulum izlenen 7 hastaya F-18 florodeoksiglikoz (FDG) pozitron emisyon tomografi (PET)/bilgisayarlı tomografi (BT) görüntüleme yapıldı. Boyunda 6, servikal lenf nodunda 1, uzak metastatik alanda ise 4 odakta patolojik FDG tutulumu saptandı. I-123 tüm vücut tarama negatif olan 21 hastadan Tg/anti-Tg titresinde artış, ultrasongrafide patolojik görünüm taşıyan servikal lenf nodu bulguları nedeniyle F-18 FDG PET/BT görüntüleme yapılan 4 hastadan sadece 2'sinde patolojik tutulum saptandı. Bir hasta servikal lenf nodu tutulumu, 1 hasta ise servikal lenf nodu ve uzak metastatik alanda patolojik FDG akümülasyonu izlendi.

**Sonuç:** Tanısal I-123 TVT yapılan 6 hasta I-123'te patolojik tutulum saptandı ve tedavi dozu buna göre düzenlendi. Tedavi sonrası çekilen I-131 TVT ile 2 hastada akciğerde, 1 hasta ise tiroid bezi lojunda ek odaklar izlendi. I-123 tarama sonrası 3. haftada RAiT tedavisi verilen 1 hasta stunning izlenmekle birlikte, eksojen faktörler ekarte edilemedi. Sonuç olarak Tg ve anti-Tg'si yüksek, tedavi sonrası kontrol ve orta-yüksek riskli tedavi planlanan hastalarda I-123 taramanın düşük radyasyon ile, stunning riski olmaksızın kullanıma uygun olduğunu düşünüyoruz.

**Anahtar Kelimeler:** I-123, tiroid kanseri



**Resim 1.** Sol ve sağ lob loj, tiroid kartilajda ve sağ skapulada fokal artmış I-123 akümülasyonu



**Resim 2.** Sağ klavikula orta kesimde fokal artmış aktivite tutulumu

**Table 1.**

	n	%
Cinsiyet		
Kadın	24	%80
Erkek	6	%20
Yaş		
Mean	45±3	
Range	8-74	
RAİ tedavisi		
Alan	28	
Almayan	2	
RAİ dozu (mCi)		
30-50 mCi	12	%42,8
75-100 mCi	6	%21,4
150-250 mCi	10	%35,7

**[SS-075]****KABG veya PKG'li Hastalarda Erken Dönem Kardiyak Olay Riskine İlişkin MPS'nin Değeri: Tek Merkezli Sonuçlar**Burcu Dırlık Serim<sup>1</sup>, Gülay Durmuş Altun<sup>2</sup><sup>1</sup>İstanbul Üniversitesi-Cerrahpaşa, Cerrahpaşa Tip Fakültesi, Kardiyoloji Enstitüsü, Nükleer Tip Bölümü, İstanbul<sup>2</sup>Trakya Üniversitesi Tip Fakültesi, Nükleer Tip Anabilim Dalı, Tekirdağ

**Amaç:** Bilinen koroner arter hastalığı (KAH) ve girişimi (baypas veya stent) olan hastalarda erken olay riskinin belirlenmesinde miyokard perfüzyon sintigrafisinin (MPS) rolü ve daha erken müdahale araştırıldı. MPS sonrası acil servise başvuru ve/veya perkütan koroner girişim (PKG), koroner üniteye

başvuru, stent uygulanması, ölümcul olmayan miyokard infarktüsü (MI) ve ölümle sonuçlanan kardiyak olay patolojik sonuç olarak kabul edildi.

**Yöntem:** Çalışma grubunda, tek merkezde değerlendirilen 215 hastanın (ortalama yaşı: 62±2; 102 kadın, 113 erkek) sonuçları kardiyak olaylar açısından retrospektif olarak incelendi. Hastalar MPS sonrası kardiyak olay riski açısından iki alt grupta koroner arter baypas grefti (KABG) (n=90) ve PKG-stent (PCI) (n=125) olarak değerlendirildi. KABG grubunda 55 hastanın MPS'si normal iken, 35'inde patoloji saptandı. PCI grubunda 47 hastada normal MPS ve 78 hastada patolojik sonuç elde edildi. Şikayetlerinin devam etmesi üzerine yapılan takiplerde; normal MPS saptanan hastalardan baypas grubunda 6; stent grubunda 7 hastada koroner anjiyografi (KAG) patolojisi tespit edildi. Yapılan takiplerde; anomal MPS'li 45 hastanın KAG ile değerlendirilmesi gerekti ve 26 tanesi tedavi edildi (yeniden stentlendi ve/veya POBA yapıldı). KABG ve PKG grubunda MPS N/P sonucunda anlamlı bir fark vardı ( $\chi^2$ : 11,6, p=0,001).

**Bulgular:** Bir yıllık takipte 215 hastanın 70'inde kardiyak olaylar tespit edildi. Kardiyak olay grubunda MPS normal/patolojik (N/P) dağılımı 11/59 idi. MPS normal grubunda; dört KABG ve yedi stentli olguda minör kardiyak olaylar görüldü. KABG grubunda ölümle sonuçlanan bir kardiyak olay tespit edildi. KABG ve stent grubundan bağımsız olarak kardiyak olayı belirlemeye MPS (N/P) için olasılık oranı (OO): 8,1±%95 güven aralığı (GA): 3,9-16,8, p=0,0001 olarak hesaplandı. Ayrıca; patolojik MPS için kardiyak olayı belirlemeye KABG grubunda OO: 1,27±%95 GA: 0,24-6,5, p=0,001 ve stent grubundan OO: 1,27±%95 GA: 1,1-1,5, p=0,01 olarak hesaplandı.

**Tartışma:** Sonuç olarak, patolojik MPS sonucunun alt parametrelerine (reversible ve/veya sabit defekt) bakılmaksızın, KAH olduğu bilinen ve/veya MPS öncesi müdahale edilmiş hastalarda kardiyak olay riskini artırdığı bulunmuştur. Bu ilişki stent uygulanan grupta daha belirgindir, ancak KABG grubundakı daha ciddi kardiyak olaylara sebep olmuştur.

**Anahtar Kelimeler:** Miyokard perfüzyon sintigrafisi, koroner arter baypas greft, perkütan koroner girişim, kardiyak olay